

وزارة التعليم والبحث العلمي
MINISTRE DE L'ENSEIGNEMENT ET DE LA RECHERCHE SCIENTIFIQUE

lex

ECOLE NATIONALE POLYTECHNIQUE

DEPARTEMENT

Génie Civil



PROJET DE FIN D'ETUDES

S U J E T

Conception et étude d'un
Passage Souterrain
à Gabarit Réduit

Proposé par :

E.N.R.O.S

Etudié par :

R.MADDI

Dirigé par :

S.KIRATI

et T. ADJOUT

PROMOTION : Juin 86

Remerciements

Nous tenons à remercier tous ceux qui nous ont aidés, et témoigner de la sympathie dans la réalisation de ce modeste travail.



Dédicaces

Je dédie ce modeste travail à ma mère, à mon père, et à tous ceux qui me sont chères.

- Rachid -

Ce mémoire est dédié aux adolescents tombés au champ d'honneur pendant la guerre de libération.

- Tawfik -

Sommaire

المدرسة الوطنية المتعددة التقنيات
BIBLIOTHEQUE — المكتبة
Ecole Nationale Polytechnique

Introduction générale	Page 1
Conception du P.S.G.R.	Page 2
Emprise du carrefour	
Présentation de l'ouvrage	
Profil au long	
Prescriptions du cahier de charges	Page 8.
Calcul des éléments d'ouvrage coulés en place	Page 10
Etude du portique	
Etude des trémis d'accès	
Calcul des éléments d'ouvrage préfabriqués	Page 45
Recommandations particulières	
Etude du portique	
Etude des trémis d'accès	
Vérifications diverses	Page 68
Organisation sommaire des travaux	Page 73
Conclusion	Page 80
Bibliographie	

Introduction générale

المدرسة الوطنية المتعددة التقنيات
BIBLIOTHEQUE — المكتبة
Ecole Nationale Polytechnique

Avec l'accroissement du nombre de véhicules et le développement des villes, la circulation urbaine connaît de plus en plus les problèmes d'ordre topologiques que pose le croisement d'axes routiers à fortes densités de circulation automobile.

Parmis la panoplie de moyen que possède l'urbaniste pour résoudre ce problème, on doit noter l'apparition, relativement récente, de passages souterrains à gabarit réduit.

Le premier "mini-souterrain" fut réalisé en France, à Toulouse, par la société GTM-TP en 1971. Par la suite, dans le même pays, d'autres ouvrages de ce type furent réalisés.

Désirant bénéficier de l'expérience concluante de la France, la wilaya d'Oran lança, en 1985, un avis d'appel d'offres national et international, en vue de réaliser un passage souterrain à gabarit réduit. Et ce afin de délester un important carrefour urbain, situé à l'est de la ville d'Oran.

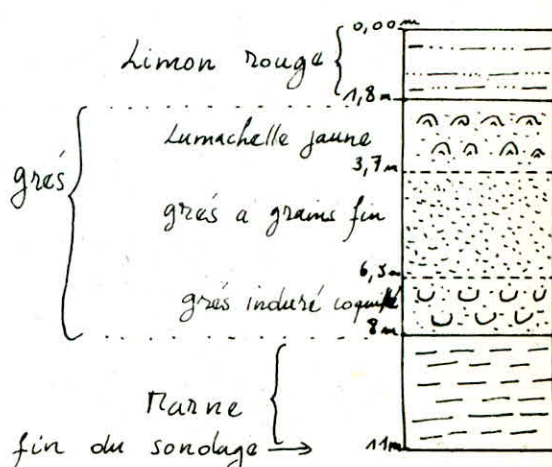
Le marché fut contracté par l'Enros, société qui nous a proposé le sujet.

Géologie du site :

Le sondage a révélé un bon sol favorable à une structure résistante minimale, en plus de l'absence de nappe phréatique.

En effet on a du limon rouge sur une faible couche superficielle, puis une épaisse couche de grès (à caractéristiques variables.)

Coupe schématique du sol : (éch 1/200)



Conception du P.S.G.R⁽¹⁾

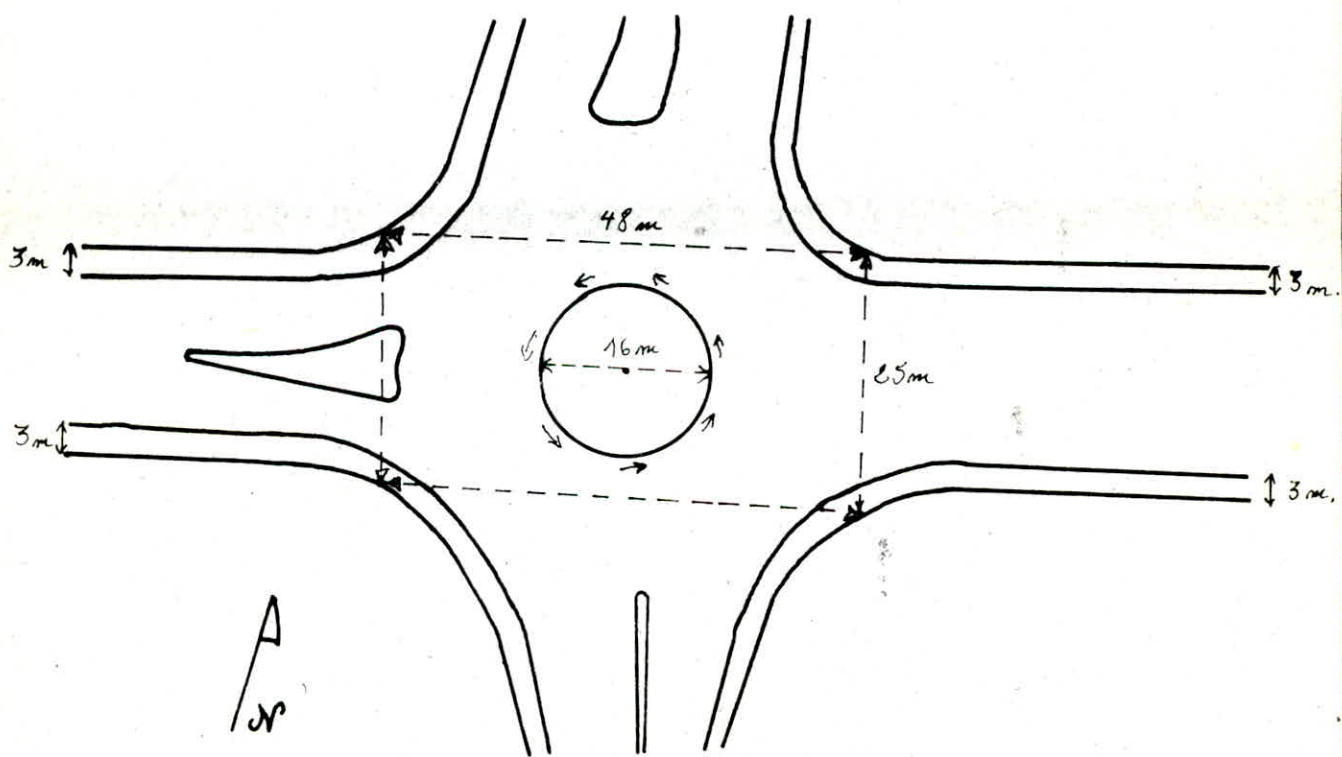
Emprise du carrefour

Le "mini-souterrain" sera implanté dans un carrefour à niveau ayant deux axes de circulation bidirectionnelle, le terrain naturel du site présentant une pente générale de 1,16 %, à peu près plat donc. L'ouvrage sera disposé dans le sens de l'axe de plus grand débit de circulation, en l'occurrence l'avenue Larbi Ben M'Hidi.

L'emprise totale est de 25 m, trottoirs compris, pour l'axe où est située le passage, et 48 m pour l'axe perpendiculaire, largeur importante qui a conditionné la longueur du passage couvert.

Il est à noter que les trottoirs de 3 m, de l'avenue Larbi Ben M'Hidi, seront diminués de 1 m chaque, et que l'ilot côté ouest du carrefour sera supprimé, quando l'ouvrage sera réalisé.

Tracé en plan du carrefour sans P.S.G.R (éch: 1/750)



(1) Abréviation de Passage Souterrain à Gabarit Réduit

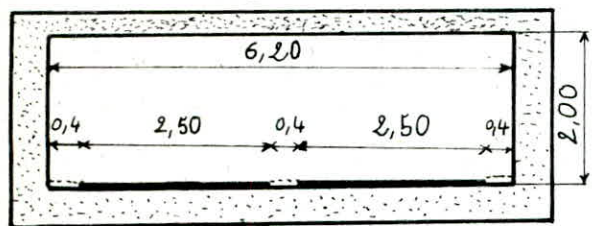
Présentation de l'ouvrage

Dans les normes Françaises il existe deux sortes de gabarits pour les "mini-souterrains" à deux voies de circulation ; le gabarit A_2 et B_2 . Pour des raisons d'homogénéité et de standardisation, il est déconseillé, en France, d'adopter des gabarits intermédiaires.

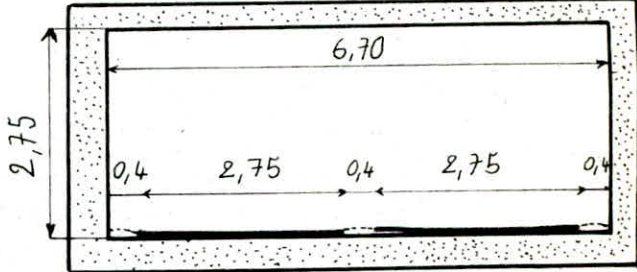
Profils en travers de gabarits standards (passages à deux voies.)

(éch 1/100).

(A₂)



(B₂)



Hautours autorisés, et hautours réelles :

	A ₂	B ₂
Gabarits autorisés	1,90	2,60
Hautour libre réelle	2,00	2,75

Il est à noter que le gabarit A₂, n'a plus été utilisé depuis la première réalisation de GTM-TP à Toulouse. En effet, et cela malgré la signalisation adéquate, des problèmes furent signalés : portes bagages surchargés en hauteur qui heurtent l'entrée aux départs de la marchandise transportée, et d'autres accidents du même ordre.

N'ayant pas d'expériences passées à notre disposition, dans notre pays, dans le domaine des "mini-souterrains", il nous a parut de bon aloi de suivre la standardisation Française. On a donc choisi le gabarit B₂, essayant ainsi de profiter d'une expérience forte de plus d'une dizaine d'années.

Le P.S.G.R dégage une longueur totale de 197 m, sur une largeur de 7,3 m. Il est composé de deux trémis d'accès, de 71 m chaque, donnant sur une partie couverte de 55 m, qui elle-même est subdivisée en deux parties égales séparées, au centre, par une mise à ciel ouvert sur 5 m. Cette ouverture de 5 m a été prévue pour plusieurs raisons :

- Située au centre du carrefour, elle joue le rôle de rond-point
- Pour l'économie d'éclairage qu'elle permet le jour

- Pour l'aération naturelle du souterrain

- Enfin elle permet d'avoir deux dalles de couvertures sans joint de dilatation.

Dispositions particulières :

La voie du PSGR qu'emprunterais l'usager seras bordées, sur sa droite, d'une bande de guidage qui évite un effet de paroi trop prononcé gênant, et sur sa gauche d'une bande séparatrice très sécurisante vis à vis des véhicules qu'il peut croiser.

Mode de construction du P.S.G.R.

Il nous a été proposé d'étudier le PS.G.R suivant deux modes de construction, le premier coulé en place, et le deuxième par éléments préfabriqués.

Profil en long :

Il nous a été demandé de réduire au strict minimum, compatible avec le confort et la sécurité des usagers, la longueur totale du "mini-souterrain". D'où le profil en long à caractéristiques plus serrées, compte tenu de la vitesse et du gabarit limités, que les minima définis par les normes habituelles.

La vitesse de référence prise est de 60 Km/h

Raccordement convexe

- Rayon R minimal en point haut du profil en long ; il est déterminé par le conditions :

- de confort minimal à assurer à l'usager, qui sera soumis à son passage à une forte accélération verticale gênante, et qui peut modifier la stabilité du véhicule ; $R \geq 500\text{m}$

- de visibilité : il faut qu'un véhicule arrivant à la vitesse max autorisée (60 Km/h) ait toujours une distance de visibilité supérieure à sa distance d'arrêt. Plus précisément cette condition s'exprime ainsi : elle doit s'appliquer au cas où l'obstacle est constitué par un autre véhicule, supposé circuler devant et dans la même direction, et qui freine à 0,5 g ; le véhicule qui suit doit pouvoir détourner cet obstacle à une distance suffisante pour pouvoir éviter une collision, au prix d'une décélération de 0,2 g au maximum ; la distance de visibilité est calculée en supposant que l'obstacle est considéré comme vu dès que l'on voit son toit, et que ce toit est à 1,2 m du sol, l'œil de l'observateur étant à 1 m du sol.

$$R = \frac{d^2}{2(h_0 + h_1 + 2\sqrt{h_0 h_1})}$$

$h_1 = 1,2 \text{ m}$: hauteur de l'obstacle

$h_0 = 1 \text{ m}$: hauteur de l'œil de l'observateur

$$(1) R = 0,114 d^2$$

d : distance de visibilité.

Soit la distance d'arrêt : $d_0 = f(V) = aV^2 + bV + c$.

$$\text{avec } a = \frac{1}{2 \times 127} ; \quad b = \frac{2}{3,6} ; \quad c = \frac{3,05}{0,2}$$

3,05 étant la dénivellation max entre point haut et bas du profil.

0,2 coefficient de décélération constante du véhicule qui s'arrête, avec $g=9,81 \text{ m/s}^2$
 a , et b étant des constantes formulées au cours de route.

avec la vitesse de référence de 60 Km/h on trouve $d_0 = 68,7 \text{ m}$.

d'où la distance de visibilité $d = d_0 + \frac{V}{5} = 74,7 \text{ m}$.

On trouve selon (1) $R = 636,13 \text{ m}$, on adopte le rayon $R = 650 \text{ m}$.

Raccordement concave

D'après les normes routières on adopte généralement un rayon moitié du rayon convexe ; on prends $r = 300 \text{ m}$.

Pente max

Pour des raisons d'encombrement minimas la longueur de raccordement entre les deux courbes du profil est nulle. Ainsi en cet endroit régne une pente assez élevée, dite pente maximale instantanée du dispositif, sur une faible longueur cependant et ne mettant pas en doute le confort de l'usager : $p_{max} = 8\%$.

Pente moyenne

la pente générale moyenne du dispositif est de 4%, ainsi la longueur total d'un trémis d'accès est de 76 m. Nous avons réduit cette distance à 71 m, en poursuivant la dénivellation du profil 5m à l'intérieur du souterrain ; sur cette distance la dalle sera réduite suivant la même pente pour respecter le gabarit d'autre du P.S.G.R.

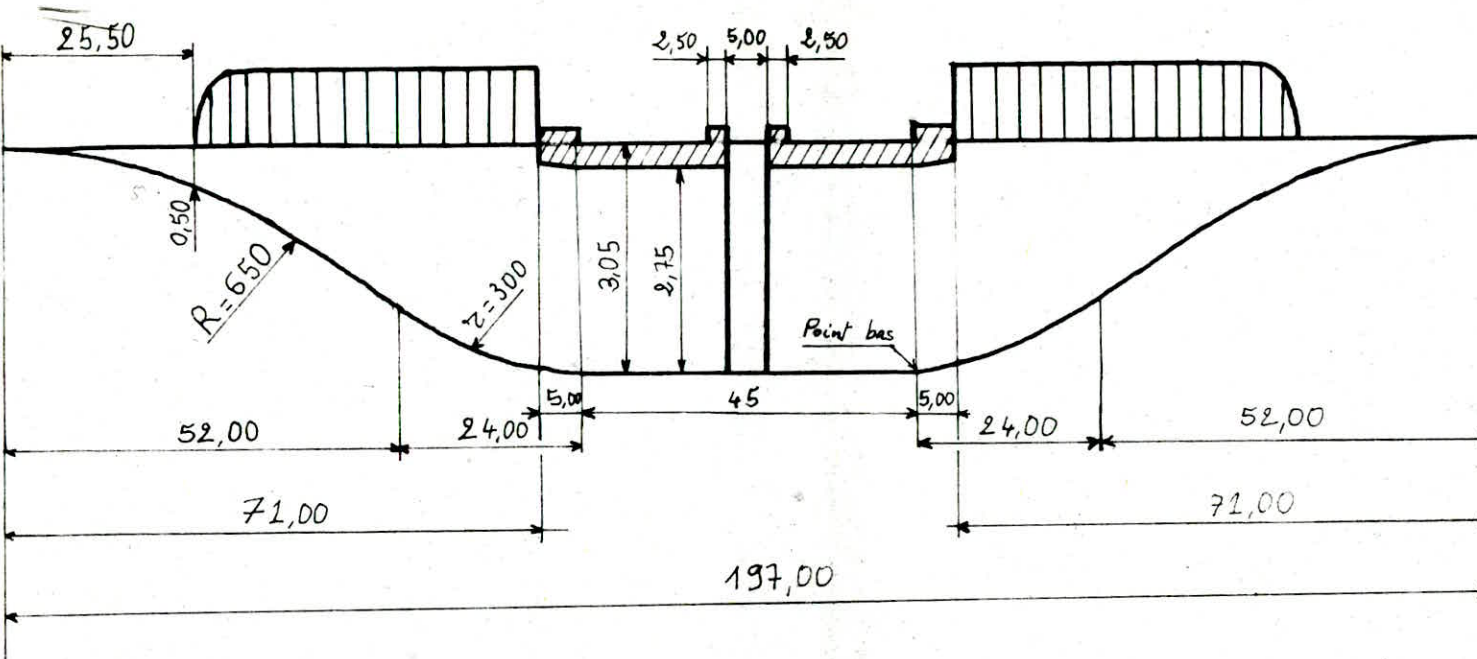
Il est à remarquer que les murs de soutènement seront installés seulement à partir d'une dénivellation de 0,5 m, avant une simple bordure de trottoir sera suffisante.

Profil en long

éch.

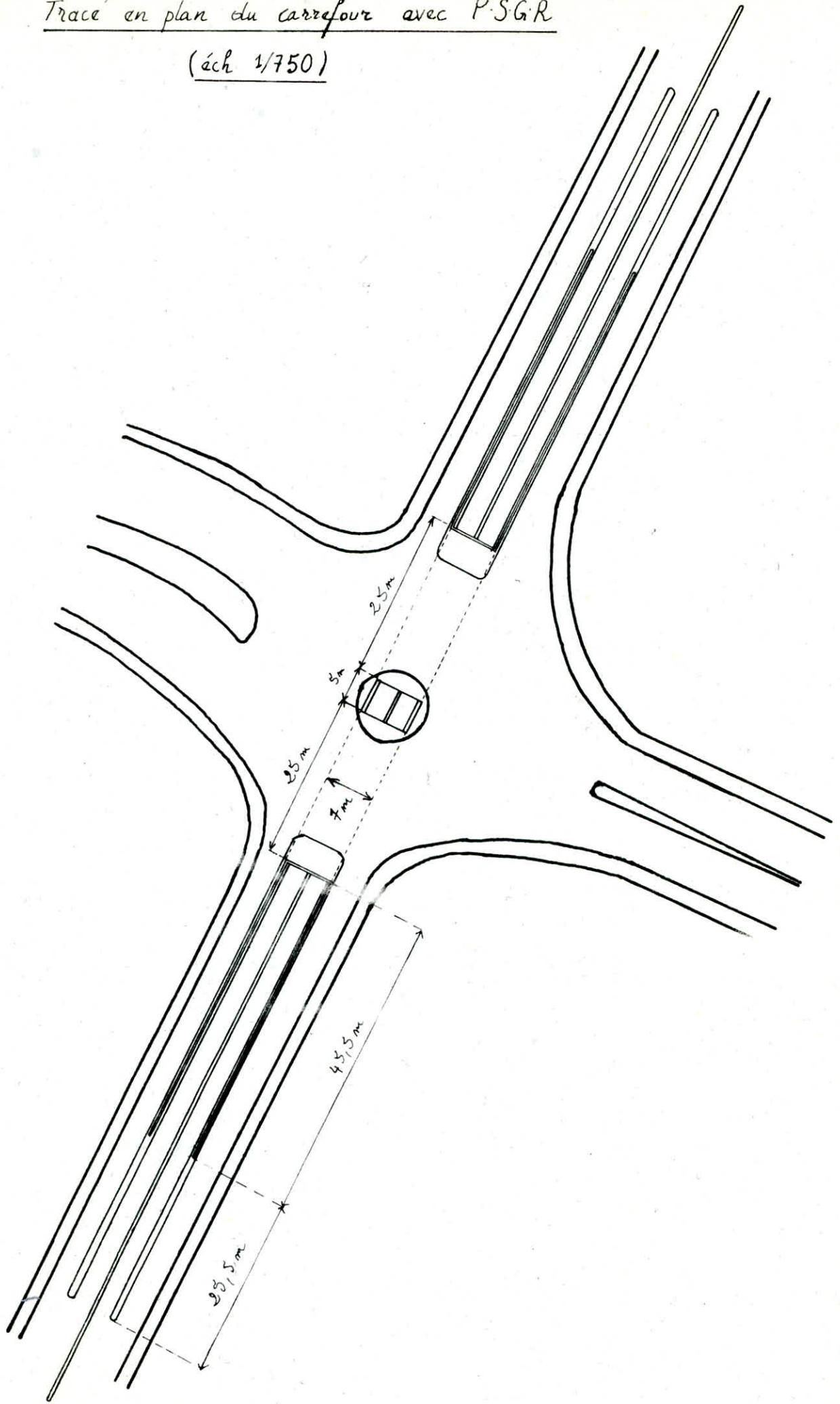
1/100

→ 1/1000



Trace en plan du carrefour avec P.S.G.R

(ach 1/750)



Prescriptions du cahier de charges

Quand au dimensionnement des chaussées

l'augmentation du trafique au niveau du carrefour ayant été estimée comme suit : de 1985 à 1990 12% / an
de 1991 à 2000 10% / an.

Les abaques de la RN29 prévoient les compositions de chaussées suivantes :

- 8 cm de béton bitumineux, pour la couche de roulement
- 19 cm de gravé concassé, pour la couche de base
- Et une couche de fondation de CBR > 30.

A partir de ces épaisseurs calculées, les chaussées seront dimensionnées comme suit :

Pour les chaussées avoisinant l'ouvrage

- couche de roulement : 8 cm de béton bitumineux
- couche d'imprégnation : cut back 0/1
- couche de base : 25 cm de gravé concassé
- couche de fondation : 20 cm de tuf

Pour la voie du P.S.G.R

- couche de roulement : 8 cm de béton bitumineux
- couche d'imprégnation : cut back 0/1
- couche de base : 20 cm de gravé concassé
- couche de fondation : 20 cm de tuf.

Pour la chaussée sur ouvrage

- couche de roulement : 6 cm de béton bitumineux
- couche d'imprégnation : cut back 400/600.
- chape d'étanchéité : 3 cm.

Quand à la séismicité des lieux

La ville d'Oran étant en zone III ; les accélérations séismiques sont ainsi données

0,06 g dans le sens horizontale.

0,10 g dans le sens verticale.

Quand à la nature du remblai utilisé

Le remblai utilisé doit répondre aux critères suivants

- La dimension maximale des éléments qui le constituent est de 200 mm dans tout sens
- Sa teneur en eau naturelle doit être inférieure à 13 %.
- Ses limites d'Atterberg doivent donner un indice de plasticité (I_p) inférieur à 17.
- La densité sèche maximum obtenue par essai Proctor modifié doit être supérieur à 1,6.
- L'essai équivalent de sable doit donner une valeur supérieure à 25.

Quand aux caractéristiques mécaniques des matériaux de construction

Les aciers utilisés sont : pour les Adx des FeE 24

pour les HA des FeE 40.

La longueur maximum des barres est de 12 m.

Selon le CCBA 68 les contraintes de ces aciers sont :

$$\text{FeE 24} : \sigma_{en} = 2350 \text{ bars} = 2400 \text{ kg/cm}^2 \quad \text{et} \quad \bar{\sigma}_a = 1570 \text{ bars} = 1600 \text{ kg/cm}^2$$

$$\text{FeE 40} : \begin{cases} \phi \leq 20 \text{ cm} & \sigma_{en} = 4120 \text{ b} = 4200 \text{ kg/cm}^2 \text{ et } \bar{\sigma}_a = 2750 \text{ b} = 2800 \text{ kg/cm}^2 \\ \phi > 25 \text{ cm} & \sigma_{en} = 3920 \text{ b} = 4000 \text{ kg/cm}^2 \text{ et } \bar{\sigma}_a = 2610 \text{ b} = 2670 \text{ kg/cm}^2 \end{cases}$$

La composition du béton, qui doit être strictement contrôlé, est :

- Du ciment CP1 325, dosé à 400 kg/m³ pour le tablier et à 350 kg/m³ pour les semelles et les piedroits.

- Des granulats concassés 5-25.

- Du sable 0-5

Avec ces données on tire du CCBA 68, les contraintes admissibles

suivantes. Flexion simple

	$\bar{\sigma}_b' (\text{kg/cm}^2)$	$\sigma_{b_0}' (\text{kg/cm}^2)$	$\bar{\sigma}_b (\text{kg/cm}^2)$
béton dosé à 400 kg/m ³	183,6	91,8	7,6
béton dosé à 350 kg/m ³	165,0	82,5	7,1

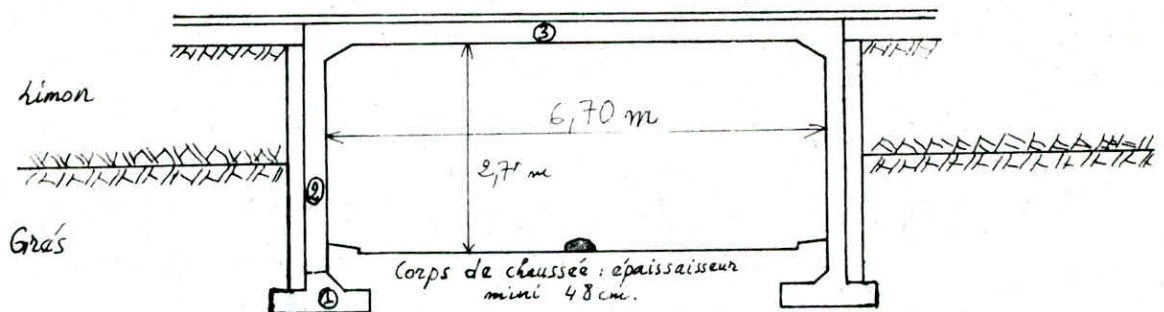
$$\text{En flexion composée} : \bar{\sigma}_b' = \bar{\sigma}_{b_0}' \left(1 + \frac{e_{e_0}}{h_t} \right)$$

avec : e_0 : distance du point d'application de la force extérieure au C.O.G. de la section complète de béton seul, et h_t : hauteur totale de la section.

Calcul des éléments d'ouvrages coulés en place.

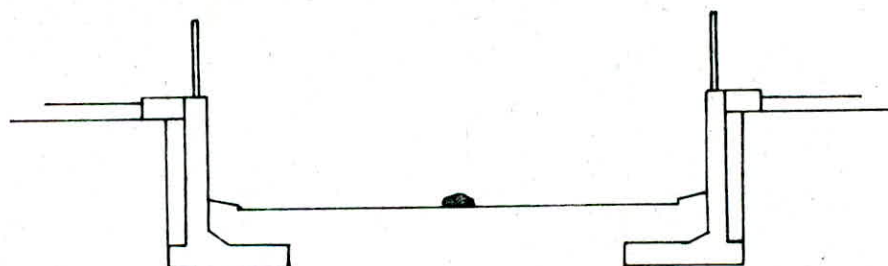
Vue l'excellente nature du sol et l'absence de nappe phréatique, nous avons adopté pour le souterrain une structure en portique ouvert hyperstatique ; et des murs de soutènement en vis à vis pour les tèmisi d'accès et la mise à ciel ouvert sur 5m du souterrain.

Coupe en travers du souterrain (éch: 1/100)



La réalisation se fera en 3 phases : - on coule les semelles
puis les piedroits
et enfin la traverse.

Coupe en travers des tèmisi d'accès (éch: 1/100)



De même pour les murs de soutènement on commence par couler les semelles, bien sûr.

Etude du Portique

Prédimensionnement

Pour les passages souterrain on prends généralement α entre $l/30$ et $l/25$ comme épaisseur de la traverse et des piedroits ; $\alpha = 25 \text{ cm}$.

la semelle déborde de 80 cm vers la paroi de la fouille, et ceci afin de mettre un dispositif de drainage des eaux de pluie ; en SOPREX.

Il est à remarquer que le souterrain présente une pente de 0,5%, et ceci afin que les voies sur et sous ouvrage soient parallèles.

Calcul des efforts

Hypothèses de calcul : - les semelles sont supposées ancrées dans le grès, empêchant la rotation des piedroits.

- La traverse, dont la longueur est beaucoup plus grande que la portée ($P = \frac{lx}{l_y} \approx 0$), est une dalle en béton armé supposée fonctionnant de manière isotrope longitudinalement et transversalement.

- Il n'y a pas de remblai sur la traverse, ni de charges exceptionnelles.

Charges sollicitant le portique : - Poids propre de la traverse et du revêtement.

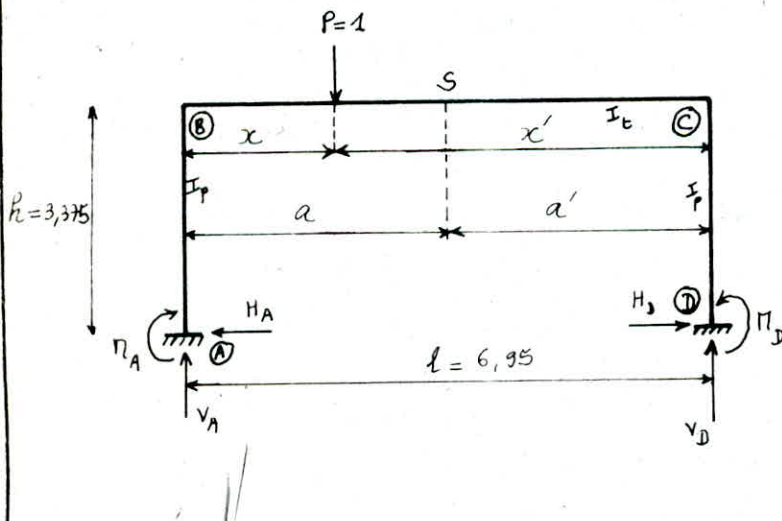
- Surcharges routières réglementaires

- Charges apportées par les dalles de transition

- Poussée des terres latérales.

Pour calculer les efforts engendrés par les charges mobiles on utilise la méthode des lignes d'influences, qui ont été déterminées par la méthode de Kleinogel.

Soit une charge unitaire mobile sur la traverse, les équations des lignes d'influence ont une forme fondamentale : $y = e' w'_D + e w_D$.



e et e' étant des valeurs fixes du cadre, qui peuvent être négatives.

w_D et w'_D sont des paramètres fonction de ξ et ξ'

avec $\xi = \frac{x}{l}$ et $\xi' = \frac{x'}{l}$
et $x + x' = l$.

$$w'_D = \xi' - \xi'^3 \text{ et } w_D = \xi - \xi^3$$

Soit les facteurs de charges : Z et R : $Z = l w'_D$ et $R = l w_D$

Moments statiques des charges M_Z et M_R : $M_Z = l \xi'$ et $M_R = l \xi$

et soit s la résultante de charge verticale : dans notre cas $s = P = 1$.

On définit les constantes suivantes : $x_1 = \frac{L+R}{6N_1}$; $x = \frac{L-R}{2N_2}$

$$k = \frac{I_t \cdot h}{I_p \cdot l} ; N_1 = k+l ; N_2 = 6k+1$$

D'où les équations des moments, qui seront celles des lignes d'influences :

$$\begin{cases} M_A = x_1 - x \\ M_D = x_1 + x_3 \end{cases} \quad \begin{cases} M_B = -2x_1 - x \\ M_C = -2x_1 + x \end{cases}$$

Calcul des coefficients ci-dessus définis

Remarque : $I_t = I_p$ respectivement inertie de la traverse et du pied-à-terre.

$$k = 0,4856 ; N_1 = 2,4856 ; N_2 = 3,9137$$

$$x_1 = 0,4660\omega'_D + 0,4660\omega_D ; x = 0,8879\omega'_D - 0,8879\omega_D$$

Équations des moments, et des ordonnées des lignes d'influences :

$$y_{M_A} = M_A = -0,4219\omega'_D + 1,3539\omega_D$$

$$y_{M_D} = M_D = 1,3539\omega'_D - 0,4219\omega_D$$

$$y_{M_B} = M_B = -1,8199\omega'_D - 0,0441\omega_D$$

$$y_{M_C} = M_C = -0,0441\omega'_D - 1,8199\omega_D$$

Ligne d'influence du moment à mi-travée M_s

La traverse étant considérée comme une poutre hyperstatique, on utilise la formule suivante : (1) $M_s = M_x^o + \frac{x'}{\ell} M_B + \frac{x}{\ell} M_C$ M_x^o étant le moment isostatique de la traverse.

$$\text{et } M_x^o = a' \xi \quad \text{dans le domaine } a$$

$$\text{et } M_x^o = a \xi' \quad \text{dans le domaine } a'$$

Pour $x=a$ et $x'=a'$ on pose $\alpha' = \frac{a'}{\ell}$ et $\alpha = \frac{a}{\ell}$

L'équation (1) devient donc : (2) $\begin{cases} y_{M_s} = a' \xi + \alpha' y_B + \alpha y_C & : \text{domaine } a \\ y_{M_s} = a \xi' + \alpha' y_B + \alpha y_C & : \text{domaine } a' \end{cases}$

à mi-travée $\alpha = \alpha' = 0,5$ d'où $\alpha' = \alpha' \ell = 3,475$ et $\alpha = \alpha \ell = 3,475$

$$(2) \quad \begin{cases} y_{M_s} = 3,475 \xi + 0,5 y_B + 0,5 y_C & \text{domaine } a \\ y_{M_s} = 3,475 \xi' + 0,5 y_B + 0,5 y_C & \text{domaine } a' \end{cases}$$

ligne d'influence de la réaction d'appui horizontale (H)

$$\frac{H}{(A,D)} = \frac{3X_1}{h} \quad \text{od} \quad y_{(A,D)}^H = 0,4142 w_D' + 0,4142 w_3.$$

Des réactions d'appuis verticales (V)

$$V_A = \frac{M_2 + 2X}{\ell} \quad \Leftrightarrow \quad y_{V_A} = f' + 0,2555 \omega_D' - 0,2555 \omega_D$$

$$Y_D = S - V_A = 1 - V_A \quad \text{and} \quad Y_{Y_D} = \xi - 0,2555 \omega'_D + 0,2555 \omega_D$$

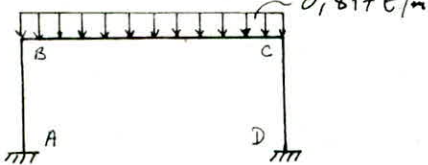
Ligne d'influence du moment à mi-hauteur du piedroit

Sous l'effet des charges roulantes sur la traverse l'équation de ce moment est donnée par : $M_s' = M_A - H_A \cdot \beta \cdot h$ avec $\beta = 0,5$ car à mi-hauteur du pieddroit.

$$\beta h \left[\frac{1}{m} \right]^{S'} \Rightarrow y_{M'_s} = y_{n_A} - 1,6875 y_{H_A}$$

Tableau récapitulatif des résultats obtenus

Efforts sous charges permanentes



$$q_1: \text{poids propre de la traverse} \quad q_1 = \gamma_b \cdot e_b \cdot 1 = 2,5 \cdot 0,25 \cdot 1 \\ q_1 = 0,625 \text{ t/m}$$

$$q_2: \text{poids de la couche d'étanchéité} \quad q_2 = \gamma_e \cdot e_e \cdot 1$$

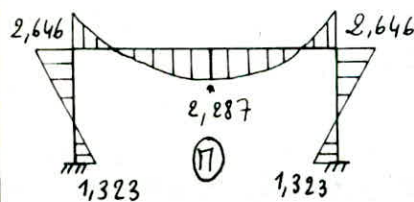
$$q_2 = 0,03 \cdot 2,1 \cdot 1$$

$$q_2 = 0,066 \text{ t/m.}$$

$$q_3: \text{poids de la couche de roulement; } q_3 = \gamma_r \cdot e_r \cdot 1 = 0,06 \cdot 2,1 \cdot 1$$

$$q_3 = 0,216 \text{ t/m.}$$

$$\text{et } q = q_1 + q_2 + q_3 = 0,817 \text{ t/m}$$



$$H_A = H_D = -\frac{q l^2}{4h(2+k)} = -1,176 \text{ t}$$

$$V_A = V_D = \frac{q l}{2} = 2,84 \text{ t.}$$

$$\Pi_A = \Pi_D = \frac{q l^2}{12(2+k)} = 1,323 \text{ t.m}$$

$$\Pi_B = \Pi_C = \frac{-q l^2}{6(2+k)} = -2,246 \text{ t.m} \quad ; \quad \Pi_e = \frac{q l^2(2+3k)}{24(2+k)} = 2,287 \text{ t.m}$$

Sous la poussée des terres latérales

Etant donné que les pieds de poteau sont considérés comme encastrés à leurs extrémités, ils ne subissent aucun déplacement, de ce fait on calcule les terres au repos. avec $K_0 = 0,5$.

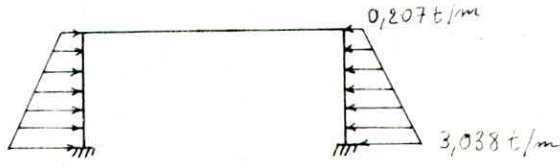
Au niveau du souterrain, et sur toute sa longueur, la fouille est plus large de 60 cm qu'au niveau des trémies d'accès. Et du fait que les terres latérales sont cohérentes, la fouille ne nécessite même pas de blindage, on prends en compte dans les calculs :

- la poussée P_1 latérale sur le poteau due au remblai de caractéristiques suivantes:

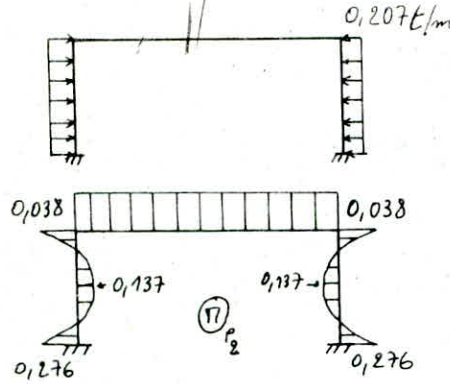
$$\gamma = 1,8 \text{ t/m}^3; \quad \varphi = 30^\circ; \quad c = 0 \text{ kN} \quad ; \quad P_1 = K_0 \cdot \gamma \cdot h = 3,038 \text{ t/m.}$$

- La poussée P_2 due au poids des terres et de la couche de revêtement, situées au dessus de l'axe neutre de la traverse.

$$P_2 = K_0 [\delta_r \cdot e_r + \delta_c \cdot e_c] = 0,207 \text{ t/m}^2.$$



On superpose les diagrammes qui suivent.

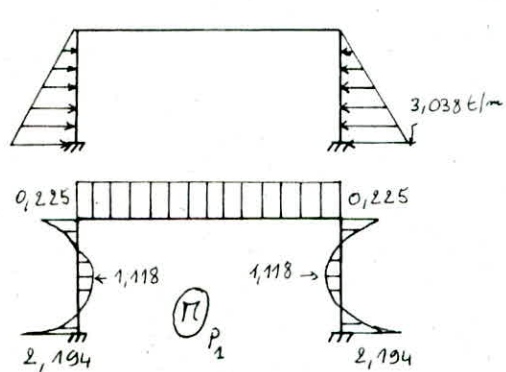


$$M_A = M_D = - \frac{q h^2}{12} \frac{k+3}{N_1} = -0,276 \text{ t.m}$$

$$M_B = M_C = - \frac{q h^2}{12} \frac{k}{N_1} = -0,038 \text{ t.m}$$

$$M\left(\frac{h}{2}\right) = \frac{q h^2}{8} + 0,5 M_B + 0,5 M_A = 0,137 \text{ t.m}$$

$$H_A = H_D = \frac{q h}{2} = 0,349 \text{ t}$$



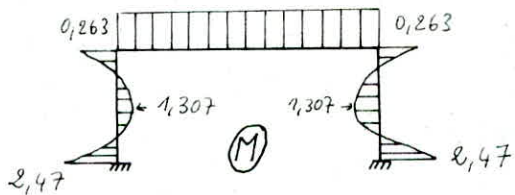
$$M_A = M_D = - \frac{3 p h^2}{60} \frac{3k+8}{N_1} = -2,194 \text{ t.m}$$

$$M_B = M_C = - \frac{p h^2}{30 N_1} k = -0,225 \text{ t.m}$$

$$H_A = H_D = - \frac{p h}{20} \frac{7k+16}{N_1} = -4,001 \text{ t}$$

$$M\left(\frac{h}{2}\right) = 1,118 \text{ t.m.}$$

$$(M_{P_1} + M_{P_2}) \text{ et } (M)$$

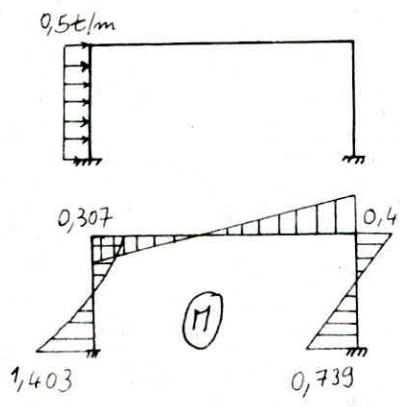


Efforts sous surcharges sur remblai, latérale à l'ouvrage.

Les surcharges prise en compte sont celle préconisée par le C.P.C pour les calculs des murs de soutènements et les culées de ponts : - charge répartie de $1t/m^2$ pour les murs de grandes dimensions

- charge concentrée B_t ou B_s pour les éléments de faible dimensions.

Sous une charge répartie de $1t/m^2$ agissant sur un seul pieddroit



$$q = K_0 \cdot q_0 = 0,5 \cdot 1 = 0,5 \text{ t/m}^2$$

$$M_A = \frac{q h^2}{4} \left[-\frac{k+3}{6N_1} - \frac{4k+1}{N_2} \right] = -1,403 \text{ t.m}$$

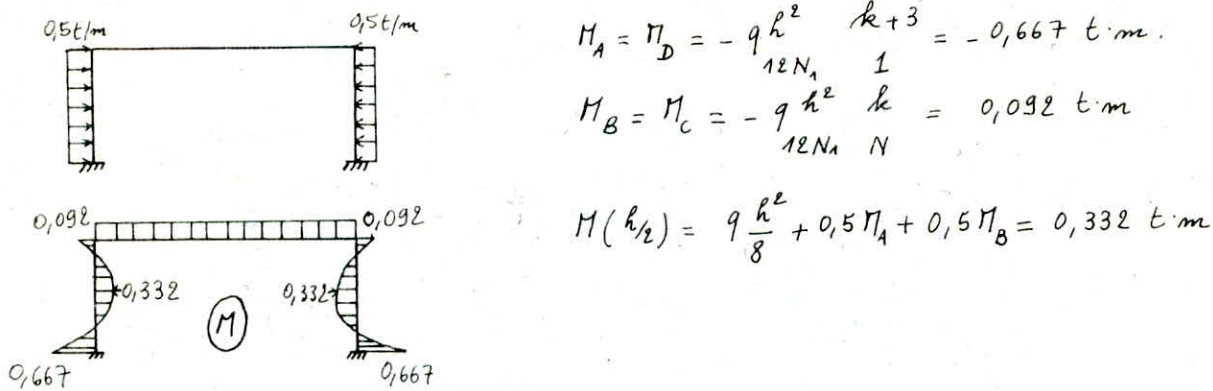
$$M_D = \frac{q h^2}{4} \left[-\frac{k+3}{6N_1} + \frac{4k+1}{N_2} \right] = 0,739 \text{ t.m} ; M_B = \frac{q h^2}{4} \left[-\frac{k}{6N_1} + \frac{8k}{N_2} \right] = 0,307 \text{ t.m}$$

$$M_C = \frac{q h^2}{4} \left[-\frac{k}{6N_1} - \frac{8k}{N_2} \right] = -0,4 \text{ t.m} ; M\left(\frac{h}{2}\right) = \frac{q h^2}{8} + 0,5 M_A + 0,5 M_B = 0,164 \text{ t.m}$$

$$H_D = + \frac{q h}{8} \frac{(2k+3)}{N_1} = 0,337 \text{ t} ; H_A = -(q \frac{h}{2} - H_D) = -0,507 \text{ t}$$

$$V_A = -V_D = - \frac{q h^2 k}{2 N_2} = 0,102 \text{ t}$$

Surcharge ($1t/m^2$) agissant sur les 2 piedroits

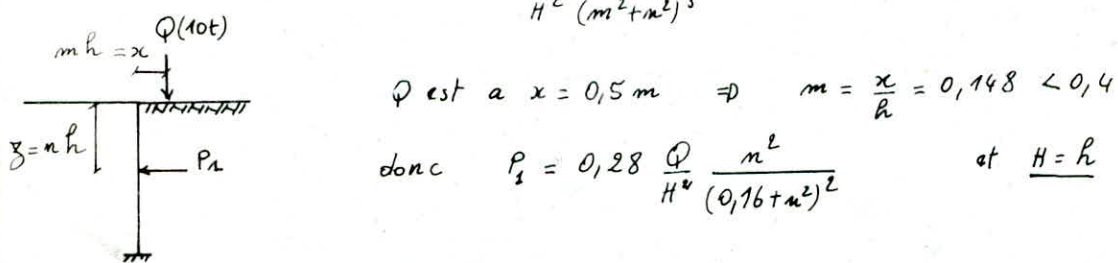


Surcharge concentrée de $10t$ (roue B_2 , plus défavorable que B_1) ; placée à $0,5 \text{ m}$ de l'écran du piedroit.

On évalue les pressions unitaires sur l'écran par les formules suivantes due à Karl Terzaghi.

$$P_1 = 0,28 \frac{Q}{H^2} \frac{n^2}{(0,16+n^2)^3} \quad \text{pour } m < 0,4$$

$$\text{et } P_1 = 1,77 \frac{Q}{H^2} \frac{m^2 n^2}{(m^2+n^2)^3} \quad \text{pour } m > 0,4$$



Vue en plan (pressions en cloche.)

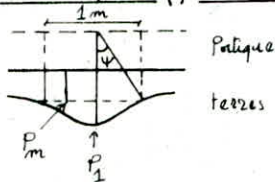
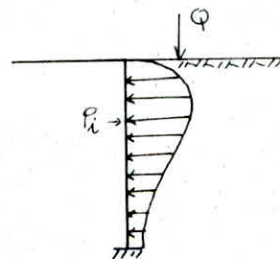


Diagramme des pressions unitaires P_1 .



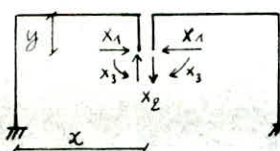
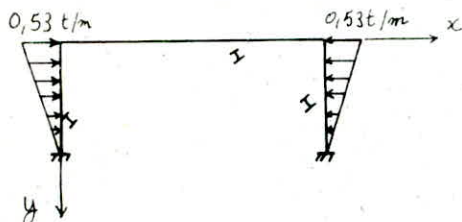
En plan la distribution des pressions se fait suivant une cloche qui a pour max la courbe des pressions P_1 , vue qu'on travaille par m de largeur on prends une valeur moyenne des courbes de pression, P_m : $P_m = P_1 (1 + \cos^2 \psi)$ avec $\psi = \arctg \frac{0,5}{0,5} = 45^\circ$.

$$\Rightarrow P_m = 0,21 \frac{m^2}{(0,16+m^2)^3}$$

n	0,125	0,250	0,375	0,500	0,625	0,750	0,875	1,000
P_m	0,525	1,033	0,942	0,660	0,426	0,271	0,168	0,117

Pour le calcul des efforts nous utiliserons un diagramme triangulaire, équivalent au diagramme courbe, dans le sens qu'il provoque le même moment en base du piedroit supposé isolé.

1^e cas : les deux piedroits sollicités.

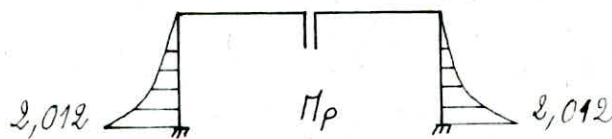


On applique la méthode du centre élastique.

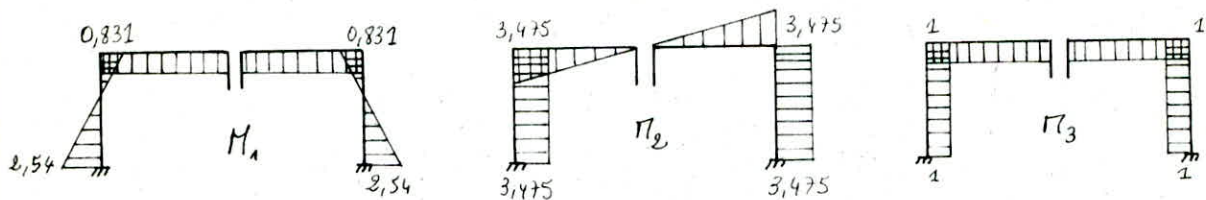
Coordonnées du centre élastique :

$$x = \frac{l}{2} = 3,475 \text{ m}$$

$$y = \frac{\sum l'_i \cdot y_i}{\sum l'_i} \quad \text{avec } l' = \frac{l}{I} ; \quad y = 0,832 \text{ m.}$$



Diagrammes unitaires



Le système étant symétrique on a le système d'équations canoniques suivant :

$$(1) \quad \begin{cases} S_{11} X_1 + S_{1p} = 0 \\ S_{22} X_2 + S_{2p} = 0 \\ S_{33} X_3 + S_{3p} = 0 \end{cases}$$

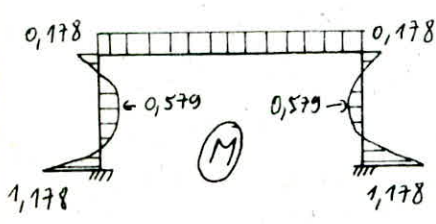
les tableaux des intégrales de Mohr nous permettent de calculer les S_{ij} et les S_{ip} :

$$\begin{aligned} S_{11} &= \frac{19,36}{EI} ; \quad S_{22} = \frac{55,95}{EI} ; \quad S_{33} = \frac{6,85}{EI} \\ S_{1p} &= \frac{3,842}{EI} ; \quad S_{2p} = 0 ; \quad S_{3p} = \frac{2,264}{EI} \end{aligned}$$

En remplaçant ces coefficients dans (1) on aura :

$$X_1 = -0,198 t \quad ; \quad X_2 = 0,000 t \quad ; \quad X_3 = 0,331 t \cdot m$$

Diagramme final



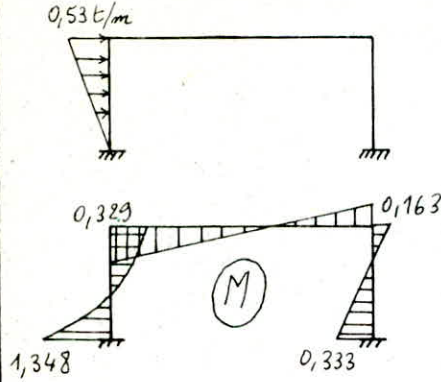
$$M_A = -1,178 t \cdot m = M_D$$

$$M_B = M_C = -0,178 t \cdot m$$

$$H_A = H_D = 0,696 t$$

$$M\left(\frac{l}{2}\right) = 0,579 t \cdot m$$

2^e cas : Un seul pied droit sollicité.



On utilise la méthode du 1^e cas (centre élastique).

On obtient le même système d'équation canonique qu'au 1^e cas de charge.

Valeurs des déplacements relatifs :

$$\delta_{11} = \frac{38,72}{EI} \quad \delta_{22} = \frac{111,9}{EI} \quad \delta_{33} = \frac{13,7}{EI}$$

$$\delta_{1P} = \frac{3,482}{EI} \quad \delta_{2P} = -\frac{7,866}{EI} \quad \delta_{3P} = -\frac{2,264}{EI}$$

$$\Rightarrow x_1 = 0,099 t ; x_2 = 0,071 t ; x_3 = 0,166 t \cdot m$$

et donc :

$$N_A = -1,348 t \cdot m ; N_B = 0,329 t \cdot m$$

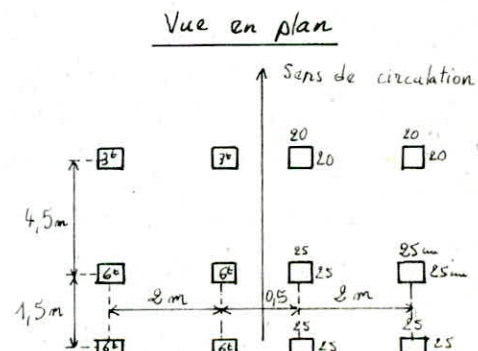
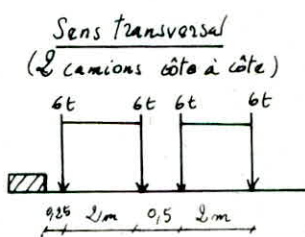
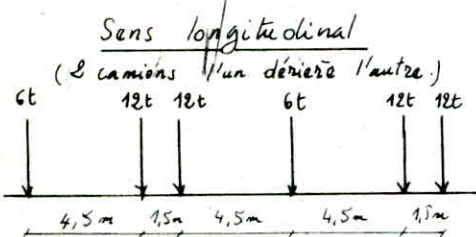
$$N_C = -0,163 t \cdot m ; N_D = 0,333 t \cdot m$$

$$H_A = 0,795 t ; H_D = 0,099 t$$

$$V_A = -V_D = 0,071 t$$

Efforts dus aux charges mobiles passant sur la traverse.

Système B_C



On calcule les efforts pour une bande de 2,5m du portique, bande qui correspond au gabarit du camion B_C. Dans cette bande on peut disposer soit 2 roues d'un même camion, soit 2 roues de 2 camions voisins, les efforts calculés sont ensuite réduits par la linéaire.

Par la méthode des lignes d'influences : $M = \sum_{i=1}^n P_i \cdot y_i$ avec y_i ordonnée des lignes d'influence correspondant à P_i .

Les dispositions les plus défavorables donnent les résultats suivants (par bande de 2,5m)

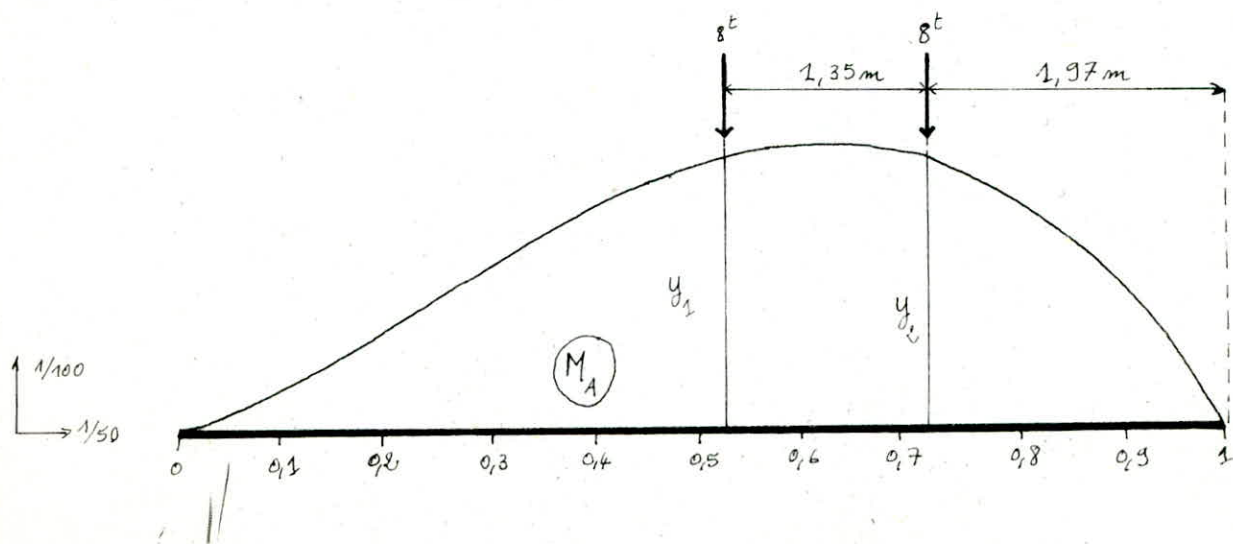
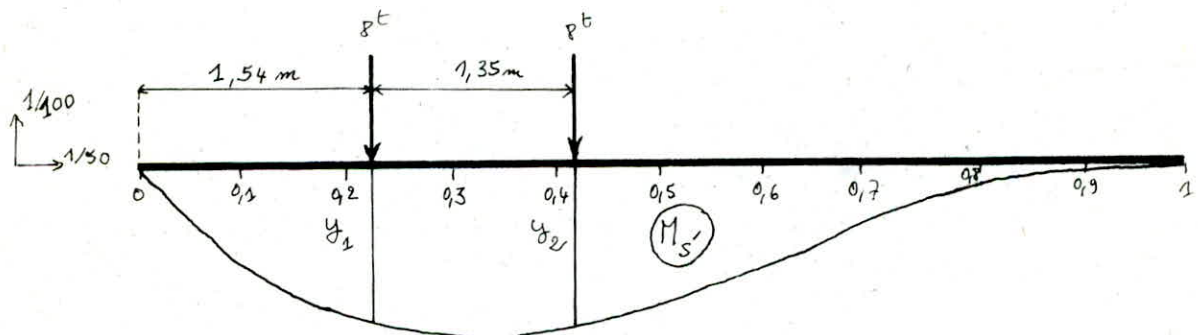
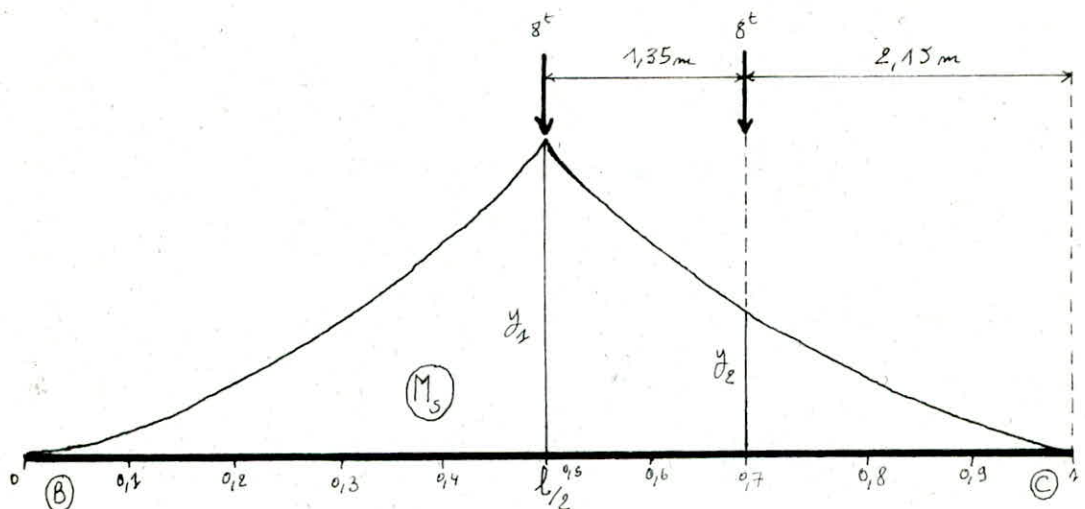
$$M_s = 2 \cdot 6 (y_1 + y_2) = 2 \cdot 6 (1,039 + 0,425) = 17,568 t \cdot m$$

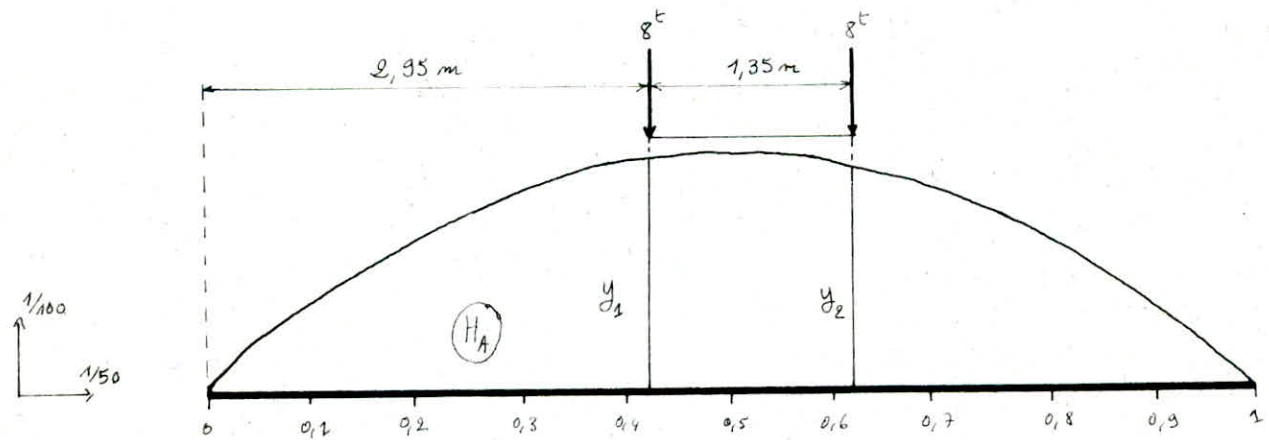
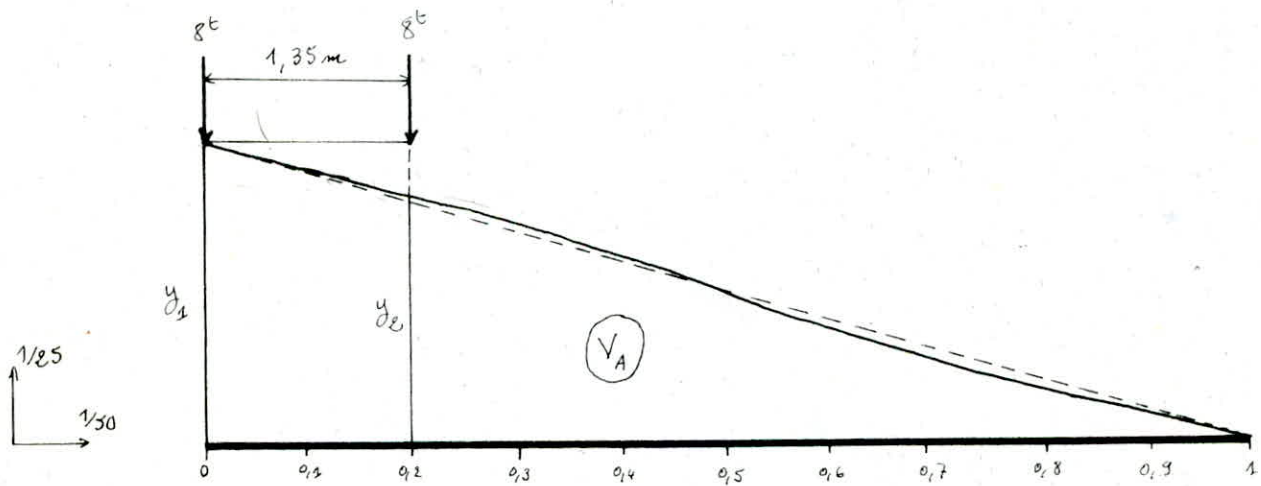
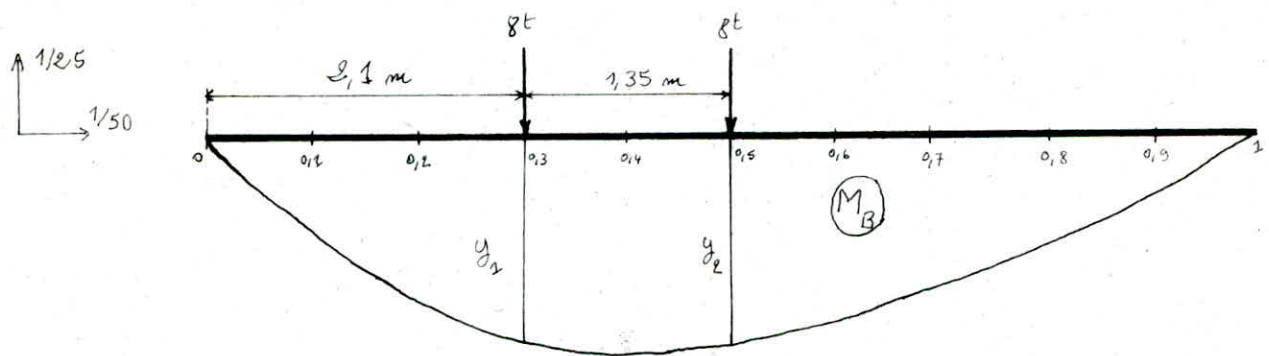
$$N_s = 2 \cdot 6 (y_1 + y_2) = 2 \cdot 6 (-0,22 - 0,21) = -5,16 t \cdot m$$

Epure des lignes d'influences, avec la disposition des charges B_t

Echelle :

1/25
1/50





$$M_A = 2 \cdot 6 \cdot (y_1 + y_2) = 2 \cdot 6 \cdot (0,375 + 0,36) = 8,82 \text{ t} \cdot \text{m}$$

$$\Pi_B = 2 \cdot 6 \cdot (y_1 + y_2) = 2 \cdot 6 \cdot (-0,68 - 0,69) = -16,44 \text{ t} \cdot \text{m}$$

$$V_A = 2 \cdot 6 \cdot (y_1 + y_2 + y_3) = 2 \cdot 6 \cdot (1 + 0,705 + 0,05) = 12,685 \text{ t}$$

$$H_A = 2 \cdot 6 \cdot (y_1 + y_2) = 2 \cdot 6 \cdot (0,295 + 0,3) = 7,14 \text{ t}$$

Par bande de 1 m on aura :

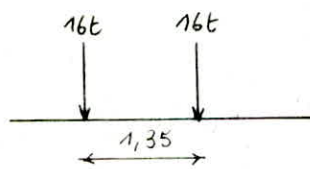
$$\Pi_S = 7,027 \text{ t} \cdot \text{m/m} ; \quad \Pi_{S'} = -2,064 \text{ t} \cdot \text{m/m} ; \quad \Pi_A = 3,528 \text{ t} \cdot \text{m/m}$$

$$\Pi_B = 16,44 \text{ t} \cdot \text{m/m} ; \quad V_A = 5,074 \text{ t/m} ; \quad H_A = 2,856 \text{ t/m}$$

Sous le système B_t

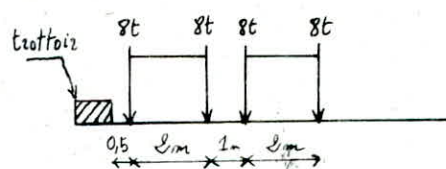
Sans longitudinal

(1 seul camion)

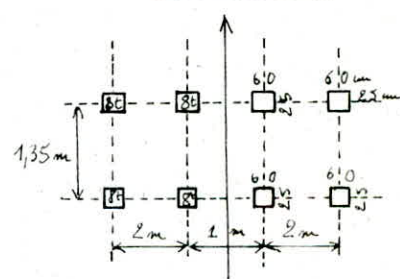


sens transversal

(2 camions côté à côté)



Vue en plan



On dispose un seul tandem dans le sens longitudinal, pour une bande transversale de 3 m (correspondant au gabarit du camion B_t).

Les dispositions les plus défavorables donnent (par bande de 3 m.)

$$\Pi_S = 2 \cdot 8 \cdot (y_1 + y_2) = 2 \cdot 8 \cdot (1,039 + 0,47) = 24,144 \text{ t} \cdot \text{m}.$$

$$\Pi_{S'} = 2 \cdot 8 \cdot (y_1 + y_2) = -2 \cdot 8 \cdot (0,81 + 0,215) = -6,8 \text{ t} \cdot \text{m}$$

$$\Pi_A = 2 \cdot 8 \cdot (y_1 + y_2) = 2 \cdot 8 \cdot (0,36 + 0,36) = 11,52 \text{ t} \cdot \text{m}$$

$$\Pi_B = 2 \cdot 8 \cdot (y_1 + y_2) = -2 \cdot 8 \cdot (0,69 + 0,68) = -21,92 \text{ t} \cdot \text{m}$$

$$V_A = 2 \cdot 8 \cdot (y_1 + y_2) = 2 \cdot 8 \cdot (1 + 0,82) = 29,12 \text{ t}$$

$$H_A = 2 \cdot 8 \cdot (y_1 + y_2) = 2 \cdot 8 \cdot (0,31 + 0,29) = 9,6 \text{ t}$$

Et par bande de 1 m on aura :

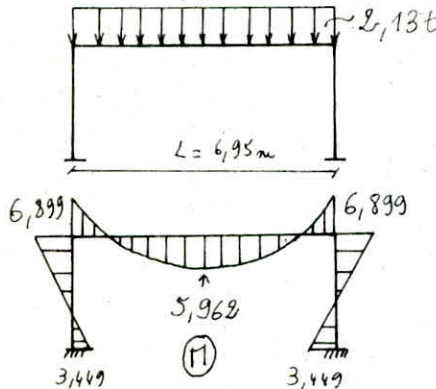
$$\Pi_S = 8,048 \text{ t} \cdot \text{m/m} ; \quad \Pi_{S'} = -2,267 \text{ t} \cdot \text{m/m} ; \quad \Pi_A = 3,84 \text{ t} \cdot \text{m/m}$$

$$\Pi_B = -7,307 \text{ t} \cdot \text{m/m} ; \quad V_A = 9,7 \text{ t/m} ; \quad H_A = 3,8 \text{ t/m}$$

Système B_n

L'effet de la roue B_n de 10t sur le portique est relativement négligeable par rapport aux autres systèmes, B_c, B_e et A. On ne tient donc pas compte des efforts dus à ce système, mais on vérifie le poinçonnement de la dalle sous la roue B_n de 10t.

Système de charge A (par bande de 1 m de large.)



$$A = 230 + \frac{36000}{L+12} = 2,13 \text{ t/m}^2.$$

Avec les formules utilisées pour le portique sous charges permanentes on a :

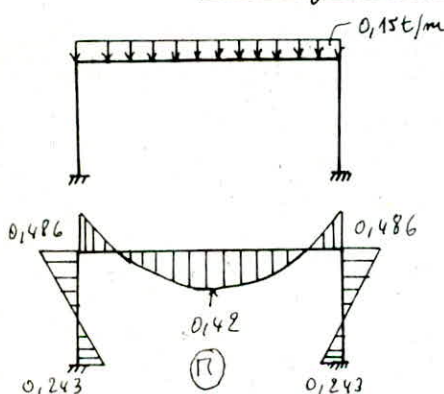
$$M_A = M_D = 3,449 \text{ t.m/m.l.}$$

$$N_B = N_C = -6,899 \text{ t.m/m.l.}$$

$$R_t(\frac{l}{2}) = 5,962 \text{ t.m/m.l.}$$

$$\text{et } H_A = H_D = -3,066 \text{ t.m/l. ; et } V_A = V_D = 7,402 \text{ t.m/l.}$$

Surcharge trottoir : 150 kg/m



$$q = 0,15 \text{ t/m.}$$

$$\text{D'où : } M_A = M_D = 0,243 \text{ t.m/m.l}$$

$$N_B = N_C = -0,486 \text{ t.m/m.l.}$$

$$R_t(\frac{l}{2}) = 0,42 \text{ t.m/m.l}$$

$$H_A = H_D = -0,216 \text{ t.m/l. ; } V_A = V_D = 0,521 \text{ t.m/l.}$$

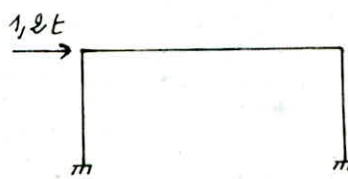
Efforts dus au freinage des véhicules

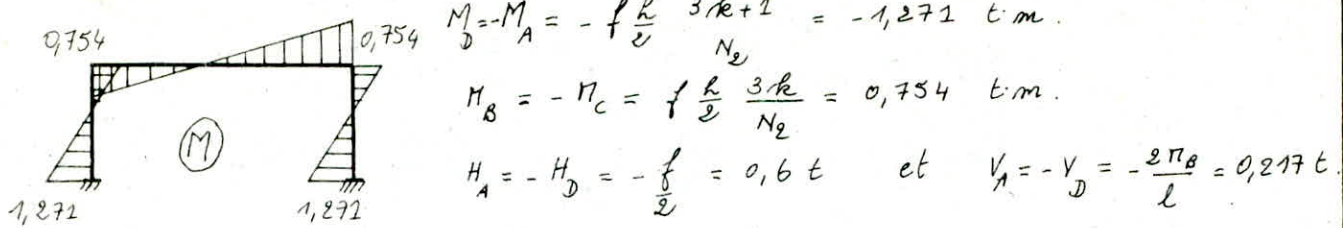
On suppose qu'un seul camion freine par tablier, camion B_c de 30t ; ainsi l'effort développé sur toute la longueur de la dalle est une force (f.L) rasante.

$$f = \frac{F}{L} \quad F: \text{effort total de freinage ; } F = 30 \text{ t}$$

L : longueur de la traverse $L = 85 \text{ m.}$

$$\Rightarrow f = \frac{30}{85} = 1,2 \text{ t/m.l}$$

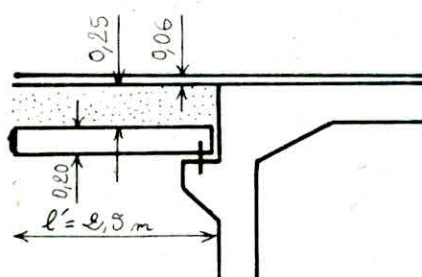




Effets apportés par les dalles de transition.

La dalle de transition, goudronnée sur le corbeau du portique, est supposée simplement appuyée sur le piedhaut et le sol. La dalle est soumise à :

- Au charges roulantes.



- Son poids propre : $2,5 \cdot 0,2 \cdot 1 = 0,5 \text{ t/m}$

- poids du corps de chaussée : $1,8 \cdot 0,25 \cdot 1 = 0,45 \text{ t/m}$

- poids de la couche de revêtement : $0,06 \cdot 2,1 \cdot 1 = 0,126 \text{ t/m}$

$$\text{total : } q = 1,076 \text{ t/m.}$$

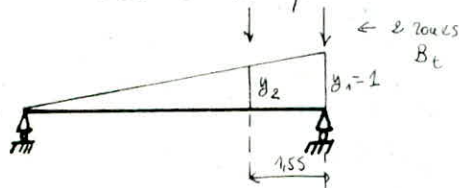
Cette dalle de transition transmet un effort tranchant au portique : $T = T_g + 1,2 T_s$

T_g : effort tranchant dû aux charges permanentes. $T_g = q_g \frac{l'}{2} = 2,845 \text{ t.}$

T_s : effort tranchant dû aux charges roulantes

On détermine T_s d'après les lignes d'influences.

Schéma statique de la dalle de transition avec ligne d'influence de T_s en B.



Ce schéma est le cas le plus défavorable.

$$T_s = \sum P_i y_i = 2 \cdot 8 \cdot (y_1 + y_2) = 16(1 + 0,46) = 23,36 \text{ t}$$

T_s est calculé par bandes de 3 m. $\Rightarrow T_s = 7,79 \text{ t/m.}$

L'effort tranchant total transmis au corbeau est donc $T = T_g + 1,2 T_s$

$$T = 10,603 \text{ t.}$$

Dimensionnement du corbeau

Le corbeau étant considéré comme une console courte, on le dimensionne suivant les recommandations du Bureau "SECURITAS"

$$\text{On vérifie que } \ell_c \geq \frac{T}{b \cdot \bar{\sigma}_{b0}} \Rightarrow \ell_c \geq 1,56 \text{ cm}$$

on prend $\ell_c = 10 \text{ cm.}$

$$\text{et } \frac{h_2}{l} \leq \frac{5}{2} \Rightarrow h_2 = 25 \text{ cm.}$$

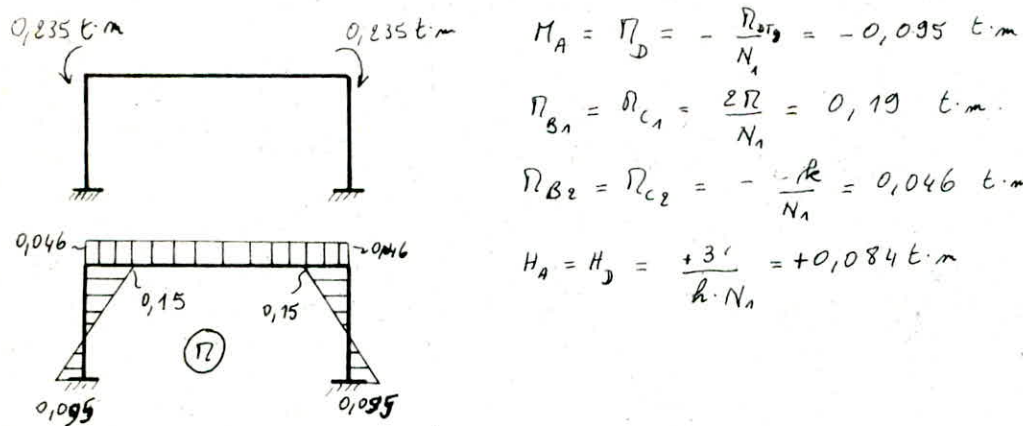
$$\text{et } h_2 \geq 2h_1 \Rightarrow h_1 = 10 \text{ cm.}$$

$$a = \frac{\ell_c}{2} + \frac{h_2}{2} = 17,5 \text{ cm.}$$

L'effort tranchant étant excentré, il ya au niveau de l'axe neutre du piedroit un moment

$$M_{DT} = T \cdot e = \left| \begin{array}{l} T_g \cdot e = 0,235 \text{ t.m} \quad (M_{DTg}) \\ + T_s \cdot e = 1,363 \text{ t.m.} \quad (M_{DTs}) \end{array} \right.$$

charges permanentes seules :



$$M_A = N_D = - \frac{N_{DTg}}{N_1} = - 0,095 \text{ t.m}$$

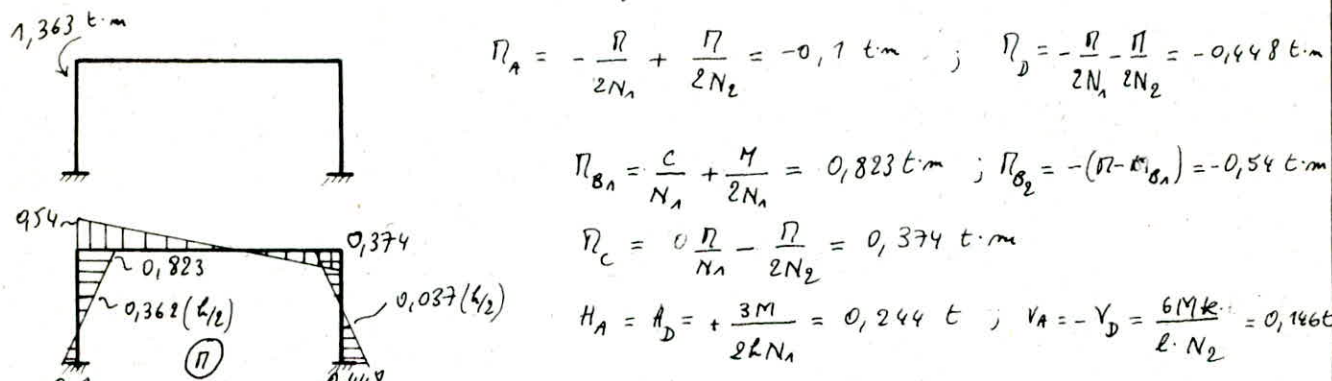
$$N_{B1} = N_{C1} = \frac{2R}{N_1} = 0,19 \text{ t.m.}$$

$$N_{B2} = N_{C2} = - \frac{Rk}{N_1} = 0,046 \text{ t.m}$$

$$H_A = H_D = + \frac{3M}{h \cdot N_1} = + 0,084 \text{ t.m}$$

Surcharges seules :

1^{er} cas : 1 dalle de transition chargée.



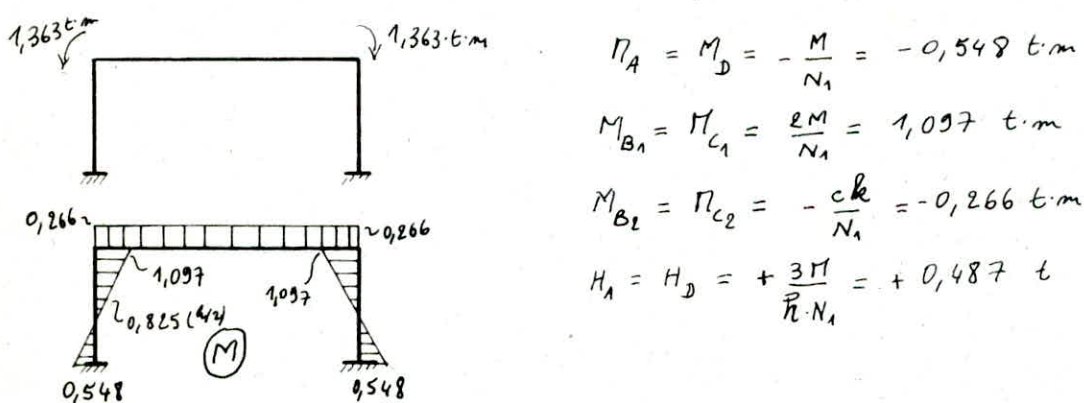
$$N_A = - \frac{R}{2N_1} + \frac{R}{2N_2} = - 0,1 \text{ t.m.} ; \quad N_D = - \frac{R}{2N_1} - \frac{R}{2N_2} = - 0,448 \text{ t.m}$$

$$N_{B1} = \frac{C}{N_1} + \frac{M}{2N_1} = 0,823 \text{ t.m.} ; \quad N_{B2} = -(R - N_{B1}) = - 0,54 \text{ t.m.}$$

$$N_C = 0 \frac{R}{N_1} - \frac{R}{2N_2} = 0,374 \text{ t.m.}$$

$$H_A = H_D = + \frac{3M}{2hN_1} = 0,244 \text{ t.} ; \quad V_A = - V_D = \frac{6MRk}{2hN_2} = 0,146 \text{ t.}$$

2nd cas : les 2 dalles de transition sont chargées.



$$N_A = M_D = - \frac{M}{N_1} = - 0,548 \text{ t.m.}$$

$$M_{B1} = M_{C1} = \frac{2M}{N_1} = 1,097 \text{ t.m.}$$

$$M_{B2} = N_{C2} = - \frac{Ck}{N_1} = - 0,266 \text{ t.m.}$$

$$H_A = H_D = + \frac{3M}{h \cdot N_1} = + 0,487 \text{ t.}$$

Remarque : Il est à remarquer que l'effet des charges permanentes, agissant

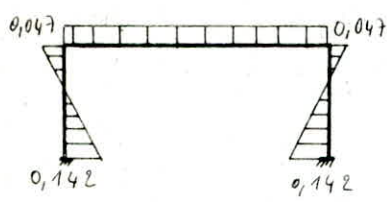
sur la dalle de transition, sur le portique s'ajoute à celui des charges permanentes totales.

Et de même pour les surcharges.

Effet de la variation de température et du retrait.

Un allongement de la travisse provoque un moment négatif aux noeuds et positif à la base

Pour un allongement unitaire αt , la contrainte engendrée est $E \alpha t = 100 t / m^2$; E : module d'Young

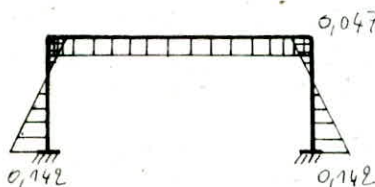


$$M_A = N_D = \frac{3E\alpha t \cdot I}{h} \cdot \frac{k+1}{k(k+2)} = 0,142 \text{ t} \cdot \text{m} / \text{m}$$

$$M_B = N_C = - \frac{3E\alpha t \cdot I}{h} \cdot \frac{1}{k+2} = -0,047 \text{ t} \cdot \text{m}$$

$$H_A = H_D = \frac{3E\alpha t \cdot I}{h^2} \cdot \frac{2k+1}{k(k+2)} = 0,056 \text{ t} / \text{m} ; V_A = V_D = 0$$

Pour un raccourcissement unitaire αt , la contrainte engendrée est $E \alpha t = -100 t / m^2$.



$$M_A = N_D = -0,142 \text{ t} \cdot \text{m} ; N_B = N_C = 0,047 \text{ t} \cdot \text{m}$$

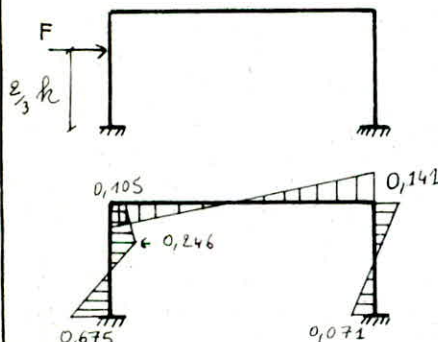
$$H_A = H_D = -0,056 \text{ t} \cdot \text{m} ; V_A = V_D = 0$$

Effet du séisme:

L'ouvrage étant enterré, l'action du séisme sur les éléments se traduit par l'accroissement de la poussée des terres. Pour tenir compte de cet effet on applique la méthode du RPA 81 qui consiste à majorer les pressions des terres de 20%, et de prévoir une force horizontale à $\frac{2}{3}$ de la base du mur, égale à 20% du poids de ce dernier.

$$\text{Poids propre du mur } P_M = 0,25 \cdot 2,5 \cdot 3,5 = 2,188 \text{ t}$$

$$\text{et } F = 0,2 P_M = 0,44 \text{ t}.$$



En utilisant la méthode du centre élastique :

$$N_A = -0,675 \text{ t} \cdot \text{m} ; N_D = 0,071 \text{ t} \cdot \text{m}$$

$$N(2/3 h) = 0,246 \text{ t} \cdot \text{m} ; N_B = 0,105 \text{ t} \cdot \text{m} ; N_C = -0,142 \text{ t} \cdot \text{m}$$

$$H_A = 0,378 \text{ t} ; H_D = 0,062 \text{ t} ; V_A = -V_D = 0,035 \text{ t}$$

Remarque :

On majore les charges roulantes par un coef de majoration dynamique S

$$S = 1 + \frac{0,4}{0,2L+1} + \frac{0,6}{1 + 0,4 \frac{G}{S}}$$

avec $L = 6,7$ $G = 4,19 \text{ t}$ (charge permanente)

$$S = 10,67 \text{ t} \quad (\text{surcharge})$$

$$\therefore S = 1,37$$

et le coefficient $b_t = 1$

Tableau des efforts non pondérés.

	<u>Charges permanentes G_0</u>	<u>Poussée des terres latérales</u>	<u>Sous poussée due à $1k/m^2$ sur travée</u>	<u>Sous pression due à $B_2/10t$</u>	<u>Sous charges B_C</u>	<u>Sous charges B_T</u>	<u>Sous charges A</u>
$M(\ell_2)$	⊕ +2,287				7,027	8,048	5,962
	⊖	0,263	0,092	0,178			
$M_{B(2)}$	⊕		0,307	0,329			
	⊖ -2,296	0,263	0,400	0,172	6,576	7,307	6,899
$M(\ell_2)$	⊕	1,307	0,332	0,579			
	⊖ -0,662				2,064	2,267	1,725
$M_{A(2)}$	⊕ +1,323		0,307	0,333	3,526	3,840	3,449
	⊖	2,470	1,403	1,348			
$V_{A(2)}$	⊕ +8,840		0,102	0,071	5,074	9,700	7,402
	⊖	/	0,102	0,072			
$H_{A(2)}$	⊕	4,350	0,844	0,795			
	⊖ -1,176				2,856	3,200	3,066

	<u>Charges permanentes sur dalle de transition</u>	<u>Sous charges Trottinage</u>	<u>Sous le freinage</u>	<u>Température + retrait</u>	<u>Seisme</u>	<u>Surcharge (θ_t) sur dalle de transition</u>
$M(\ell_2)$	⊕	0,420	/	0,047		
	⊖ -0,046			0,047	0,053	0,266
$M_{B(2)}$	⊕ +0,150		0,754	0,047	0,105	1,097
	⊖	0,486	0,754	0,047	0,141	0,540
$M(\ell_2)$	⊕ +0,028		0,258	0,048	0,124	0,825
	⊖	0,122	0,258	0,048		
$M_{A(2)}$	⊕	0,243	1,272	0,142	0,072	
	⊖ -0,095		1,272	0,142	0,675	0,548
$V_{A(2)}$	⊕	0,521	0,231	/	0,035	
	⊖ /		0,231		0,035	0,146
$H_{A(2)}$	⊕ +0,084		0,600	0,056	0,062	0,487
	⊖	0,216	0,600	0,056	0,378	

Combinaisons des charges.

Sous sollicitations du 1^e genre (SPI) : $G + 1,2 Q + T$

Sous sollicitations du 2^e genre (SP II) : $G + Q \pm E + T$.

Avec : G : charge permanente agissant sur la portique.

$G = G_0 + \text{poussée des terres} + \text{charges permanentes transmises par la dalle de transition}$

et : Q : surcharges d'exploitation. $Q = S \cdot s$; s : surcharges mobiles

s : coefficient de majoration

dynamique.

T : effet de la température et du retrait

E : effet du séisme.

Combinaisons pour la traverse : avec B_t la charge la plus défavorable.

Il est à noter qu'on n'a pas tenu compte de l'effet des poussées des terres, pour le moment à mi-travée, et cela pour avoir le cas le plus défavorable.

	G	$1,2Q$	T	$G + 1,2Q + T$	
<u>Sous SPI</u>	$M(l_{1/2})$	-2,887	1,3,231	0,047	15,560
	$N_{B(c)}$	-2,784	-12,658	-0,047	-15,489
	$V_{A(D)}$	2,840	15,525	/	18,365

	G	Q	T	E	$G + Q \pm E + T$	
<u>Sous SP II</u>	$M(l_{1/2})$	2,287	11,026	0,047	-0,053	13,413
	$N_{B(c)}$	-2,784	10,548	-0,047	-0,141	13,520
	$V_{A(D)}$	2,840	18,938	/	0,035	15,813

Pour les pieds droits :

	G	$1,2Q$	T	$G + 1,2Q + T$	
<u>Sous SPI</u>	$N_{B(c)}$	-2,784	-12,658	-0,047	-15,489
	$N(l_{1/2})$	-0,662	-3,787	-0,480	-4,869
	$M_A(D)$	1,323	6,313	0,142	7,778
	$V_A(D)$	2,840	15,900	/	18,740
	$H_A(D)$	-1,176	-5,261	-0,056	-6,493

	G	Q	T	E	$G + Q \pm E + T$	
<u>Sous SP II</u>	$M_{B(c)}$	-2,784	-10,548	-0,047	-0,141	-13,520
	$M(l_{1/2})$	-0,662	-3,706	-0,480	0,124	-4,372
	$M_A(D)$	1,323	5,261	0,142	-0,675	7,401
	$V_A(D)$	2,840	13,250	/	+0,035	16,125
	$H_A(D)$	-1,176	-4,384	-0,056	-0,378	-5,994

Les combinaisons de 1^e genre (SPI) sont donc les plus défavorables

Ferraillage de la traverse : section de (25 x 100) cm² sous flexion simple

Section à mi-travée $M(l/2) = 15,57 \text{ t.m}$; enrobage = 3 cm $\Rightarrow h = 22 \text{ cm}$

On choisit de prendre des barres de diamètre $\phi > 20 \text{ mm} \Rightarrow \bar{\sigma}_a = 2670 \text{ kg/cm}^2$.

On ferraille avec la méthode classique de Charon : $\gamma = \frac{15 \cdot M}{b \cdot h^2 \cdot \bar{\sigma}_a} = \frac{15 \cdot 15,57 \cdot 10^5}{100 \cdot 22^2 \cdot 2670}$

$$\gamma = 0,1807 \quad , \text{ en se référant aux tables données par la méthode, on tire} \quad \begin{cases} K = 16,6 \\ E = 0,8481 \end{cases}$$

suit donc $A = \frac{\pi}{\epsilon \cdot R \cdot \bar{\sigma}_a} = \frac{15,57 \cdot 10^5}{0,8481 \cdot 22 \cdot 2670} = 31,49 \text{ cm}^2$ on prends $\begin{cases} 7T25 \\ A = 34,36 \text{ cm}^2 \end{cases}$

Vérification de la section à la fissuration : $\bar{\sigma}_1' = \frac{K \cdot M}{\phi} \frac{\bar{\omega}_f}{1 + 10 \bar{\omega}_f} = 1848 \text{ kg/cm}^2$.

les fissures sont préjudiciables à l'élément $\Rightarrow K = 10^6$ $\bar{\sigma}_2' = 2,4 \sqrt{\frac{K \cdot M \cdot \bar{\sigma}_b}{\phi}} = 1697 \text{ kg/cm}^2$.

$$\Rightarrow \bar{\sigma}_a = \bar{\sigma}_1' = 1842 \text{ kg/cm}^2 \Rightarrow \gamma = 0,2619 \Rightarrow \begin{cases} K = 12,7 \\ E = 0,8195 \end{cases}$$

$$\Rightarrow A = 46,88 \text{ cm}^2 \quad , \text{ on prends} \quad \begin{cases} 10T25 \\ A = 49,09 \text{ cm}^2 \end{cases}$$

Vérification des contraintes : $\bar{\sigma}_a = \frac{M}{A \cdot z_g} = 1749,8 \text{ kg/cm}^2 < \bar{\sigma}_a = 2670 \text{ kg/cm}^2$

$$\bar{\sigma}_b' = \frac{\bar{\sigma}_a}{K} = 130,6 \text{ kg/cm}^2 < \bar{\sigma}_b' = 183,6 \text{ kg/cm}^2$$

Espacement des barres : 10 cm.

D'après l'article 39,7 du CCBAD, les barres seront arrêtées au delà de la ligne d'appui.

Comme armatures de répartition on prends $A_t = \frac{A}{3} = 16,36 \text{ cm}^2$ on choisit donc 9T16 $A_t = 18,09 \text{ cm}^2$

Section à l'appui : $M_{max} = M_B = 15,489 \text{ t.m}$

De même ici on prends des barres de $\phi > 20 \Rightarrow \bar{\sigma}_a = 2670 \text{ kg/cm}^2$

$$\Rightarrow \gamma = 0,17 \Rightarrow K = 17,3 \quad \text{suit} \quad A = 29,8 \text{ cm}^2 \quad \text{on prends} \quad \begin{cases} 7T25 \\ A = 34,36 \text{ cm}^2 \end{cases}$$

Avec cette section la fissuration n'est donc pas vérifiée $\bar{\sigma}_1 = \bar{\sigma}_1' = 1842 \text{ kg/cm}^2$.

$$\Rightarrow \gamma = 0,249 \Rightarrow K = 13,2 \quad \text{suit} \quad A = 44,39 \text{ cm}^2 \quad \text{on prends donc} \quad \begin{cases} 10T25 \\ A = 49,09 \text{ cm}^2 \end{cases}$$

Vérification des contraintes : $\bar{\sigma}_a = 1740,7 \text{ kg/cm}^2 < \bar{\sigma}_a = 2670 \text{ kg/cm}^2$.

$$\bar{\sigma}_b' = 130,0 \text{ kg/cm}^2 < \bar{\sigma}_b' = 183,6 \text{ kg/cm}^2$$

L'espacement des barres est de 10 cm, et on utilise les mêmes armatures de répartition que précédemment $\begin{cases} 9T16 \\ A_t = 18,09 \text{ cm}^2 \end{cases}$

Longueur des chapeaux : $l_c = \max \frac{l_a}{5} = \frac{6,95}{5} = 1,39$

$$l_d = \frac{\phi \bar{\sigma}_a}{4 \bar{\epsilon}_d} =$$

$$\Rightarrow l_c = 140 \text{ cm}$$

Vérification à l'effort tranchant

$$T = T_g + T_s ; \quad T_g : \text{effort tranchant dû aux charges permanentes}$$

T_s : effort tranchant dû aux charges roulantes, déterminé par les lignes d'influences

$$T : \text{à la section (I)} ; \quad T_g = 2,414 \text{ t} \quad \text{et} \quad T_s = 12,72 \text{ t}$$

$$T = 2,414 + 12,72 = 15,13 \text{ t} ; \text{ on vérifie que: } \bar{\sigma}_b = \frac{T}{b \cdot 3} < \bar{\epsilon}_b = 1,15 \bar{\sigma}_b.$$

$$\Rightarrow \bar{\sigma}_b = 7,86 \text{ Kg/cm}^2 < \bar{\sigma}_b = 8,74 \text{ Kg/cm}^2.$$

La dalle ne nécessite donc pas de cadres.

Ferrailage du piedroit: section de $(25 \times 100) \text{ cm}^2$
enrobage : 3 cm

Le piedroit est soumis à un moment fléchissant et à un effort normal, de ce fait il sera calculé en flexion composée.

A la section supérieur du piedroit:

$$M = 15,489 \text{ t.m.}$$

$$N = V_A + \text{poids du mur} + T_{\text{dalle de transition}}$$

$$N = 31,464 \text{ t}$$

$$\text{on a } \bar{\sigma}_c = \frac{M}{N} = \frac{15,489}{31,464} = 0,492 \text{ m} > \frac{h_t}{6} = 0,042 \text{ m} \quad \text{la section est donc partiellement comprimée.}$$

Soit le moment de flexion par rapport aux aciers tendus M :

$$M = M_1 + N \cdot e$$

$$e = \frac{h_t}{2} - c = 0,095 \text{ m}$$

$$M_1 = 18,478 \text{ t.m}$$

$$\Rightarrow \gamma = \frac{15 \cdot M_1}{b \cdot h^2 \cdot \bar{\sigma}_a} = 0,2024 \Rightarrow \begin{cases} E = 0,835 \Rightarrow A_2 = 35,55 \text{ cm}^2 \\ K = 15,3 \end{cases}$$

La section d'acier nécessaire est : $A = A_2 - \frac{N}{\bar{\sigma}_a} = 25,03 \text{ cm}^2$, on prends $A = 28,27 \text{ cm}^2$

Vérification à la fissuration

$$\sigma_1 = 2089 \text{ Kg/cm}^2$$

$$\Rightarrow \gamma = 0,8712 \Rightarrow E = 0,8175$$

$$K = 12,4$$

$$\text{et donc } A_1 = 49,18 \text{ cm}^2 \Rightarrow A = 34,12 \text{ cm}^2$$

$$\text{on prends } \begin{cases} 11T20 \\ A = 34,54 \text{ cm}^2 \end{cases}$$

; et comme aciers de répartition

$$\begin{cases} 7T16 \\ A_t = 74,07 \text{ cm}^2 \end{cases}$$

Vérification des contraintes : $\sigma_a = 2007,9 \text{ Kg/cm}^2 < \bar{\sigma}_a = 2800 \text{ Kg/cm}^2$

$$\sigma'_b = 118,8 \text{ Kg/cm}^2 < \bar{\sigma}'_b = 165 \text{ Kg/cm}^2.$$

L'écartement des barres est de 9 cm.

A la section inférieur du piedras

$$M_{\max} = 7,778 \text{ t.m}$$

Toujours la même section que précédemment, et sous

$$N = 31,464 \text{ t.}$$

flexion composée. $e_o = \frac{M}{N} = \frac{7,778}{31,464} = 0,247 \text{ m} > \frac{h_e}{6} \Rightarrow$ section partiellement comprimée.

D'où : $M = M + N \cdot e = 7,778 + 31,464 \cdot 0,095 = 10,767 \text{ t.m}$

$$\Rightarrow \gamma = 0,119 \Rightarrow \epsilon = 0,8649 \Rightarrow A_t = 20,8 \text{ cm}^2 \Rightarrow A_s = A_t - \frac{N}{\bar{\sigma}_a}$$

$A = 8,96 \text{ cm}^2$, on prends ST10 soit $A = 10,05 \text{ cm}^2$.

Vérification à la fissuration : $\sigma_1 = 1167,9 \text{ Kg/cm}^2$
 $\sigma_2 = 2046,4 \text{ Kg/cm}^2 \Rightarrow \bar{\sigma}_a = 2046,4 \text{ Kg/cm}^2$

$$\Rightarrow \gamma = 0,1631 \Rightarrow \epsilon = 0,8476 \Rightarrow A_t = 28,21 \text{ cm}^2 \Rightarrow A_s = 18,84 \text{ cm}^2$$

on prends : $A = 14,07 \text{ cm}^2$ soit ST16 ; et $A_t = 5,65 \text{ cm}^2$ soit ST12

L'espacement des barres est de 14 cm.

Vérification des contraintes : $\sigma_a = 1351,9 \text{ Kg/cm}^2 < \bar{\sigma}_a = 2800 \text{ Kg/cm}^2$

$$\sigma'_b = 45,8 \text{ Kg/cm}^2 < \bar{\sigma}'_b = 165 \text{ Kg/cm}^2.$$

Vérification à l'effort tranchant:

$$T = H_A = 6,493 \text{ t} \quad \text{et on vérifie} \quad \tau_b = \frac{T}{b \cdot j} < \bar{\tau}_b = 1,15 \bar{\sigma}_b$$

$$\text{et} \quad \tau_b = 3,37 \text{ Kg/cm}^2 < 1,15 \cdot 7,1 = \bar{\tau}_b = 8,165 \text{ Kg/cm}^2.$$

La section ne nécessite pas de cadres.

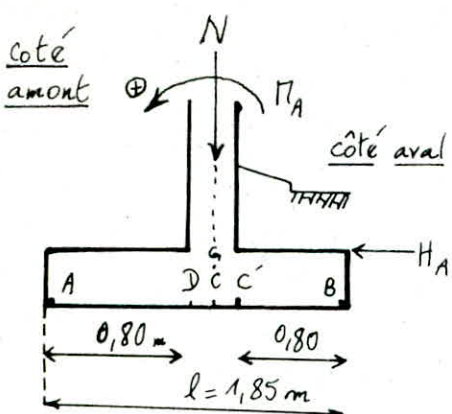
Ancrage des barres : dans la semelle.

$$l_d = \frac{\phi \bar{\sigma}_a}{4 \bar{\tau}_b}$$

$$l_d = \frac{1,6 \cdot 2800}{4 \cdot 19,97} = 56,1 \text{ cm}$$

on prends $l_d = 60 \text{ cm}$

Etude des semelles du portique



Efforts sollicitant la semelle :

- Son poids propre P_s
- Effort normal venant du piedroit N
- Moment d'encastrement M_A
- Réactions d'appuis Horizontale H_A
- Poussée horizontale des terres amont, due au remblai sur 80 cm, P_{Ham}
- Poids des terres sur le patin amont de la semelle (remblai) P_{tan}
- Surcharge concentrée amont, à 0,3 m de l'écran, due à la roue B_2 , composante Horizontale : P_{HB2} ; composante verticale P_{VB2} .
- Poids des terres sur le patin aval P_{tar}
- Surcharge répartie aval q_{av}

On étudie la rotation de la semelle, ancrée dans le grès, autour de C.

Bilan des efforts : Les charges étant majorée de 20%

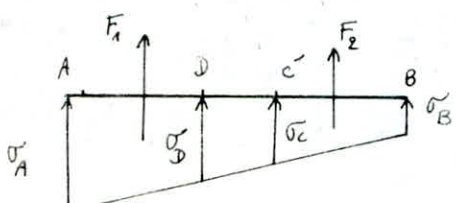
	M_A	N	H_A	P_{HB2} (+20%)	P_{VB2} (+20%)	P_{Ham}	P_{tan}	P_{tar}	q_{av} (+20%)	P_s
Forces (t)	1	31,466	6,493	1,953	1,120	1,649	5,040	0,720	0,480	1,85
x_C	1	0,000	0,400	2,128	0,125	1,300	0,525	0,525	0,725	0,000
Moment/tc	7,778	0,000	2,597	-4,155	0,140	-2,144	2,646	-0,378	-0,348	0,000

En définitive la semelle est soumise aux efforts $M = 6,136 \text{ t} \cdot \text{m}$

$$N = 40,674 \text{ t}$$

donc $\alpha_0 = \frac{M}{N} = 0,15 \text{ m} < \frac{l}{6} = 0,31 \text{ m}$ La section est entièrement comprimée.

La réaction du sol présente donc un diagramme trapézoïdale avec



$$\sigma_A = 3,274 \text{ kg/cm}^2$$

$$\sigma_B = 1,123 \text{ kg/cm}^2$$

$$\sigma_A = \frac{N_t}{100 \cdot l} + \frac{6 \cdot M}{100 \cdot l^2}$$

$$\sigma_B = \frac{N_t}{100 \cdot l} - \frac{6 \cdot M}{100 \cdot l^2}$$

Vérification au piégeonnement du sol : $\sigma(\ell/4) = \frac{3\bar{\sigma}_A + \bar{\sigma}_B}{4} = 2,736 \text{ kg/cm}^2 = 2,68 \text{ bar}$

$$\sigma(\ell/4) < \bar{\sigma}_s = 3,5 \text{ bar.}$$

$$h_t \geq \frac{\ell-a}{4} = \frac{185-25}{4} = 40 \text{ cm} \quad h_t = 40 \text{ cm} \quad (\text{a étant la largeur du mur})$$

enrobage : 3 cm $\Rightarrow h = 37 \text{ cm.}$

On ferraille la semelle par la méthode des consoles.

console AD : $M_{F_{1/D}} = 9,48 \text{ t.m}$ et $F_1 = 22,468 \text{ t.}$

console CB : $M_{F_{2/C}} = 3,613 \text{ t.m}$ et $F_2 = 12,704 \text{ t.}$

|| donc $M_{\max} = 9,48 \text{ t.m}$ et $T_{\max} = 22,468 \text{ t.}$

$$\Rightarrow \gamma = \frac{15 M_{\max}}{b \cdot h^2 \cdot \bar{\sigma}_a} = 0,037 \quad \Rightarrow \left| \begin{array}{l} \varepsilon = 0,9178 \\ K = 45,8 \end{array} \right. \Rightarrow A = 9,97 \text{ cm}^2$$

on prends 5T16 soit $A = 10,05 \text{ cm}^2$.

Vérification à la fissuration $\left| \begin{array}{l} \sigma_1 = 1081,7 \text{ kg/cm}^2 \\ \sigma_2 = 2046,4 \text{ kg/cm}^2 \end{array} \right. \Rightarrow \bar{\sigma}_a = 2046,4 \text{ kg/cm}^2$

$$\Rightarrow \gamma = 0,0507 \quad \Rightarrow \left| \begin{array}{l} \varepsilon = 0,9053 \\ K = 37,8 \end{array} \right. \Rightarrow A = 13,8 \text{ cm}^2$$

soit $\left| \begin{array}{l} 7T16 \\ A = 14,07 \text{ cm}^2 \end{array} \right.$

et comme auers de répartition on prends $\left| \begin{array}{l} 5T12 \\ A_t = 5,65 \text{ cm}^2 \end{array} \right.$

l'écartement des auers est de 11 cm

pour les auers principaux, et de 16 cm pour les auers de répartition.

Vérification des contraintes : $\left| \begin{array}{l} \sigma_a = 2050,4 \text{ kg/cm}^2 < \bar{\sigma}_a = 2800 \text{ kg/cm}^2 \\ \sigma_b' = 69,03 \text{ kg/cm}^2 < \bar{\sigma}_b' = 165 \text{ kg/cm}^2 \end{array} \right.$

Vérification à l'effort tranchant $T = 22,468 \text{ t.}$

$$\tau_b = \frac{T}{b \cdot \frac{3}{8}} = \frac{T}{b \cdot \frac{7}{8} \cdot h} = 6,939 \text{ kg/cm}^2 < \bar{\tau}_b = 1,15 \bar{\sigma}_b = 8,165 \text{ kg/cm}^2.$$

La semelle ne nécessite donc pas de cadres.

Ferraillage de la dalle de transition.

avec les hypothèses précédemment définies. $M = 4,278 \text{ t} \cdot \text{m}$.

et donc : $A = \frac{\pi}{8 \cdot \Gamma_a} = 10,284 \text{ cm}^2$.

soit 7T14 $A = 10,77 \text{ cm}^2$

et comme aciers de répartitions 5T10 $A_e = 3,92 \text{ cm}^2$

Vérification à l'effort tranchant

$$\tau_b = \frac{T}{b \cdot z} = 7,16 \text{ kg/cm}^2 < \bar{\tau}_b = 8,16 \text{ kg/cm}^2$$

Ferraillage du corbeau : $M = 0,64 \text{ t} \cdot \text{m}$

Section minimale d'acières

6T12 $A = 6,78 \text{ cm}^2$

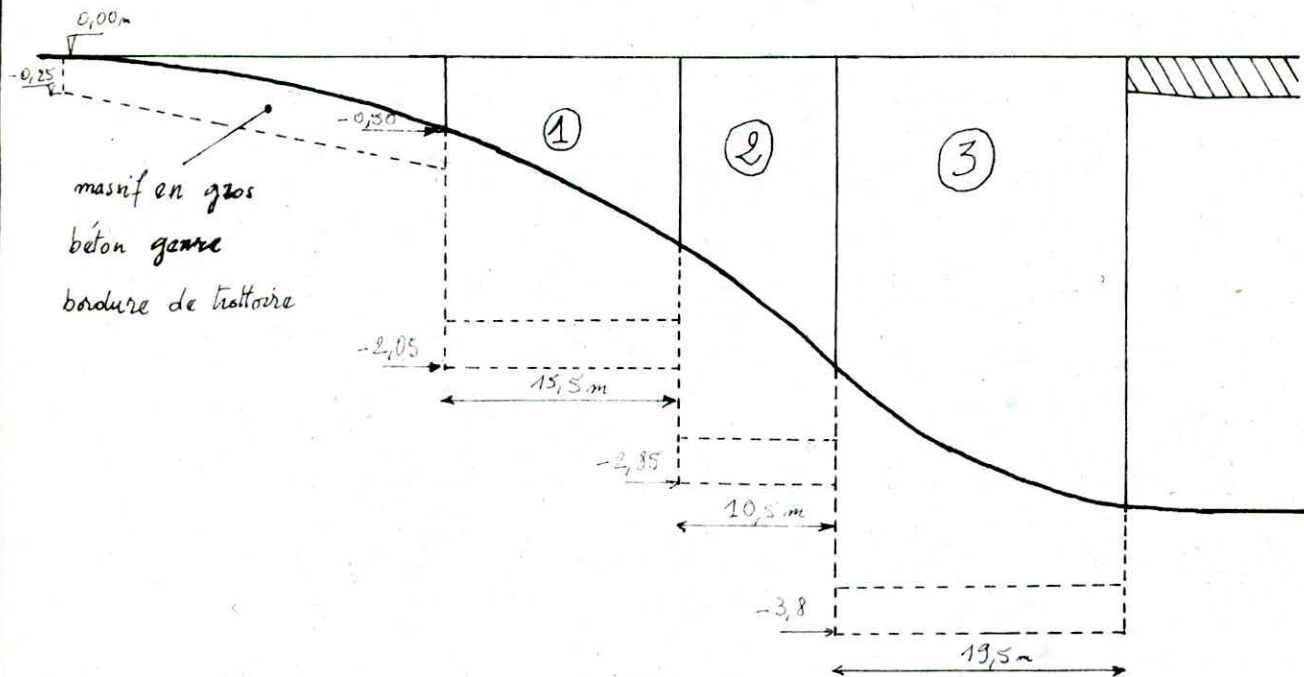
5T10 $A_e = 3,92 \text{ cm}^2$

Etude des trémis d'accès

Les murs de soutènement, installés à partir d'une dénivellation de 0,5m, occuperont une longueur de 45,5m ; et seront divisés en 3 panneaux rectangulaires.

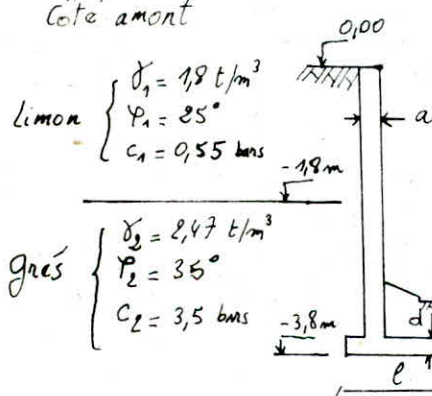
Schéma de découpage des panneaux

éch : $\frac{1}{150}$ $\frac{1}{1500}$



Calcul du panneau ③

Côté amont



Prédimensionnement :

Couramment on prends

$$\frac{H}{12} \leq a = d \leq \frac{H}{10} \Rightarrow a = d = 25 \text{ cm}$$

et $\frac{H}{4} \leq l \leq \frac{2}{3} H$ H étant pris jusqu'à la base de la semelle.

Le mur sera dimensionné sous les poussées actives.

Evaluation de la poussée des terres : on utilise la méthode de Rankine

$$1^{\text{e}} \text{ couche} : P_{a_1} = \frac{1}{2} K_{a_1} \gamma_1 H_1^2 - 2 c_1 \sqrt{K_{a_1}} \cdot H_1 \quad K_{a_1} = \tan\left(\frac{\pi}{4} - \frac{\varphi_1}{2}\right) = 0,406.$$

$$P_{a_1} = 0,036 \text{ t/ml} \quad (\text{on travail par bande de 1 m.})$$

$$2^{\text{e}} \text{ couche} : P_{a_2} = \frac{1}{2} K_{a_2} \gamma_2 H_2^2 - 2 c_2 \sqrt{K_{a_2}} \cdot H_2 + K_{a_1} \gamma_1 H_1 \quad ; \quad K_{a_2} = \tan\left(\frac{\pi}{4} - \frac{\varphi_2}{2}\right) = 0,271.$$

$$P_{a_2} = -4,6 \text{ t/ml}.$$

La 1^e couche étant considérée comme surcharge ($\gamma \cdot H$) de la deuxième

Hypothèses pour le calcul.

L'étroitesse de la fouille ne permet pas un remblaiement suffisamment important et compacté du mur, pour en tenir compte dans les calculs. Ainsi les charges qui agissent sur le mur sont uniquement : - la poussée des terres.

- Surcharges en amont du mur, due à la route qui passe de ce côté, parallèlement à l'ouvrage.

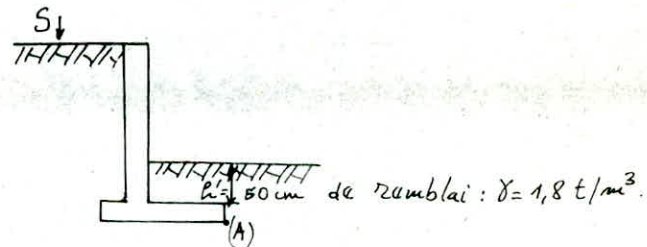
Mais pour le calcul on tient compte uniquement des surcharges, et cela par deux raisons : - On a vérifié que la paroi de la fouille, verticale, tient d'elle-même et ne nécessite pas de blindage.

- Le mur développe une butée sécurisante côté aval.

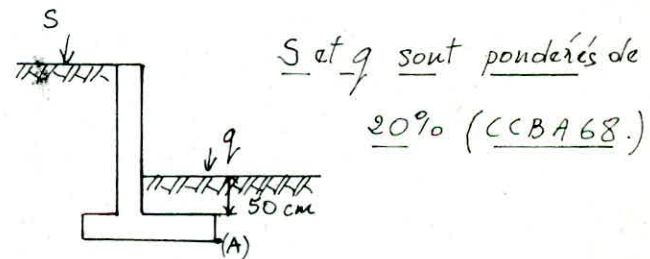
Poussées engendrées par les surcharges

Vue les conditions locales 3 cas de chargement peuvent se présenter.

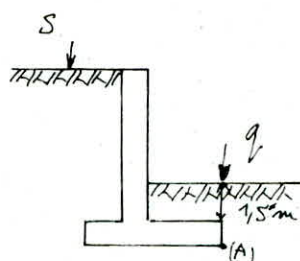
- Surcharge côté amont seulement, et 50 cm de remblai de chaussée sur le côté aval de la semelle.



- Surcharge côté amont et aval, et $h' = 50 \text{ cm}$ côté aval



- Surcharge côté amont et aval avec $h' = 1,5 \text{ m}$, valeur maximale de remblai sur le patin aval de la semelle.



On a pris $q = 1 \text{ t/m}^2$, surcharge forfaitaire due au fait que la voie du P.S.G.R est interdite aux poids lourds. Pour S on a pris une roue B_2 située

à 0,25 m du bord du trottoir, car elle provoque un effet plus défavorable que la charge de 1 t/m^2 , préconisée par le C.P.C (art concernant les murs de soutènements, et les calculs de ponts.), et que la roue B_t de 8t.

La poussée due à B_t a été calculée par la méthode de Terzaghi, précédemment détaillée dans le calcul du portique. En plus du trottoir Q est à $x = 1 \text{ m}$ de l'écran.

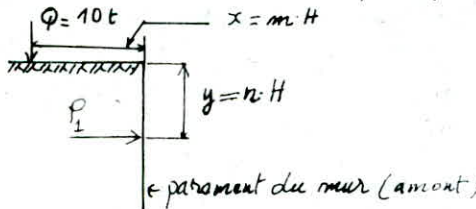


diagramme de pression (théorique)

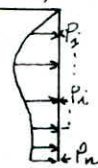
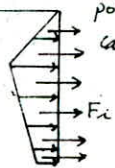


Diagramme approché pour le calcul



on a $x = m \cdot H = 1 \Rightarrow m = \frac{1}{H} = 0,2863 < 0,4$ on applique donc, pour le calcul des pressions unitaires, la formule suivante : $P_1 = 0,28 \frac{Q}{H^2} \frac{n^2}{(0,16 + n^2)^3}$; et $P_{\text{moy}} = P_1 \frac{(1 + \cos 45)}{2}$
après simplification : $P_m = 0,169 \frac{n^2}{(0,16 + n^2)^3}$; $n = 0,125; \dots; 1$;

n	0,125	0,25	0,375	0,5	0,625	0,75	0,875	1
$P_m (\text{t/m}^2)$	0,487	0,908	0,875	0,613	0,395	0,252	0,163	0,108

Forces unitaires résultantes (F_i)	Bras de levier / 1	moment / A.
$\underline{0,487 \cdot 0,125} \cdot 3,8 = 0,115$	3,642	0,419
$\underline{0,908 + 0,487} \cdot 0,125 \cdot 3,8 = 0,330$	3,089	1,019
$\underline{0,908 + 0,875} \cdot 0,125 \cdot 3,8 = 0,423$	2,613	1,105
$\underline{0,875 + 0,613} \cdot 0,125 \cdot 3,8 = 0,353$	2,138	0,755
$\underline{0,613 + 0,395} \cdot 0,125 \cdot 3,8 = 0,239$	1,663	0,397
$\underline{0,395 + 0,252} \cdot 0,125 \cdot 3,8 = 0,154$	1,188	0,182
$\underline{0,252 + 0,163} \cdot 0,125 \cdot 3,8 = 0,099$	0,713	0,071
$\underline{0,163 + 0,108} \cdot 0,125 \cdot 3,8 = 0,064$	0,238	0,015

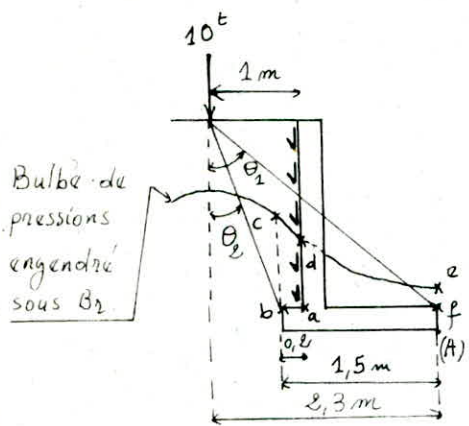
Force de poussée total : 1,778 t
pondérée

moment total : 3,964 t·m

Après plusieurs itérations on a pris $\ell = 1,5 \text{ m}$ pour la largeur de semelle.

Evaluation de la pression verticale due à la charge concentrée de 10t :

Pour connaître cet effet stabilisateur de la roue B_2 sur le mur, on a fait appel à la méthode de Boussinesq.



L'influence de la charge $Q(10t)$ se fait suivant une surface circulaire de rayon $r = z \operatorname{tg} \theta$; ce qui donne le bulbe de pression schématisé

On doit d'abords calculer le volume abcd, et les pressions dues à celui-ci. Puis on suppose que les pressions du volume adcef sont transmises au niveau de ad, comme des charges réparties le long de ad.

Les pressions cherchées (en fait : des poussées.) s'obtiennent par la formule

$$P' = 3Q \cdot \int_0^\theta \cos^2 \theta \sin \theta d\theta ; \text{ en intégrant : } P' = Q(1 - \cos^3 \theta)$$

$$\text{Pour } \theta_1 = \arctg \frac{3,3}{3,55} = 38,9^\circ$$

$$P'_1 = 4,2 t \quad (\text{par mètre de largeur})$$

$$\text{Pour } \theta_2 = \arctg \frac{0,8}{3,55} = 12,7^\circ$$

$$P'_2 = 0,8 t$$

$$\text{D'où la pression résultante sur le mur : } P' = \frac{P'_1 - P'_2}{2} = 1,7 t$$

Bilan des efforts

Poids du mur	Poids de la semelle	Poids des terres sur patin avant	Poids des terres sur patin arrière (pour $h = 50 \text{ cm}$)	Surcharges (q) sur patin arrière ($0,15 \text{ m}$)	Poussée due à B_2 (Horizontale)
Forces (+)	2,919	0,938	1,278	0,945	0,780
bras de levier x/A	1,175	0,750	1,4	0,525	0,325
moments /A en valeur absolue	3,43	0,704	1,789	0,496	0,254

Poussée verticale due à B_2 .

Force	1,7
x/A	1,3
$ m /A$	2,21

Remarque : - le dispositif de drainage exerce un effort non négligeable sur le pâti amont de la semelle ; aussi nous en avons tenu compte en considérant qu'un remblai de densité $1,8 \text{ t/m}^3$ occupait cette partie ; ainsi on aura un calcul sécuritaire (l'effort pris dans les calculs sera plus faible que l'effort réel exercé)

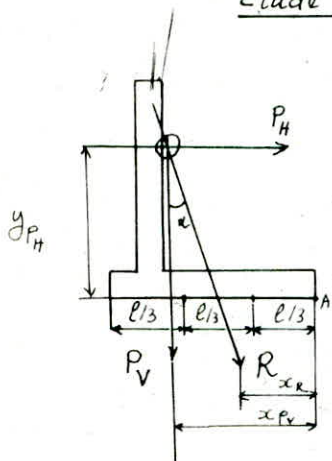
- Pour le 3^e cas de chargement le poids des terres sur le pâti aval augmente

$$\text{Poids des terres } (h' = 1,5 \text{ m}) = 2,835 \text{ t}$$

$$\text{Bras de levier } /A \quad x_{/A} = 0,525 \text{ m.}$$

$$\text{moment } /A \quad |m_{/A}| = 1,488 \text{ kNm}$$

Etude de la stabilité du mur



P_H : étant la poussée horizontale totale

P_V : est la poussée verticale totale.

R : résultante de P_H et P_V .

Stabilité au renversement (par rapport au point A.)

Selon les DTU on vérifie que $f_s = \frac{R_s}{R_n} \geq 1,5$: coefficient de sécurité au renversement

avec : M_S : somme des moments des forces qui tendent à stabiliser le mur

M_n : somme des moments des forces qui tendent à renverser le mur.

Stabilité au glissement

On vérifie que $\operatorname{tg} \alpha = \frac{P_H}{P_V} < f = \operatorname{tg} \varphi$: coefficient de frottement béton terre qui est fonction de l'angle de frottement interne du sol de fondation. Dans notre cas la semelle repose sur du grès ($\varphi = 35^\circ$) d'où $f = \operatorname{tg} \varphi = 0,7$.

$$\operatorname{tg} \alpha < 0,7.$$

Condition du tiers centrale

Pour que R passe par le tiers centrale il faut que la condition suivante soit satisfaite :

$$\ell/3 < x_R < \frac{2\ell}{3} \quad \text{et} \quad 0,5 \text{ m} < x_R < 1 \text{ m.}$$

avec $x_R = x_{P_v} - y_{P_h} \operatorname{tg} \alpha$

Condition de portance du sol : $\bar{\sigma}_s < \bar{\sigma}_s$

Le rapport du sol donne une portance estimée de 3,5 bars ($\bar{\sigma}_s$), mais pour plus de sécurité nous avons recalculé cette contrainte admissible $\bar{\sigma}_s$ par la méthode de Terzaghi.

Notre semelle est soumise à une charge excentrée et inclinée ; d'où la formule donnant la résistance ultime du sol : $q_{ul} = \frac{l'}{2} (\frac{1}{2} \gamma \cdot l' \cdot N_g \cdot i_g) + l' (\gamma \cdot D \cdot N_q \cdot i_q + c \cdot N_c \cdot i_c)$

l' étant la largeur fictive de la semelle ; $l' = l - 2e$.

N_g, N_q, N_c : facteurs de portance du sol fonction de φ , données par les tables de Caquot-Kérisel.

i_g, i_q, i_c : coef correcteurs des facteurs précédents tenant compte de l'inclinaison et de l'excentrement de R.

γ : poids spécifique du sol de fondation (grés $\gamma = 2,47 \text{ t/m}^3$)

c : cohésion du sol ($c = 3,5 \text{ bars}$)

D : hauteur d'ancre de la semelle ($D = 0,5 \text{ m}$)

$$\begin{array}{l} \text{Pour } \varphi = 35^\circ \text{ on a} \\ \left| \begin{array}{l} N_g = 4,8 \\ N_q = 33,3 \\ N_c = 46,1 \end{array} \right. \end{array}$$

Suivant le cas de chargement l'inclinaison α de R varie entre $9,6$ et $12,9^\circ$

En prenant le cas le plus défavorable à la stabilité $\alpha = 12,9$ on aura :

$$i_g = 0,432 \quad i_q = 0,622 \quad \text{et} \quad i_c = 0,68$$

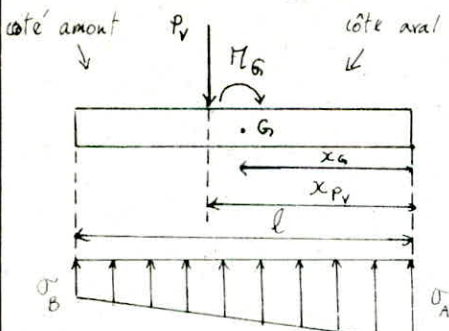
Pour cette inclinaison l'excentrement de R est (par rapport au centre de gravité de la semelle) $e = 0,15 \text{ m}$ d'où $l' = l - 2 \cdot e = 1,5 - 2 \cdot 0,15 = 1,2 \text{ m}$.

$$\text{on trouve } q_{ul} = 1384 \text{ t} \quad \therefore \bar{\sigma}_s = \frac{q_{ul}}{F_s \cdot l'} = 384 \text{ t/m}^2$$

F_s : coefficient de sécurité pris égal à 3 ; $\bar{\sigma}_s = 38,4 \text{ bars}$.

Mais ce calcul suppose que le sol est homogène, alors qu'en réalité il présente certaines altérations. De ce fait on prends $\bar{\sigma}_s = 3,5 \text{ bars}$.

Contraintes transmises par la semelle au sol de fondation



M_G : moment résultant qui tend à faire basculer la semelle autour de son C.D.G. (G.)

$$M_G = \Pi_n - P_v (x_{P_v} - x_G)$$

$$\sigma_A = \frac{P_v}{100 \cdot l} + \frac{6 \cdot M_G}{100 \cdot l^2}$$

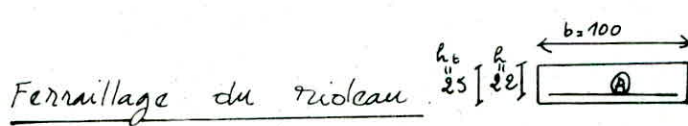
$$\text{et } \sigma_B = \frac{P_v}{100 \cdot l} - \frac{6 \cdot \Pi_n}{100 \cdot l^2}$$

Tableau récapitulatif des calculs obtenus pour les différentes vérification qui précédent.

	Π_s (t.m)	Π_2 (t.m)	f_s	P_v (t)	P_H (t)	$\operatorname{tg}\alpha$	x_{P_v} (m)	y_{P_H} (m)	x_R (m)
1 ^e cas de chargement	8,883	3,964	2,240	8,560	1,778	0,210	1,038	2,229	0,570
2 ^e cas de chargement	8,629	3,964	2,170	7,780	1,778	0,230	1,109	2,229	0,600
3 ^e cas de chargement	9,485	3,964	2,370	10,450	1,778	0,17	0,902	2,229	0,530

	M_G (t.m)	σ_A (kg/cm ²)	σ_B (kg/cm ²)
1 ^e cas	1,499	0,970	0,171
2 ^e cas	1,171	0,831	0,206
3 ^e cas	2,188	1,280	0,113

Ces différentes valeurs obtenues montrent que la stabilité du mur est bien vérifiée.



Le rideau est considéré comme une console encastrée à sa base, il subit les effets max. $\Pi_{max} = 3,964$ t.m et $T_{max} = 1,778$ t.

En appliquant la méthode de Charon : $\mu = \frac{15 \Pi}{b \cdot h^2 \cdot \sigma_a} = 0,0578$

et des tableaux on tire : $k = 0,35$; $\varepsilon = 0,9$

d'où : $A = \frac{\Pi}{\varepsilon \cdot k \cdot \sigma_a} = 8,99 \text{ cm}^2$ on prends 8T12 $\Rightarrow A = 9,05 \text{ cm}^2$.

Avec cette section on vérifie la fissuration :

$$\sigma_1 = 1190 \text{ Kg/cm}^2$$

$$\sigma_2 = 2152 \text{ Kg/cm}^2$$

$$\text{or } \bar{\sigma}_a = \min \left\{ \frac{2/3 \bar{\sigma}_c}{\max \{ \sigma_1, \sigma_2 \}} = 2800 \right.$$

donc on a $\bar{\sigma}_a = 2152 \text{ Kg/cm}^2 \Rightarrow \mu = 0,075 ; K = 29,6 \text{ et } E = 0,8973$

d'où $A = \frac{\pi}{E \cdot L \cdot \bar{\sigma}_a} = 11,81 \text{ cm}^2$ on prends 11T12 $\Rightarrow A = 12,43 \text{ cm}^2$. section qui vérifie la fissuration

Vérification des contraintes : $\sigma_a = \frac{\bar{\sigma}_c}{A \cdot E \cdot L} = 1632,6 \text{ Kg/cm}^2 < \bar{\sigma}_a = 2800 \text{ Kg/cm}^2$.

$$\sigma_b' = \frac{\bar{\sigma}_a}{K} = 95,15 \text{ Kg/cm}^2 < \bar{\sigma}_b' = 165 \text{ Kg/cm}^2$$

Vérification à l'effort tranchant : $\gamma_b = \frac{T_{\max}}{b \cdot z} = 1,006 \text{ Kg/cm}^2 < \bar{\gamma}_b = 1,15 \bar{\sigma}_b = 8,165 \text{ Kg/cm}^2$

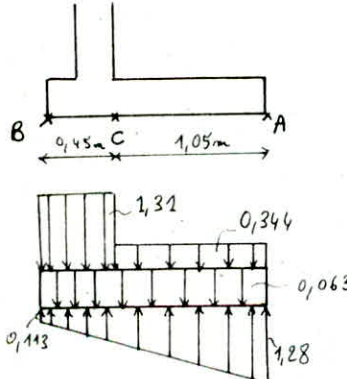
Les barres seront espacées de 8,5 cm. On prends comme armatures de répartition $A_t = \frac{1}{4}$

soit ST10 $\Rightarrow A_t = 3,92 \text{ cm}^2$.

Ferraillage de la semelle. même section que le mur.

La semelle est soumise à : - la réaction trapézoïdale du sol. $\sigma_A = 1,28 \text{ Kg/cm}^2$

$$\sigma_B = 0,113 \text{ Kg/cm}^2$$



- Sur BC : poids du rideau + terres sur pâtié amont
+ poussée verticale due à Br

$$\frac{2,919 + 1,278 + 2,7}{0,45 \cdot 1} = 13,2 \text{ t/m}^2 = 1,31 \text{ Kg/cm}^2$$

- Sur CA : poids des terres aval + surcharges aval (q)

$$\frac{2,835 + 0,78}{1,05} = 3,44 \text{ t/m}^2 = 0,344 \text{ Kg/cm}^2$$

- Et enfin à son poids propre : $0,063 \text{ Kg/cm}^2$.

En étudiant la rotation autour de C de la semelle on a.

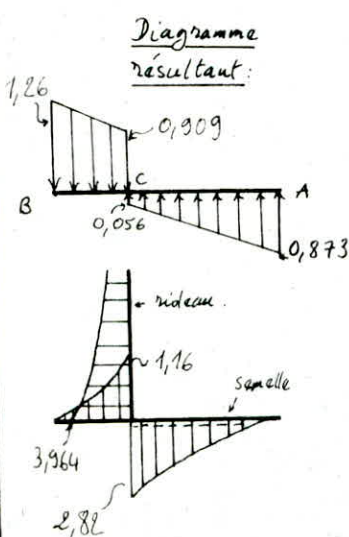
$$T_{AC} = 2,82 \text{ t.m} \quad \text{et} \quad T_{BC} = 1,16 \text{ t.m}$$

On remarque le nœuds C est équilibré $2,82 + 1,16 = 3,98 \text{ t.m}$
 $\approx 3,964 \text{ t.m}$

On ferraillera la semelle avec $T_{\max} = 2,82 \text{ t.m}$.

$$T_{\max} = 4,014 \text{ t}$$

Avec la méthode utilisée précédemment on trouve $A = 5,48 \text{ cm}^2$



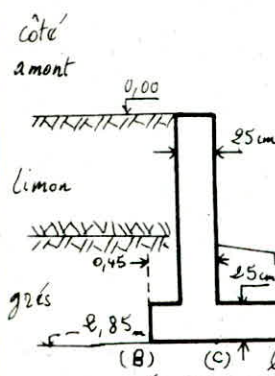
On prends 6T12 $\Rightarrow A = 6,78 \text{ cm}^2$ section qui vérifie la fissuration.

Vérification des contraintes : $\sigma_a = 2160 \text{ kg/cm}^2 < \bar{\sigma}_a = 2800 \text{ kg/cm}^2$.

$$\bar{\sigma}_b' = 74,6 \text{ kg/cm}^2 < \bar{\sigma}_b' = 165 \text{ kg/cm}^2.$$

Vérification de l'effort tranchant : $\tau_b = 2,08 \text{ Kg/cm}^2 < \bar{\tau}_b = 8,165 \text{ Kg/cm}^2$.

On prends ST10 comme armatures de répartition.



Calcul du panneau ②

Pour ce mur on adopte les mêmes hypothèses de calcul, les mêmes méthodes, et les mêmes cas de chargement que pour le panneau ③. Ceci est valable pour le panneau ① aussi.

Bilan des efforts agissant sur le mur

	Poids du mur (t)	Poids de la semelle (t)	Poids des terres sur poteau amont (t)	Poids des terres sur poteau aval (pour $h=50\text{cm}$) (t)	Surcharge sur poteau aval (majorée) (majorée)	Poussée horizontale due à B_2 (majorée)
Forces (t)	2,325	0,875	1,026	0,855	0,660	2,426
x_{IA} (m)	1,075	0,700	1,300	0,475	0,275	1,732
m_{IA} (tm)	2,499	0,613	1,334	0,406	0,182	4,202

	Poussée verticale due à B_2 (majorée)	Poids des terres sur poteau aval (pour $h=1,5\text{m}$)
Forces (t)	2,110	2,565
x_{IA} (m)	1,200	0,475
m_{IA} (tm)	2,532	1,218

Etude de la stabilité du mur

Comme pour le mur ③ on écrit les différentes conditions de stabilité :

$$f_s \leq 1,5 ; \quad t_f \alpha < 0,7 ; \quad 0,46 < x_R < 0,93 \text{ m} ; \quad \sigma_{max} < \bar{\sigma}_s$$

Tableau récapitulatif des différentes vérifications à la stabilité

	M_s (t.m)	M_R (t.m)	f_s	P_V (t)	P_H (t)	$t_g \alpha$	ΔP_V (m)	y_{P_H} (m)	x_R (m)	T_G (t.m)	σ_A (kg/cm²)	σ_B (kg/cm²)
1 ^{er} cas de chargement	7,384	4,202	1,760	7,191	2,426	0,340	1,027	1,732	0,478	3,850	1,070	-0,050
2 ^{er} cas de chargement	7,566	4,202	1,800	7,851	2,426	0,310	0,964	1,732	0,480	2,129	1,200	-0,090
3 ^{er} cas de chargement	8,378	4,202	1,990	9,562	2,426	0,250	0,876	1,732	0,483	2,519	1,450	-0,080

La stabilité du mur est donc bien vérifiée.

Ferraillage du rideau

On a une section de $1 \times 0,25 \text{ m}^2$ et $T_{max} = 4,202 \text{ t.m}$

$$T_{max} = 2,426 \text{ t.m.}$$

Toujours avec la méthode de Charon : $A = 7,5 \text{ cm}^2$; on prend $A = 11,31 \text{ cm}^2$
10T12

Cette section vérifie la fissuration; et de même on trouve $\sigma_a = 1930 \text{ kg/cm}^2 < \bar{\sigma}_a$

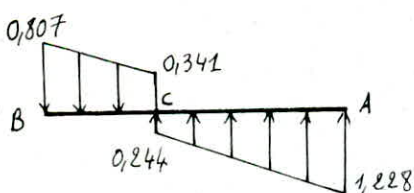
$$\sigma_b' = 48,25 \text{ kg/cm}^2 < \bar{\sigma}_b'$$

$$\tau_b = 1,86 \text{ kg/cm}^2 < \bar{\tau}_b$$

Comme aciers de répartitions on prend 5T10 /m

Ferraillage de la semelle (même section que le rideau.)

charges résultantes
sur la semelle



On ferraille la semelle avec les effets max

$$T_{max} = 3,91 \text{ t.m}$$

$$T_{max} = 6,992 \text{ t.}$$

On trouve $A = 7,53 \text{ cm}^2$ on prends 10T12 $A = 11,31 \text{ cm}^2$

La section vérifie la fissuration, et $\sigma_a = 1795 \text{ kg/cm}^2 < \bar{\sigma}_a$

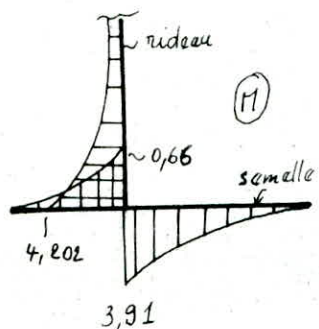
on prends les même aciers

$$\sigma_b' = 44,9 \text{ kg/cm}^2 < \bar{\sigma}_b'$$

de répartition que pour la mur.

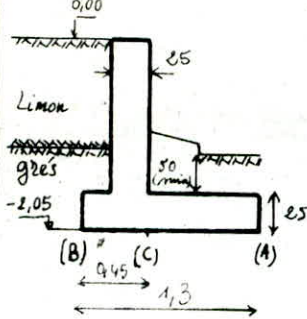
$$\tau_b = 3,6 \text{ kg/cm}^2 < \bar{\tau}_b$$

(c.a.d 5T10 /m).



Calcul du panneau ①

Bilan des efforts agissant sur le mur.



	Poids du mur	Poids de la semelle	terres sur patin aron	terres sur patin aval (50cm)
Force (t)	1,825	0,813	0,648	0,765
x_A (m)	0,975	0,650	1,200	0,425
Π_A (t·m)	1,779	0,528	0,778	0,325

	Surcharge q aval (majoree)	Poussee Horizontale due à B_2 (majoree)	Poussee verticale due à B_2 (majoree)	terres sur patin aval ($h = 1,5$ m)
Force (t)	0,540	2,864	2,440	2,295
x_A (m)	0,225	1,078	1,100	0,425
Π_A (t·m)	0,122	3,089	2,684	0,975

Etude à la stabilité du mur :

On vérifie que : $f_s \leq 1,5$; $\tan \alpha \leq 0,7$; $0,43 < x_R < 0,86$; $\sigma_{max} < \bar{\sigma}_s$ (A, B)

Tableau récapitulatif des différentes vérifications.

	M_s	Π_2	f_s	P_v	P_H	$\tan \alpha$	x_{P_v}	y_{P_H}	x_R	Π_G	σ_A	σ_B
1 ^e cas	6,094	3,089	1,97	6,491	2,864	0,44	0,938	1,078	0,460	1,219	0,930	0,060
2 ^e cas	6,216	3,089	2,01	7,031	2,864	0,4	0,880	1,078	0,440	1,470	1,060	0,018
3 ^e cas	6,866	3,089	2,22	8,561	2,864	0,33	0,800	1,078	0,440	1,800	1,290	0,019

Le mur est alors stable.

Ferraillage du rideau (même section que pour les murs précédents)

$M_{max} = 3,089$ t·m et $T_{max} = 2,864$ t. On trouve $A = 5,73$ cm², on prends donc

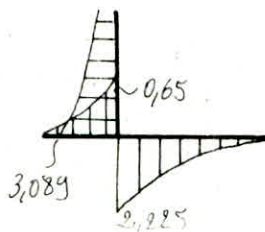
10T12 $\Rightarrow A = 11,31$ cm² : section qui vérifie la fissuration, et de même $\sigma_a < \bar{\sigma}_a$

5T10/m comme cours de répartition. $\sigma_b < \bar{\sigma}_b$ $\bar{\sigma}_b < \bar{\sigma}_a$

Ferraillage de la semelle $M_{max} = 2,25$ t·m et $T_{max} = 4,06$ t

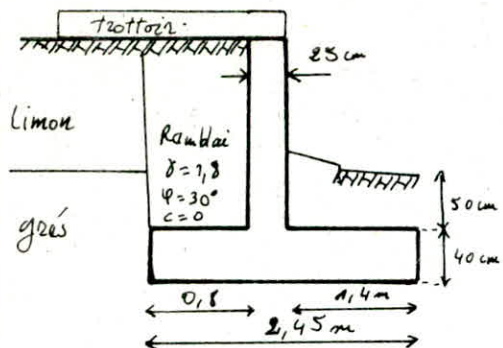
On utilise le même ferraillage que pour le rideau.

$A = 11,31$ cm² (10T12) et $A_t = 3,98$ cm² (5T10)



Calcul du panneau ③'

cote amont



Ce panneau constitue la mise à ciel ouvert du souterrain, sur 5 m. Il a la même hauteur que le panneau ③, mais en plus ce panneau est soumis à la poussée du remblai de fouille, large de 80 cm au niveau du souterrain.

L'épaisseur de la semelle est de 40 cm, comme pour celle du pontique. Les charges réparties de 1 t/m², amont, exercent un effet plus défavorable que la roue B₂ placée à 2,75 m de l'écran, du fait de la largeur du trottoir (2,5 m). La hauteur des terres aval est constante, donc le 3^e cas de chargement n'est pas considéré.

Bilan des effets

Poids du mur	Poids de la semelle	Terres sur pâti amont	Poussée du remblai	Pression à $S=16 \text{ t/m}^2$ (majoree.)	Terres sur pâti aval	Surcharge aval (majoree)
Frace (t)	2,919	2,45	5,112	4,030	1,254	1,260
$x_A (\text{m})$	1,525	1,225	1,400	1,267	1,900	0,700
$M_{IA} (\text{t} \cdot \text{m})$	4,452	3,005	7,157	5,106	2,383	0,882

Etude de la stabilité :

$$f_s \leq 1,5 ; \quad f_g \leq 0,7 ; \quad 0,7 \leq x_R \leq 1,4 ; \quad \sigma_{max} < \bar{\sigma}_S (A, B)$$

M_S (t·m)	P_2 (t·m)	f_s	P_v (t)	P_H (t)	$f_g \alpha$	x_{Pv} (m)	y_{P_H} (m)	x_R (m)	M_G (t·m)	σ_A (kg/cm ²)	σ_B (kg/cm ²)
1 ^e cas	15,498	7,489	2,069	11,735	5,284	0,450	1,320	1,417	0,74	6,374	1,116 -0,758
2 ^e cas	16,092	7,489	2,149	12,841	5,284	0,408	1,275	1,417	0,72	6,848	1,212 -0,156

Ferrailage du rideau : (même section que les murs précédents)

En flexion simple donc : $M_{max} = 7,489 \text{ t} \cdot \text{m}$. et $T_{max} = 5,284 \text{ t}$.

on trouve $A = 13,89 \text{ cm}^2$, on prends $| 10 T16$ section qui vérifie la fissuration.

$$A = 20,1 \text{ cm}^2$$

Comme accès de répartition on prends $A_t = \frac{A}{4}$

de même $\sigma_a < \bar{\sigma}_a$
 $\sigma_b' < \bar{\sigma}_b'$
 $\tau_b < \bar{\tau}_b$

on choisit 1/7 T10 ($A_t = 5,49 \text{ cm}^2$.)

Ferrailage de la semelle section de $(40 \times 100) \text{ cm}^2$.

enrobage : 5 cm $\Rightarrow h = 35 \text{ cm}$.

$M_{max} = 5,96 \text{ t} \cdot \text{m}$ et $T_{max} = 6,93 \text{ t}$; on trouve $A = 6,95 \text{ cm}^2$ on prends | 7 T16 ($A = 14,07 \text{ cm}^2$) et 5 T10 ($A_t = 5,02 \text{ cm}^2$)

Calcul des éléments d'ouvrages préfabriqués

Ce deuxième mode de construction comporte certaines différences par rapport au premier, quand à la conception et certaines hypothèses de calcul. Ces différences ont été introduites : - d'une part pour assurer un délai de réalisation sur chantier compatible avec le rythme de préfabrication des éléments. - d'autre part pour assurer une sécurité suffisante quant à la résistance de la structure de l'ouvrage.

Ainsi les dalles de transition ont été supprimées, et il a été prévu à leur place un remblaiement des fouilles en grave-ciment.

La voie du PS-GK comportera une couche de roulement de 9 cm, et une assise en grave-ciment.

Les murs des trémies d'accès sont à hauteur variables, et suivent la pente du profil en long.

Les pied-droits ont des semelles cornières sans débord vers les fouilles, car il n'est pas prévu de mettre un dispositif de drainage, les caniveaux souterrain pouvant à eux seul assurer la collecte des eaux de pluies.

Du fait de la présence des joints, qui ne permettent pas un fonctionnement ultérieur totalement isotrope de l'ouvrage et en particulier du tablier, on a légèrement renforcé l'épaisseur des éléments ; 30 cm au lieu de 25 cm.

Recommandations particulières :

Ce mode de construction demande un soin particulier, lors de la réalisation des éléments sur l'aire de préfabrication, et pendant leur pose sur chantier. Ainsi pour obtenir un ouvrage de bonne qualité, il faudrait que les joints soient satisfaisants, et pour cela certaines conditions doivent-être réunies

Une bonne précision de fabrication : Sur le chantier de préfabrication cette précision peut-être obtenue en bétonnant chaque éléments en contact avec l'éléments précédent, ces deux éléments étant destinés à être voisins dans l'ouvrage définitif.

cette disposition garantirait que les deux éléments considérés pourraient être, si la précision de pose est bonne, à nouveau quasi joints dans l'ouvrage en place.

Une bonne précision de pose : (complémentaire de la précédente.)

Dans la fouille on met soigneusement une série de plots en béton, chacun de ces plots servira d'assise aux deux extrémités en regards de deux éléments voisins, ainsi on est assuré que les joints entre éléments seront d'épaisseur constante et faible. Par ailleurs ces plots permettent une bonne répartition des pressions ultérieures de la semelle sur le sol. De plus il est à noter qu'on pose l'élément entre ses deux plots d'extrémités et d'un bain de béton de propreté non encore durci; le poids de l'élément sera suffisant pour égaliser le béton de propreté tout en prenant appui sur les plots.

Une bonne solidarisation des éléments après la pose :

Cette condition est nécessaire pour deux raisons :

- éviter les flèches différentielles qui se produiraient avec des éléments indépendants, dès qu'une lourde charge passerait sur la traverse ou le long des voies latérales à l'ouvrage.

- et pour mieux répartir les charges sur tout l'ouvrage, si une partie seulement était sollicitée.

Une bonne étanchéité : essentielle pour la traverse supérieur.

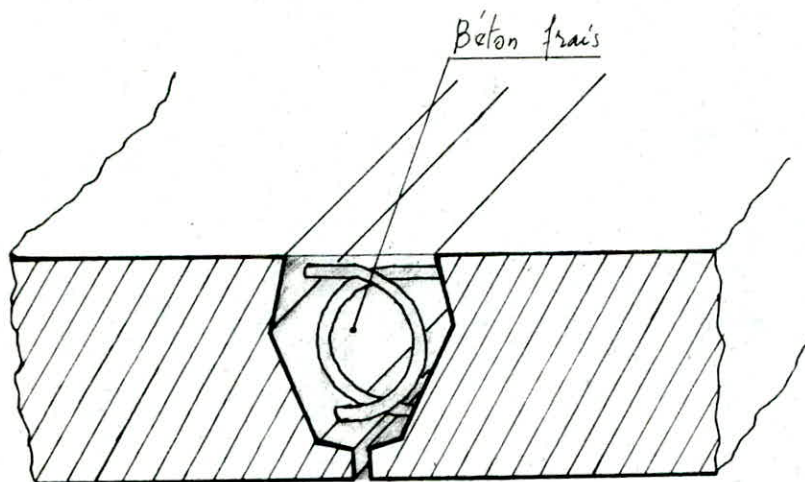
Joints adoptés

Pour assurer une bonne solidarisation entre éléments, nous avons prévus des joints en béton armé, la résistance du joint sera donc assurée par des armatures transversales en attentes, qui se recouvrent d'un élément à l'autre. Le résultat final est un ouvrage fonctionnant à peu près d'une manière isotrope.

Ce procédé comporte cependant de légers inconvénients : les fers en attente dans les éléments gênent manutention et pose ; et le temps de réalisation des joints sont relativement important. Mais ces inconvénients ne sont pas bien grave si on voit le résultat obtenu, et d'ailleurs l'expérience a montré que les autres procédés supposés plus rapides (liaisons des éléments par câbles etc...), comportaient en fait cet inconvénient

de délai de réalisation, par contre le résultat final obtenu n'était pas aussi bon que celui des joints en béton armé.

Schéma de joint : au niveau du tablier (éch : 1/10 .)



Au niveau des pieds droits (éch 1/10 .)

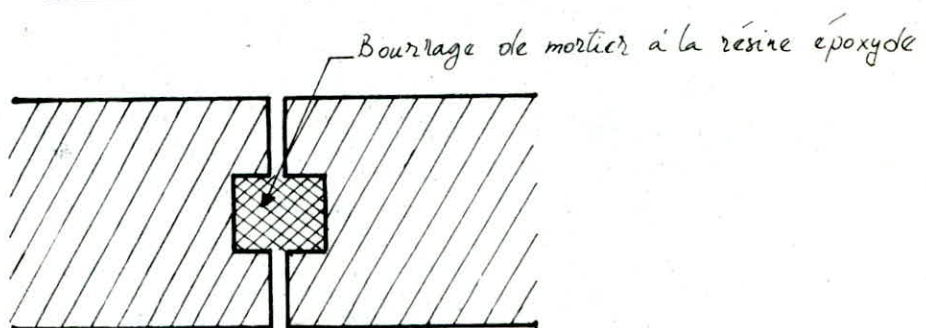
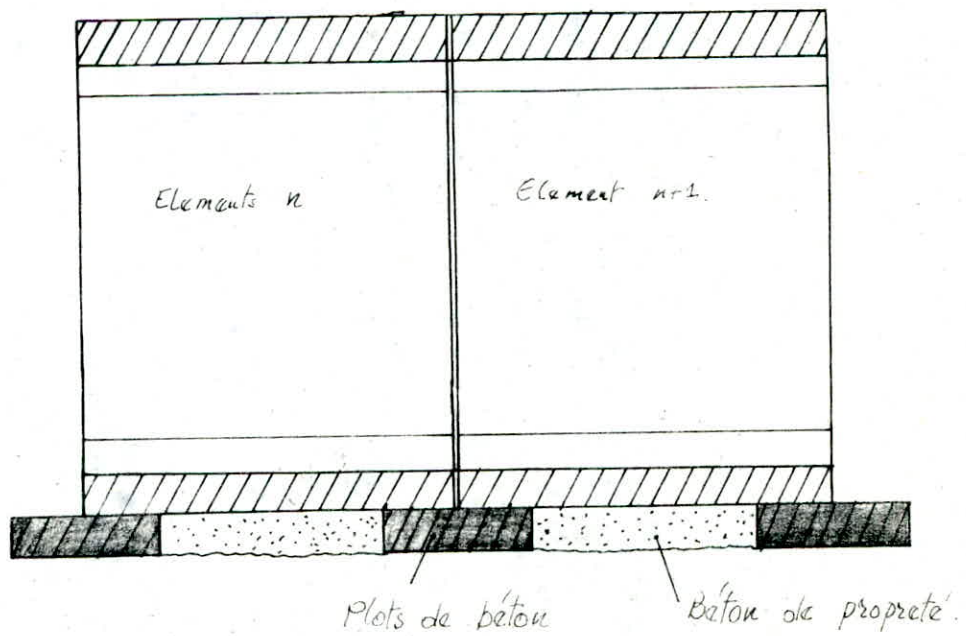
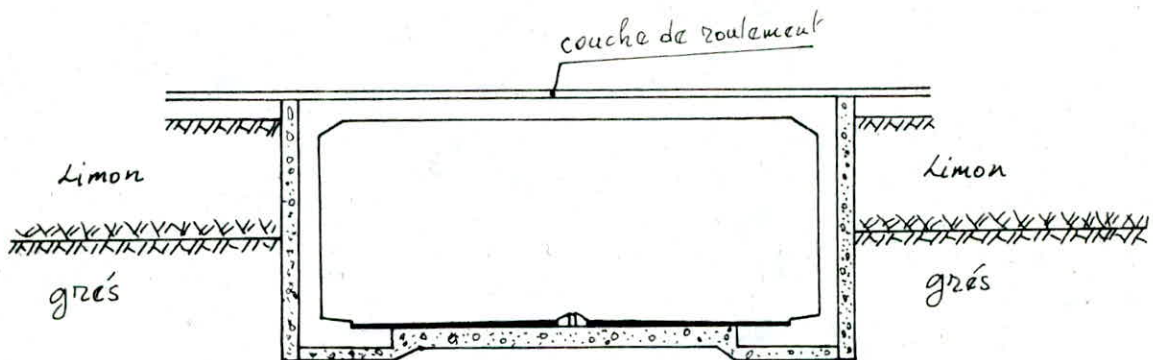


Schéma de pose des éléments (partie).



Etude du portique ; (préfabriqué par éléments de 2,5 m de long.)

Coupe en travers du souterrain. (éch : 1/100.)

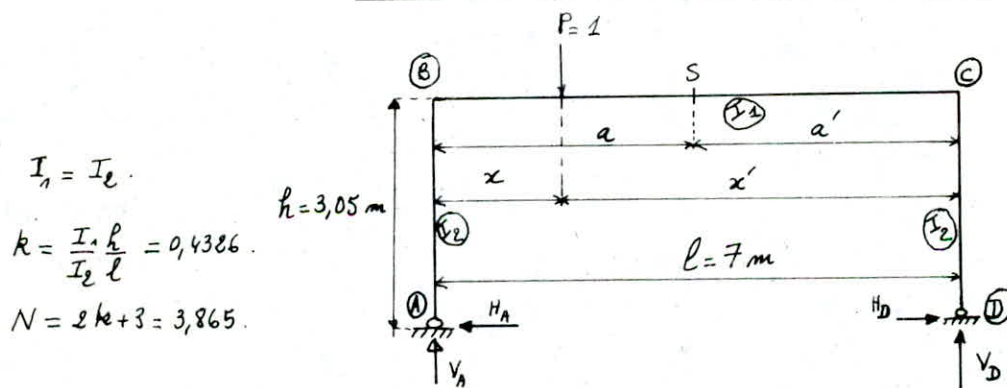


Hypothèses de calcul :

- Le portique est supposé articulé sur ses semelles.
- La déformation par flexion transversale est négligeable
- On suppose que le monolithisme obtenu par les joints en béton armé est suffisamment bon pour faire fonctionner la dalle de manière isotrope.

Pour le calcul des efforts on utilise les méthodes déjà utilisées dans le portique en mode traditionnel.

Lignes d'influences : (Méthode de Kleinlogel.)



Ligne d'influence des réactions V_A ; V_D : $y_{V_A} = \xi$ et $y_{V_D} = \xi'$

Ligne d'influence des moments M_B et M_C : $y_{M_B} = y_{M_C} = -0,912 \omega_j - 0,912 \omega_D$

Ligne d'influence du moment à mi-travée M_S : $M_S = M_S^0 + M_B$.

avec M_S^0 : moment isostatique. $M_S^0 = a' \xi$ dans le domaine a

$M_S^0 = a \xi'$ dans le domaine a'

donc : $y_{M_S} = \begin{cases} a' \xi + y_{M_B} & \text{dans le domaine } a \\ a \xi' + y_{M_B} & \text{dans le domaine } a' \end{cases}$

Tableau récapitulatif des résultats

ξ	ξ'	w'_D	w_D	y_{π_3}	y_{π_5}	y_H	y_{V_A}	y_{V_D}
0,000	1,000	0,000	0,000	-0,000	0,000	0,000	1,000	0,000
0,100	0,900	0,171	0,099	-0,246	0,107	0,080	0,900	0,100
0,200	0,800	0,288	0,192	-0,438	0,267	0,144	0,800	0,200
0,300	0,700	0,357	0,273	-0,575	0,483	0,189	0,700	0,300
0,400	0,600	0,384	0,336	-0,656	0,754	0,215	0,600	0,400
0,500	0,500	0,375	0,375	-0,684	1,080	0,224	0,500	0,500
0,600	0,400	0,336	0,384	-0,656	0,754	0,215	0,400	0,600
0,700	0,300	0,273	0,357	-0,575	0,483	0,189	0,300	0,700
0,800	0,200	0,192	0,288	-0,438	0,267	0,144	0,200	0,800
0,900	0,100	0,099	0,171	-0,246	0,107	0,080	0,100	0,900
1,000	0,000	0,000	0,000	-0,000	0,000	0,000	0,000	1,000

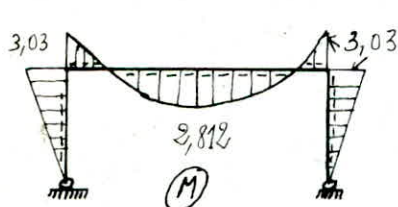
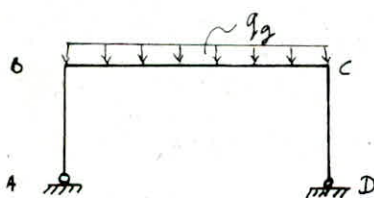
Calcul des efforts dans le portique.

Sous charges permanentes :

$$q_g = q_1 + q_2 = 0,942 \text{ t/m}$$

q_1 : poids propre de la traverse (30 cm d'ep.)

q_2 : poids propre de la couche de roulement plus celle de l'étanchéité



$$M_B = M_C = -3,03 \text{ t.m/m}$$

$$M_t = \frac{q_1 l^2}{8} + M_B = 2,822 \text{ t.m/m}$$

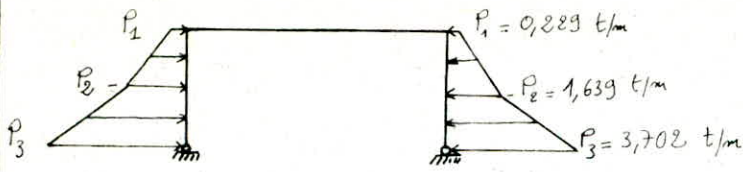
$$H_A = H_D = -\frac{M_B}{h} = 0,995 \text{ t/m}$$

$$V_A = V_D = \frac{q_1 l}{2} = 3,321 \text{ t/m}$$

Sous les poussées des terres :

Comme en traditionnel, on prends le même coefficient de poussée $K_0 = 0,5$.

$P_i = K_0 \sum_{i=1}^n y_i h_i$; P_i : pression engendrée par le poids de la couche de roulement et des terres au dessus de l'axe neutre de la traverse.

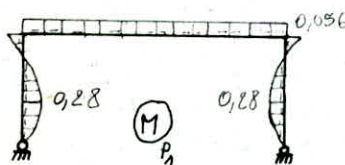
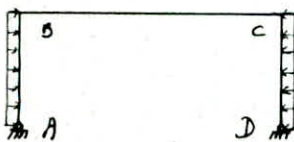


P_2 : étant la poussée due à la

couche de limon

P_3 : poussée due au grès.

Efforts sous P_1 :

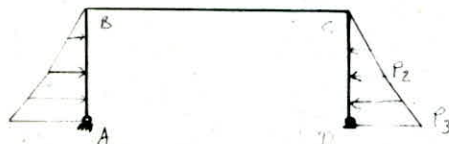


$$\Pi_B = \Pi_C = -\frac{q h^2 k}{4N} = -0,056 \text{ t} \cdot \text{m} / \text{m}$$

$$H_A = H_D = -\left(\frac{q h}{2} + \frac{\Pi_B}{R}\right) = 0,35 \text{ t} / \text{m}$$

$$M(h/2) = q \frac{h^2}{8} + 0,5 \Pi_B = 0,28 \text{ t} \cdot \text{m} / \text{m}$$

Efforts sous $P_2 + P_3$: déterminés par la méthode des forces.



$$\delta_{11} = \frac{84,3}{EI} \quad \text{et} \quad \delta_{1P} = \frac{225,39}{EI}$$

et l'équation canonique donne : $\delta_{11} X_1 + \delta_{1P} = 0$

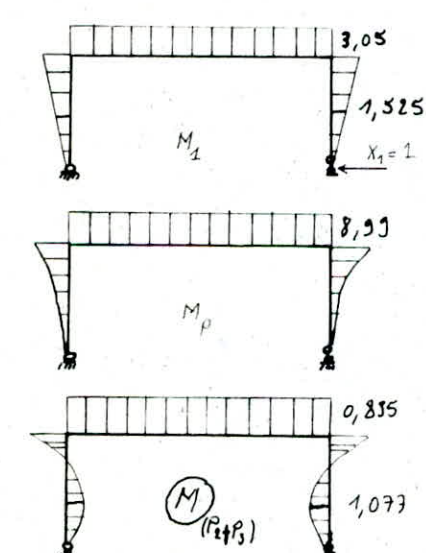
$$\Rightarrow X_1 = 2,674 \text{ t}.$$

$$\text{et : } M = M_p + X_1 M_1$$

$$\text{d'où : } M_B = M_C = -0,835 \text{ t} \cdot \text{m}$$

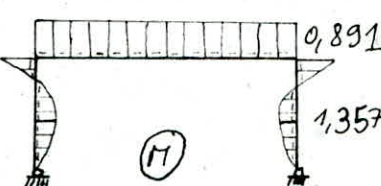
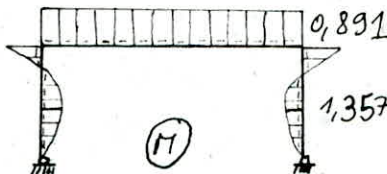
$$\Pi(h/2) = 1,077 \text{ t} \cdot \text{m}$$

$$H_A = H_D = 1,614 \text{ t}.$$



Le diagramme résultant sous P_1, P_2, P_3 est donc :

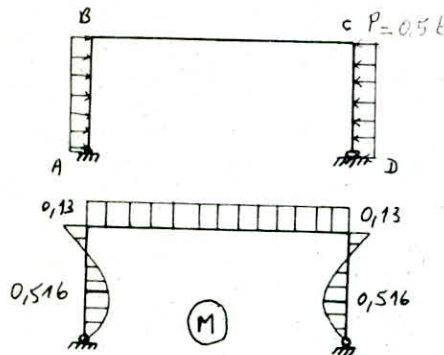
$$(M_{P_1}) + (M_{(P_2+P_3)}) =$$



Sous les surcharges routières de part et d'autre du portique.

Surcharge répartie de 1 t/m²

Si on surcharge les 2 piedroits :



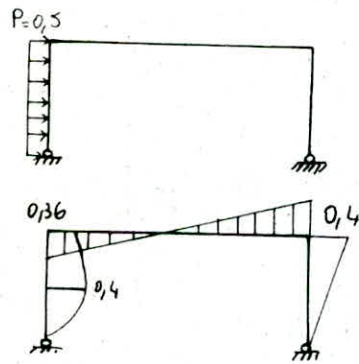
$$P = K_o S = 0,5 \text{ t/m}$$

$$M_B = M_C = -\frac{q h^2}{4N} k = 0,13 \text{ t.m}$$

$$H_A = H_D = -\left(\frac{q h}{2} + \frac{M_B}{h}\right) = 0,8 \text{ t}$$

$$M\left(\frac{h}{2}\right) = \frac{q h^2}{8} + 0,5 M_B = 0,516 \text{ t.m}$$

Si on surcharge 1 seul piedroit



$$M_B = \frac{q h^2}{4} \left[\frac{-k}{2N} + 1 \right] = 0,36 \text{ t.m}$$

$$M_C = \frac{q h^2}{4} \left[\frac{-k}{2N} - 1 \right] = -0,4 \text{ t.m}$$

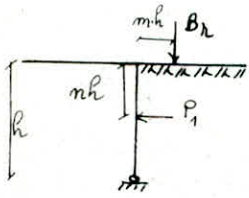
$$M\left(\frac{h}{2}\right) = \frac{q h^2}{8} + 0,5 M_B = 0,4 \text{ t.m.}$$

$$V_A = V_D = \frac{q h^2}{2\ell} = 0,33 \text{ t}$$

$$H_A = -(H_D + q h) = 1,393 \text{ t} ; H_D = \frac{M_C}{h} = 0,132 \text{ t}$$

Surcharge concentrées : 1 roue B₂ (10t) placée à 0,5 m du piedroit.

On utilise la méthode de Terzaghi déjà détaillée dans le portique traditionnel.



$$x = 0,5 = mh \Rightarrow m = \frac{x}{h} = 0,16 < 0,4 \Rightarrow P_1 = 0,28 \frac{\phi}{h^2} \frac{m^2}{(m^2 + 0,16)^3}$$

$$\text{et } \psi = \arctan 1 = 45^\circ \text{ (déjà défini.)}$$

$$\text{et } P_m = P_1 \left(\frac{1 + \cos^2 \psi}{2} \right)$$

n	0,125	0,250	0,375	0,500	0,625	0,750	0,875	1,000
P _m	0,527	1,080	0,932	0,600	0,422	0,268	0,179	0,116

Diagramme des pressions:

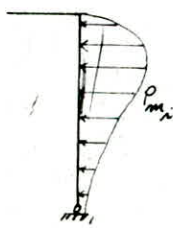
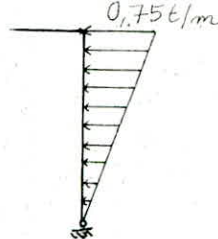
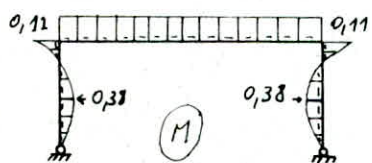
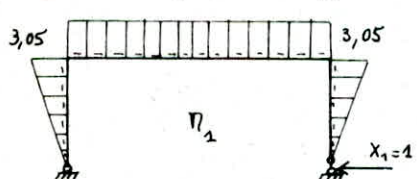
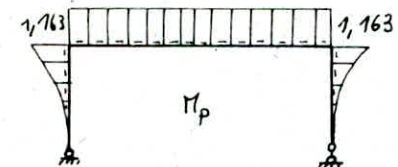
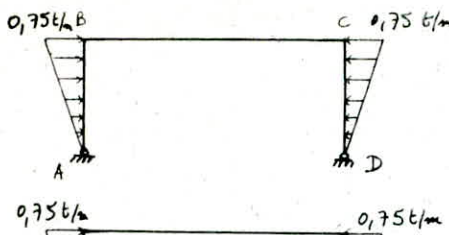


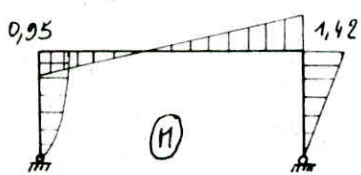
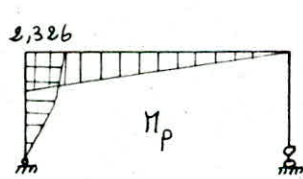
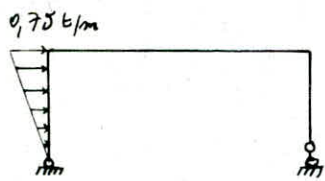
Diagramme approché pour le calcul:



Si on surcharge les 2 pieds droits



Si on charge un seul pied droit.



En utilisant la méthode des forces.

On a l'équation canonique : $\delta_{11} X_1 + \delta_{1P} = 0$

$$\delta_{11} = \frac{84,3}{EI} \quad \text{et} \quad \delta_{1P} = \frac{29,14}{EI}$$

$$\text{d'où } X_1 = -\frac{\delta_{1P}}{\delta_{11}} = -0,345.$$

$$\text{et donc } M = M_1 X_1 + M_p$$

$$\Rightarrow M_B = M_C = 0,11 \text{ t.m.}$$

$$M\left(\frac{l}{2}\right) = 0,38 \text{ t.m.}$$

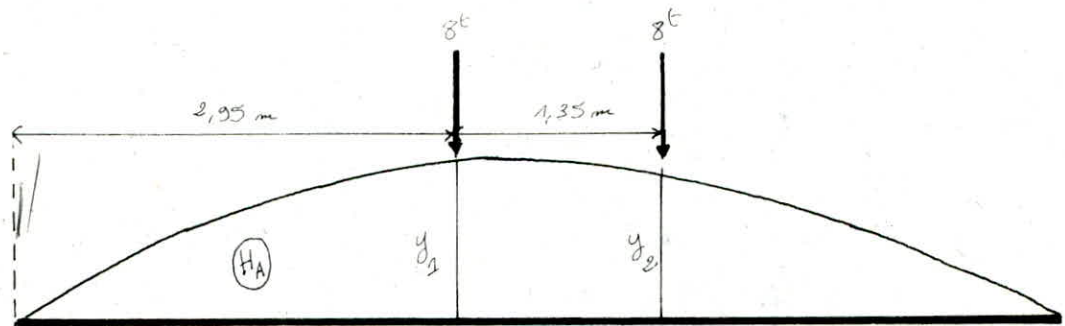
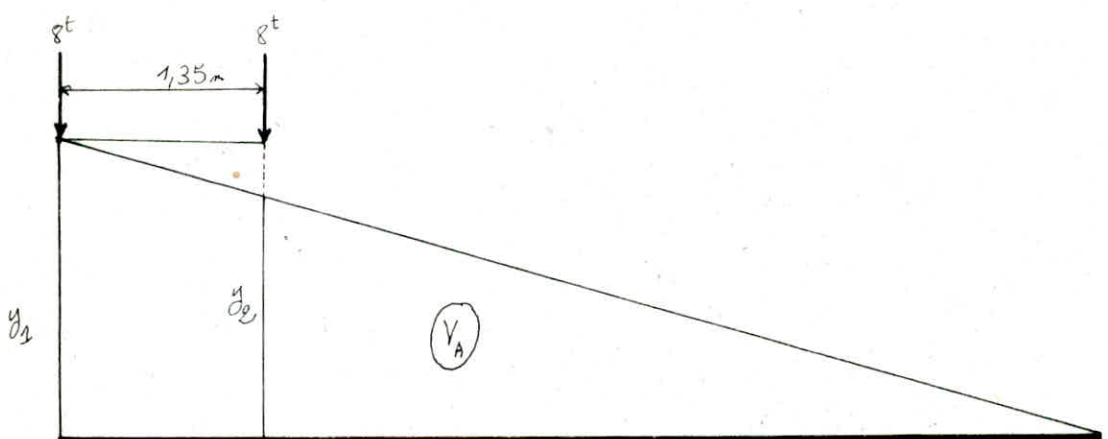
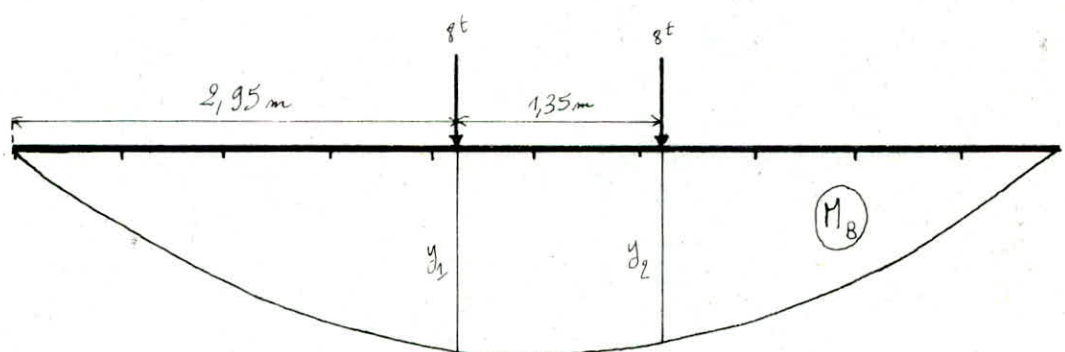
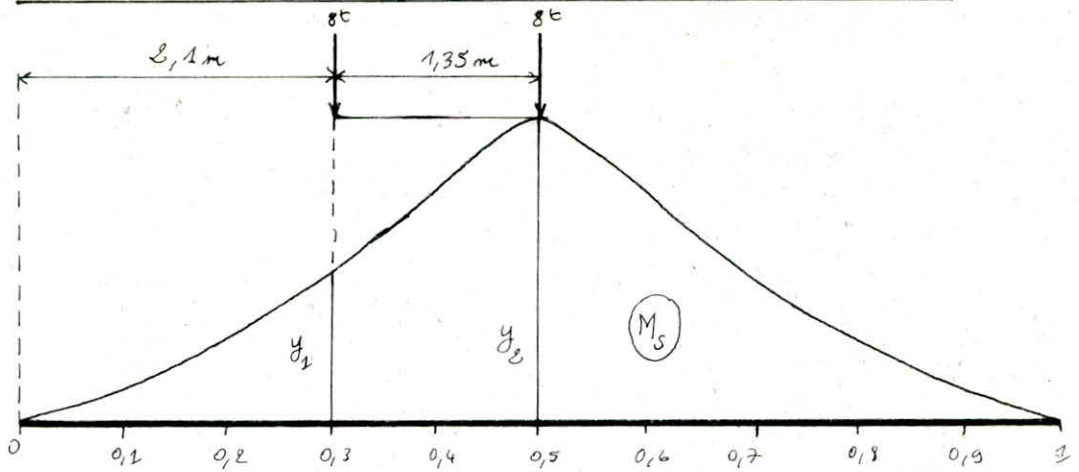
$$H_A = H_D = 0,798 \text{ t.}$$

Sous les surcharges routières réglementaires, au dessus de la traverse.

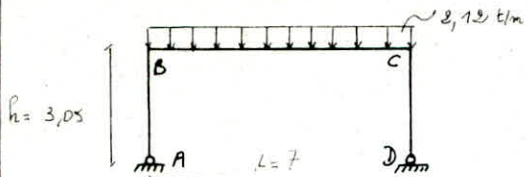
Pour les systèmes de charges B_c et B_t on a les résultats suivants, calculés d'après les lignes d'influences.

	$M(l/2)$	$M_B (= M_C)$	$H_A (= H_D)$	$V_A (= V_D)$
Système B_c	7,104	6,336	2,016	8,592
Système B_t	8,530	6,933	2,867	9,55

Epure des lignes d'influences et position des charges B_t



Système de charge A.



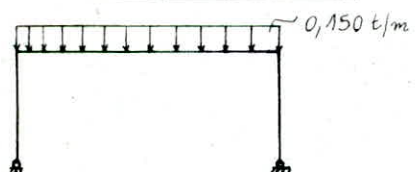
$$A = 230 + \frac{36000}{L+12} = 2,12 \text{ t/m}^2$$

$$\tau_B = \tau_C = -\frac{q \ell^2}{4N} = 6,819 \text{ t.m}$$

$$\tau(\ell/2) = \frac{q \ell^2}{8} + \tau_B = 6,352 \text{ t.m}$$

$$H_D = H_A = \frac{\tau_B}{h} = 2,235 \text{ t} ; \text{ et } V_A = V_D = \frac{q \ell}{2} = 3,475 \text{ t}$$

Surcharge trottoirs: de 150 kg/m²



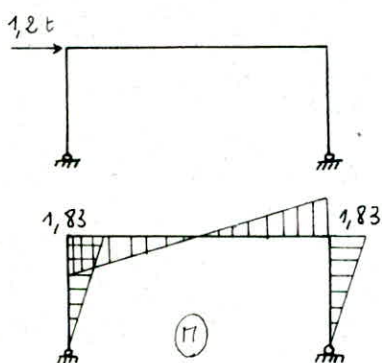
$$\tau_B = \tau_C = -0,48 \text{ t.m}$$

$$\tau(\ell/2) = 0,449 \text{ t.m}$$

$$H_A = H_D = 0,158 \text{ t}$$

$$V_A = V_D = 0,527 \text{ t}$$

Sous l'effet de freinage des véhicules.

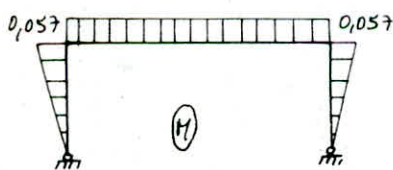


$$\tau_B = -\tau_C = \frac{P h}{2} = 1,83 \cdot \text{t.m}$$

$$H_A = H_D = \frac{P}{2} = 0,6 \text{ t}$$

$$V_A = V_D = \frac{P h}{\ell} = 0,523 \cdot \text{t}$$

Sous l'effet de la variation de la température et du retrait : $E \alpha t = 10 \text{ bars}$.



$$\tau_B = \tau_C = 0,057 \text{ t.m}$$

$$H_A = H_D = \frac{3EI\alpha t}{h^2(2K+3)} = 0,018 \text{ t}$$

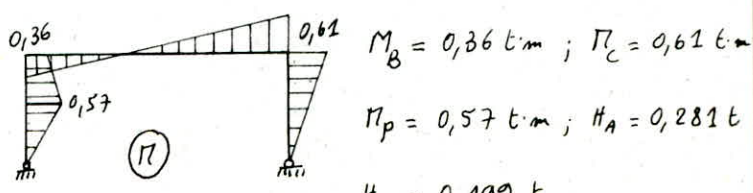
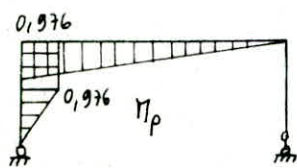
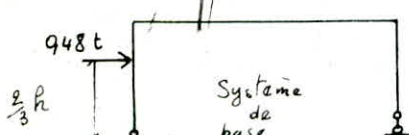
Effet du seisme: En plus de la majoration de 20% des terres ou une force

$$F = 0,6 \cdot P = 0,48 \text{ t}$$

P: periodes du sism.

$$\delta_{11} = \frac{83}{EI} \quad \text{et} \quad \delta_{1P} = -16,82$$

$$\text{et de} \quad \delta_{11} X_1 + \delta_{1P} = 0 \quad \text{on tire} \quad X_1 = 0,193$$



$$\tau_B = 0,36 \text{ t.m} ; \tau_C = 0,61 \text{ t.m}$$

$$\tau_P = 0,57 \text{ t.m} ; H_A = 0,281 \text{ t}$$

$$H_D = 0,199 \text{ t}$$

Tableau récapitulatif des efforts (non pondérés)

charges permanentes G	Poussée des terres latérales	Poussée due aux Surcharge de 1t/m ²	Poussée due à B _n (10t)	Sous charges B _C	Sous charge B _t
M(l/2) ⊕ +8,812	-	-	-	+ 7,104	+ 8,530
⊖ -	- 0,891	- 0,130	- 0,110	-	-
M _B (c) ⊕ - 3,030	- 0,891	- 0,400	- 1,42	- 6,336	- 6,933
⊖ + 1,357	+ 0,516	+ 0,380	-	-	-
N(l/2) ⊕ - 1,500	- 0,400	- 0,710	- 3,168	- 3,467	-
⊖ + 0,321	+ 0,330	+ 0,330	+ 8,592	+ 9,55	-
H _{A(D)} ⊕ + 0,995	+ 1,964	- 1,393	+ 0,798	+ 2,016	+ 2,267
⊖ -	-	-	-	-	-

	Sous l'effet de la fréquence	Effet de la température et du retrait (T)	Effet du séisme
M(l/2) ⊕	/	+ 0,057	-
⊖	/	- 0,057	- 0,309
M _B (c) ⊕ + 1,830		+ 0,057	+ 0,798
⊖ - 1,830		- 0,057	-
N(l/2) ⊕ + 0,915		+ 0,029	+ 1,847
⊖ - 0,915		-	-
V _{A(D)} ⊕ + 0,523	/	/	+ 0,139
⊖ - 0,523	/	/	-
H _{A(D)} ⊕ + 0,600		+ 0,018	-
⊖ - 0,600		- 0,018	- 0,678

L'action du séisme n'est pas déterminante, et la combinaison des charges sera faite sous SPI (sollicitations du 1^e genre.) : G + 1,2S + T

Les combinaisons les plus défavorable donne :

traverse :
$$\begin{cases} N(l/2) = 16,890 \text{ t.m} \\ N(B,c) = 14,480 \text{ t.m} \\ T = 19,020 \text{ t} \end{cases}$$

Piedroit :
$$\begin{cases} N(\frac{l}{2}) = 7,888 \text{ t.m} \\ N(B,c) = 14,480 \text{ t.m} \\ H(A,D) = 4,73 \text{ t} \quad (\text{et } - 4,02 \text{ t}) \\ V_{A,D} = 19,02 \text{ t} \end{cases}$$

Ferrailage de la traverse : section de $30 \times 100 \text{ cm}^2$ en flexion simple

A mi-travée : $\tau_{\max} = 16,89 \text{ t.m}$. enroulage : $4 \text{ cm} \Rightarrow h = 26 \text{ cm}$.

avec la méthode de Charon : $\mu = \frac{15\pi}{bh^2\bar{\sigma}_a} = 0,1518$ et des tableaux
on tire $K = 18,7$, $\varepsilon = 0,8516$ d'où $A = \frac{\tau}{\varepsilon h \bar{\sigma}_a} = 29,71 \text{ cm}^2$.
on choisit // 7T25 soit $A = 34,36 \text{ cm}^2$.

Vérification à la fissuration : $\left| \begin{array}{l} \bar{\sigma}_1 = 1425 \text{ kg/cm}^2 \\ \bar{\sigma}_2 = 1697 \text{ kg/cm}^2 \end{array} \right| \Rightarrow \bar{\sigma}_a = \bar{\sigma}_2 = 1697 \text{ kg/cm}^2$

et donc $\mu = 0,2388$ et $K = 15,6$, $\varepsilon = 0,8252 \Rightarrow A = 48,24 \text{ cm}^2$.

on prends 10T25 soit $A = 49,09 \text{ cm}^2$; $t = 10 \text{ cm}$ espacement des barres.

Vérification des contraintes : $\bar{\sigma}_a = \frac{M}{Eh \cdot A} = 1586,9 \text{ kg/cm}^2 \ll \bar{\sigma}_a = 2800 \text{ kg/cm}^2$.

$$\bar{\sigma}'_b = \frac{\bar{\sigma}_a}{K} = 105,1 \text{ kg/cm}^2 < \bar{\sigma}'_b = 183,6 \text{ kg/cm}^2$$

Comme armatures de répartition, on prends $A_t = \frac{t}{3} = 16,33$; on choisit 9T16 ($A_t = 18,09 \text{ cm}^2$).

Section d'appui $\tau_{\max} = 14,48 \text{ t.m}$.

$$\mu = \frac{15M}{bh^2\bar{\sigma}_a} = 0,13 \quad \text{et donc} : \quad \varepsilon = 0,8603 \quad \text{et} \quad K = 20,8 \Rightarrow A = \frac{M}{Eh \cdot \bar{\sigma}_a} = 84,25 \text{ cm}^2$$

on choisit 6T25 $\Rightarrow A = 29,45 \text{ cm}^2$.

Vérification à la fissuration $\left| \begin{array}{l} \bar{\sigma}_1 = 1415 \text{ kg/cm}^2 \\ \bar{\sigma}_2 = 1697 \text{ kg/cm}^2 \end{array} \right| \Rightarrow \bar{\sigma}_a = 1697 \text{ kg/cm}^2$

et donc $\mu = 0,189 \Rightarrow \left| \begin{array}{l} E = 0,8392 \\ K = 16,1 \end{array} \right. \Rightarrow A = 39,106 \text{ cm}^2$

s'agit de 8T25 $\Rightarrow A = 39,27 \text{ cm}^2$
au lieu de 9T16 $\Rightarrow A_t = 18,09 \text{ cm}^2$

Vérification des contraintes $\bar{\sigma}_a = 1923 \text{ kg/cm}^2 < \bar{\sigma}_a = 2800 \text{ kg/cm}^2$.

$$\bar{\sigma}'_b = 119,5 \text{ kg/cm}^2 < \bar{\sigma}'_b = 183,6 \text{ kg/cm}^2$$

Vérification à l'effort tranchant : $T = 19,02 \text{ t}$

$$\bar{\tau}_b = \frac{T}{b \cdot z} = 8,36 \text{ kg/cm}^2 < \bar{\tau}_b = 1,15 \bar{\sigma}_b$$

$$< \bar{\tau}_b = 8,74 \text{ kg/cm}^2$$

La dalle ne nécessite pas d'armatures

transversales.

Longueur des chapeaux : $\left. l = \max \left\{ \frac{l_{xx}}{5}, l_d \right\} \right|_{l_d = \frac{\phi \bar{\sigma}_a}{4 \bar{\tau}_d} = 4\phi} \Rightarrow l = 1,4 \text{ m}$.

Ferrailage du piedroit même section que la traverse.

le piedroit est sollicité en flexion composée, sous $M_{\max} = 14,48 \text{ t.m}$ et $N = 21,48 \text{ t}$

N : effort normal revenant au piedroit ; $N = V_A + \text{poids propre du mur}$.

On a $\alpha_0 = \frac{M}{N} = \frac{14,48}{21,48} = 0,676 \text{ m} > \frac{h_t}{6} = 0,05 \text{ m} \Rightarrow \text{la section est partiellement comprimée.}$

soit M_b : moment par rapport aux aciers tendus $M_b = M + N \cdot e$

avec $e = \frac{h_t}{2} - c \quad c: \text{enrobage} ; c = 4 \text{ cm} \Rightarrow e = 11 \text{ cm}$

$$M_b = 14,48 + 21,48 \cdot 0,11 = 16,836 \text{ t.m.} \Rightarrow \gamma = \frac{15 \cdot M_b}{b \cdot h \cdot e \cdot \bar{\sigma}_a} = 0,133$$

$$\Rightarrow \begin{cases} E = 0,8588 \\ K = 20,4 \end{cases} \Rightarrow A_t = 26,93 \text{ cm}^2$$

La section d'aciers nécessaires est : $A = A_t - \frac{N}{\bar{\sigma}_a} = 19,28 \text{ cm}^2$

on prends 10T16 soit $A = 20,1 \text{ cm}^2$.

Vérification à la fissuration : $\begin{cases} \bar{\sigma}_1 = 1731 \text{ Kg/cm}^2 \\ \bar{\sigma}_2 = 2046,4 \text{ Kg/cm}^2 \end{cases} \Rightarrow \bar{\sigma}_a = 2046,4 \text{ Kg/cm}^2$

$$\Rightarrow \gamma = 0,1825 \Rightarrow \begin{cases} E = 0,8408 \\ K = 16,4 \end{cases} \Rightarrow A_t = 37,64 \text{ cm}^2$$

soit : $A = 27,17 \text{ cm}^2$; 9T20 espaces de 11,5 cm

et comme armatures de répartition 5T16 ($A_t = 10,05 \text{ cm}^2$) espacés de

Vérification des contraintes : $\begin{cases} \bar{\sigma}_a = 1709,5 \text{ Kg/cm}^2 < \bar{\sigma}_a = 2800 \text{ Kg/cm}^2 \\ \bar{\sigma}'_b = 77 \text{ Kg/cm}^2 < \bar{\sigma}'_b = 183,6 \text{ Kg/cm}^2 \end{cases}$

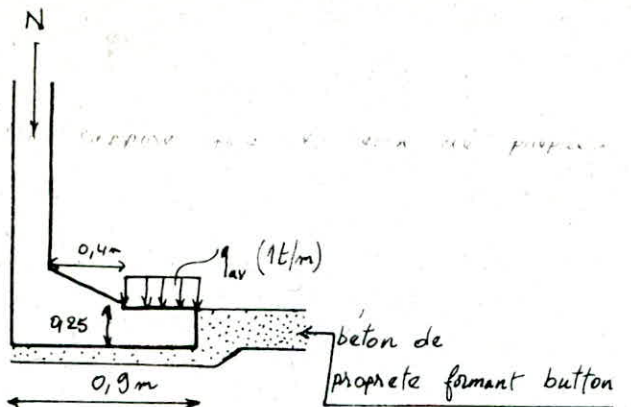
Vérification à l'effort tranchant:

$$T = H_A = 4,73 \text{ t} \quad \text{on vérifie que : } \bar{\tau}_b = \frac{T}{b \cdot \frac{7}{8} \cdot R} \leq \bar{\tau}_b = 1,15 \bar{\sigma}_b$$

$$\bar{\tau}_b = 2,079 \text{ Kg/cm}^2 < \bar{\tau}_b = 8,74 \text{ Kg/cm}^2$$

La section ne nécessite donc pas de cadres.

Etude des semelles du portique



charges sur la semelle

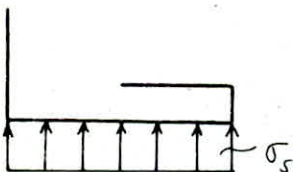
étant donné que les pieds sont supposé articulés sur les semelle :

- Effort normal N revenant au pieds
- poids propre de la semelle P_s
- surcharge répartie de $1t/m^2$, sur le côté aval. q_{aval} . (majuscule)
- Poids du jousset sur la semelle P_{gt} .

Hypothèses pour le calcul de la semelle

- On suppose que le béton de propreté formant button, empêche la rotation de la semelle autour de son centre de gravité
- Et de même il reprend l'effort de compression que lui transmet la semelle ; effet de $4,02 t$.

De ce fait donc, la réaction du sol est rectangulaire : $\sigma_s = \frac{N_{total}}{100l}$



$$N_t = N + P_s + q_{av} + P_{gt} = 31,42 + 0,563 + 0,3 + 0,15$$

$$N_t = 32,433 t$$

$$\text{et donc } \sigma_s = \frac{32,433}{100 \cdot 90} = 3,49 \text{ Kg/cm}^2 < \bar{\sigma}_s$$

avec $h_t \geq \frac{l-a}{4} = 15 \text{ cm}$ on a pris 25 cm et 3 cm pour l'enrobage

Ferrailage : Par la méthode des bâilles

$$A = \frac{N_t(l-a)}{8 \cdot h \cdot \bar{\sigma}_s} = 3,73 \text{ cm}^2$$

on prends

$$A = 18,06 \text{ cm}^2$$

6 T 16

section qui vérifie la fissuration et les contraintes

$$\text{et } A_t = 3,98 \text{ cm}^2$$

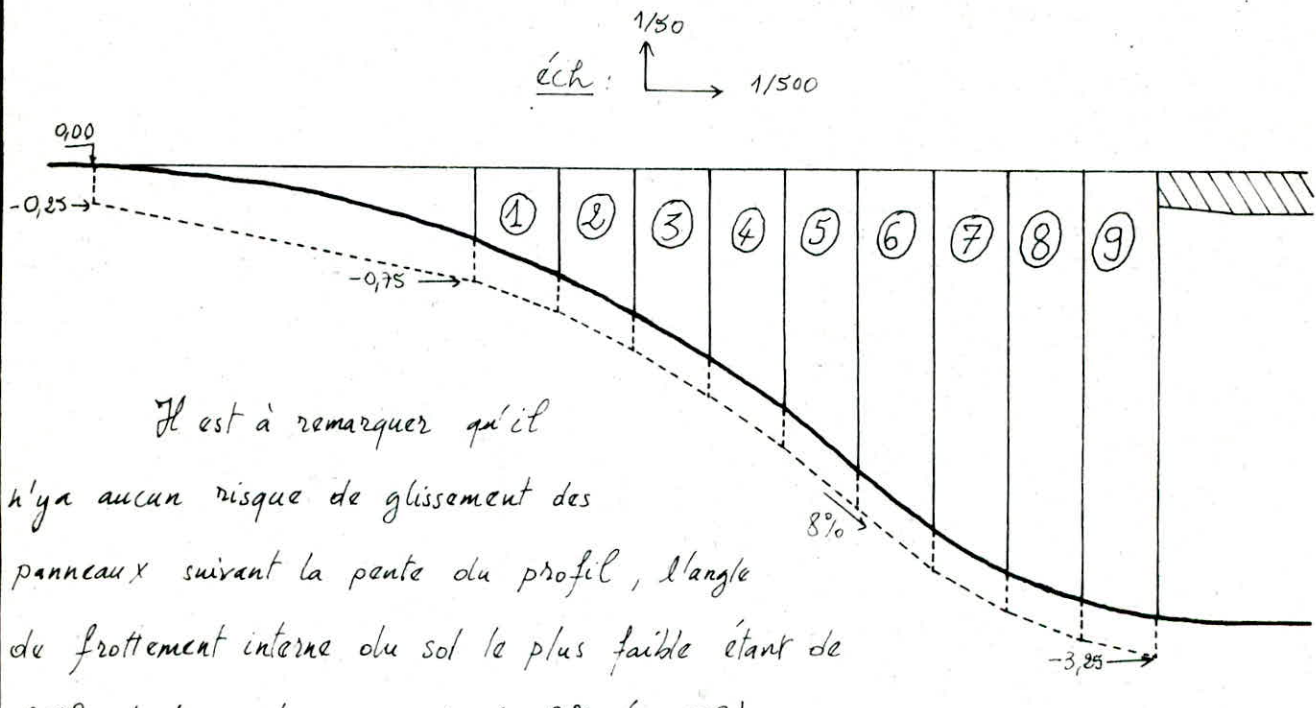
5 T 10

(aigu de répartition)

Etude des trâmis d'accès

Là aussi les murs de soutènements seront installés à partir de la même démâverellation qu'en mode traditionnel, et sur la même longueur. Suivant le matériel de manutention disponible au niveau de l'entreprise, on a découpé les panneaux par bandes de 5m de long. Ces murs, avec leurs semelles, seront à hauteur variable, et présenteront une pente max de 8%.

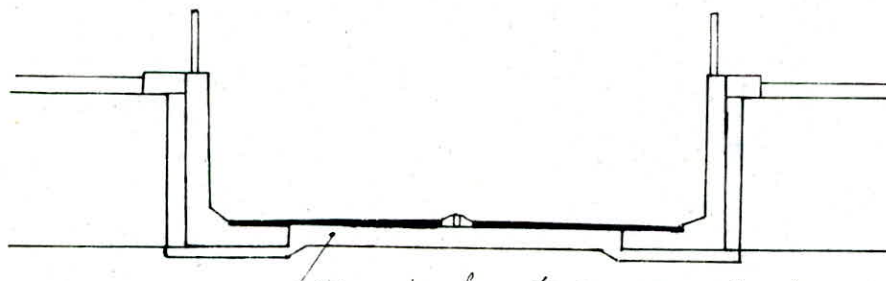
Schéma de découpage des panneaux



Il est à remarquer qu'il n'y a aucun risque de glissement des panneaux suivant la pente du profil, l'angle de frottement interne du sol le plus faible étant de 25°, et la pente max est de 8% ($4,57^\circ$).

De même qu'en mode traditionnel, la mise à ciel ouvert sur 5m du souterrain comportera un panneau (⑨) de hauteur constante, égale à la hauteur max du panneau ⑨.

Coupe en travers de trâmis d'accès (éch : 1/100)



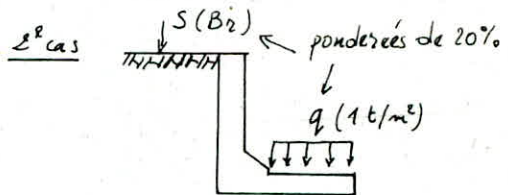
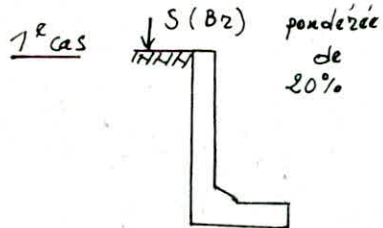
Corps de chaussée en grav-ciment

Pour le calcul on adopte les mêmes hypothèses, et les mêmes méthodes utilisées pour le calcul des murs en traditionnel. Et de plus :

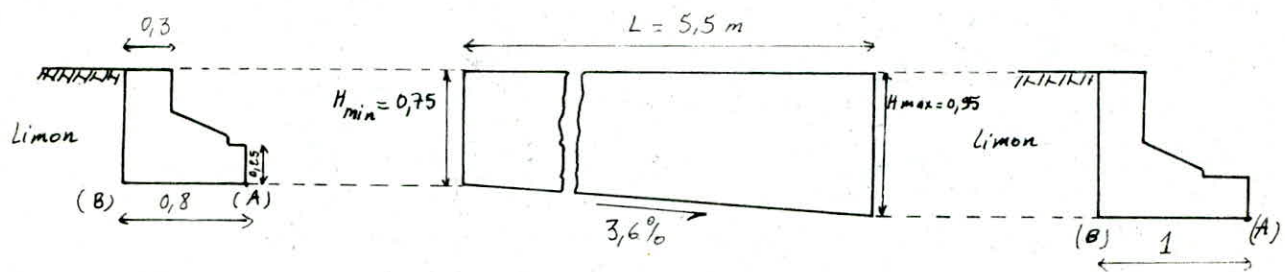
- On suppose que la condition de stabilité au glissement, et celle du tiers central

sont vérifiés, du fait de la présence du corps de chaussée en gravé-ciment, qui joue le rôle d'un bouton, non encastré aux semelles. Ce bouton encaissera seulement les efforts horizontaux, due aux poussées (des surcharges.), transmis par les semelles.

- Dans le calcul on tient compte de 2 cas de chargements



Calcul du panneau ①



Il est à remarquer qu'on n'a pas tenu compte de la pression verticale due à S , vu qu'il n'y a pas de palin amont pour la semelle.

Etude de la stabilité du mur

Pour H_{min} : ($l=0,8 \text{ m}$) ; $f_s \geq 1,5$; $\sigma_{max} < \bar{\sigma}_s$

Bilan des effets

	Poids du mur	Poids de la semelle	Poussée Horizontale due à B_2 (majeure)	Surcharge q aval (majeure)
Force (t)	0,813	0,6	1,398	0,18
Bras de levier /A (m)	0,65	0,45	0,25	0,05
moment /A (t.m)	0,772	0,27	0,348	0,006

Tableau récapitulatif des différentes vérifications

	M_2 (t.m)	M_s (t.m)	$f_s = \frac{M_s}{M_2}$	P_v (t)	x_{P_v} (m)	M_{G_s} (t.m) sens: Q	σ_A (kg/cm ²)	σ_B (kg/cm ²)
1 ^e cas de charge	0,348	1,042	2,99	1,413	0,737	-0,057	0,12	0,17
2 ^e cas de charge	0,348	1,048	3,01	1,533	0,684	-0,01	0,18	0,19

Pour H_{max} ($l = 1 \text{ m.}$)

Bilan des efforts

	Poids du mur	Poids de la semelle	Poussée Horizontale due à B_x	Surcharge q en aval.
Force	1,270	0,750	1,952	0,360
x_A	0,850	0,570	0,390	0,150
moment _A	1,080	0,488	0,760	0,054

Tableau récapitulatif des vérifications

	M_x (t·m)	M_s (t·m)	f_s	P_v (t)	x_{P_v} (m)	M_g (t·m)	σ_A (kg/cm ²)	σ_B (kg/cm ²)
1 ^e cas	0,760	1,508	1,980	2,020	0,750	0,225	0,355	0,049
2 ^e cas	0,760	1,568	2,050	2,380	0,650	0,403	0,480	-0,004

Ferraillage du rideau : section de $(100 \times 30) \text{ cm}^2$; $l = 27 \text{ cm}$.

Pour plus de sécurité on prends $M_{max} = 0,76 \text{ t·m}$ et $T_{max} = 1,952 \text{ t}$.

on trouve $A = 1,048 \text{ cm}^2$; mais la section A minimale préconisée par le CCBAG8 donne $A_{min} = 5,07 \text{ cm}^2$, on prends donc 6 T12/m et $A = 6,78 \text{ cm}^2$.

Vérification à la fissuration (préjudiciables : $k = 10^6$) : $\left\{ \begin{array}{l} \sigma_1 = 3419 \text{ kg/cm}^2 \\ \sigma_{min} = 3419 \text{ kg/cm}^2 \\ \sigma_2 = 8369 \text{ kg/cm}^2 \end{array} \right. \Rightarrow \sigma_k = 2800$
donc la fissuration est vérifiée.

Vérification des contraintes : $\sigma_a = 492,7 \text{ kg/cm}^2 < \bar{\sigma}_a = 2800 \text{ kg/cm}^2$.

$$\sigma_b' = 3,85 \text{ kg/cm}^2 < \bar{\sigma}_b' = 183,6 \text{ kg/cm}^2.$$

$$\tau_b = 0,78 \text{ kg/cm}^2 < \bar{\tau}_b = 8,74 \text{ kg/cm}^2.$$

On utilise 5 T10 comme armatures de répartition : $A_t = 3,92 \text{ cm}^2$.

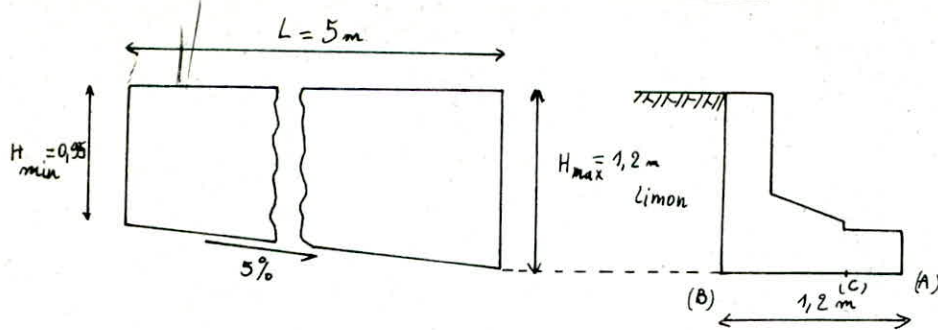
Ferraillage de la semelle : (même section que le mur.)

Avec la méthode utilisée pour les semelles en mode traditionnel, on trouve qu'ici aussi la section nécessite un ferraillage minimal 6 T12/m ; $A = 6,78 \text{ cm}^2$.

$$\text{et } 5 \text{ T10/m}; A_t = 3,92 \text{ cm}^2.$$

La fissuration et les contraintes sont vérifiées.

Calcul du panneau ②



Etude de la stabilité du mur

Pour $H_{\max} = 1,2 \text{ m}$; $f_s \geq 1,5$ et $\sigma_{(A,B)} < \bar{\sigma}_s$.

Bilan des effets :

	Poids du mur	Poids de la semelle	Pousse Horizontale sous B_1 (majoree)	Surcharge q aval (majoree.)
Force (t)	1,400	0,000	2,352	0,600
x_A (m)	1,050	0,600	0,480	0,250
M_A ($t \cdot m$)	1,565	0,540	1,140	0,150

Tableau récapitulatif des différentes vérifications.

	n_r	n_s	f_s	P	x_{P_r}	n_g	σ_A	σ_B
1 ^e cas	1,140	2,105	1,850	2,390	0,880	0,471	0,395	0,003
2 ^e cas	1,140	2,255	1,960	2,990	0,740	0,649	0,511	0,238

Ferraillage du rideau

Avec $M_{\max} = 1,14 \text{ t} \cdot \text{m}$ et $T_{\max} = 2,352 \text{ t}$; on trouve $A = 1,79 \text{ cm}^2$.

on prends donc, comme pour le mur précédent, 6T12 $\Rightarrow A = 6,78 \text{ cm}^2$.

et 5T10 $\Rightarrow A_t = 3,92 \text{ cm}^2$.

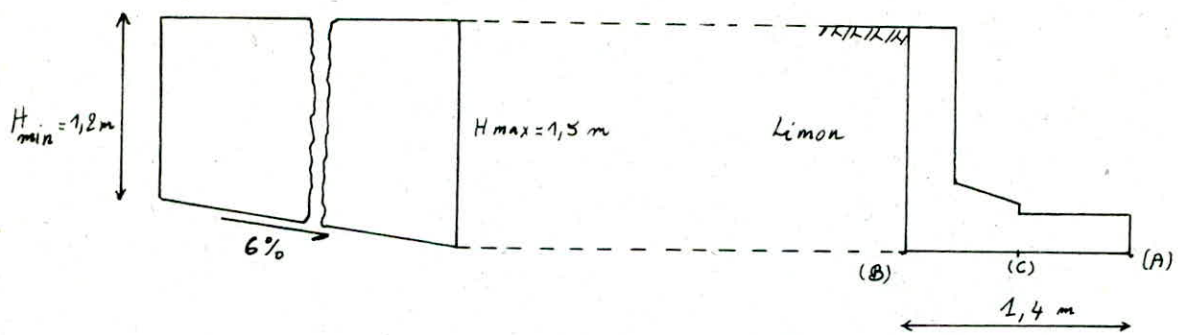
Ferraillage de la semelle

De même ici on utilise le ferraillage minimal

6T12 /m ; $A = 6,78 \text{ cm}^2$

5T10 /m $A_t = 3,92 \text{ cm}^2$

Calcul du panneau ③



Etude de la stabilité.

Pour $H_{max} = 1,5 \text{ m}$; $f_s \geq 1,5$; $\sigma_{max}^{(A,B)} < \bar{\sigma}_s$

Bilan des efforts.

	Poids du mur	Poids de la semelle	Poussée Horizontale sous B_2 (majorée)	Surchargez avai (majoree)
Force (t)	1,675	1,050	2,400	0,84
$x_A (\text{m})$	1,250	0,700	0,748	0,35
$M_A (\text{t} \cdot \text{m})$	2,094	0,735	1,796	0,294

Tableau récapitulatif des vérifications.

	R_h	R_s	f_s	P_v	x_{P_v}	R_a	σ_A	σ_B
1 ^e cas	1,796	2,829	1,600	2,725	1,038	0,869	0,461	-0,07
2 ^e cas	1,796	3,123	1,738	3,565	0,876	0,906	0,521	-0,03

Ferrailage du rideau.

On trouve avec $M_{max} = 1,796 \text{ t} \cdot \text{m}$ et $T_{max} = 2,4 \text{ t}$; $A = 2,8 \text{ cm}^2$.

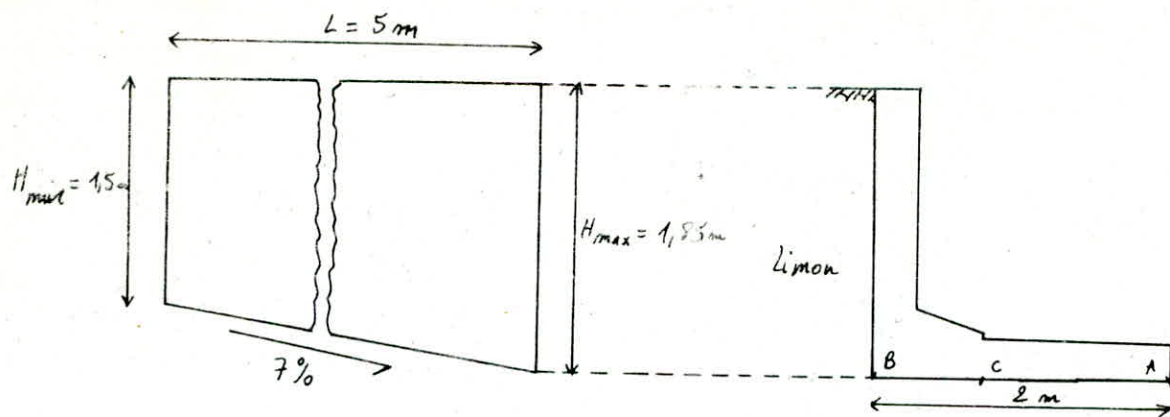
On prends donc : 6T12 ($A = 6,78 \text{ cm}^2$) et $A_t = 3,92$ (5T10)

Ferrailage de la semelle.

Ici on adopte le même ferrailage que pour le rideau. 6T12

et 5T10

Calcul du panneau (4)



Etude de la stabilité du mur pour $H_{max} = 1,85\text{m}$.

Bilan des efforts

	Poids du mur	poids de la semelle	Poussée Horizontale sous B_0 (majorée)	Surcharge q aral(majorée)
Face (t)	1,900	1,500	2,819	1,560
$x_A (\text{m})$	1,850	1,000	0,998	0,650
$P_f (\text{t.m})$	3,515	1,5000	2,816	1,014

Tableau des vérifications

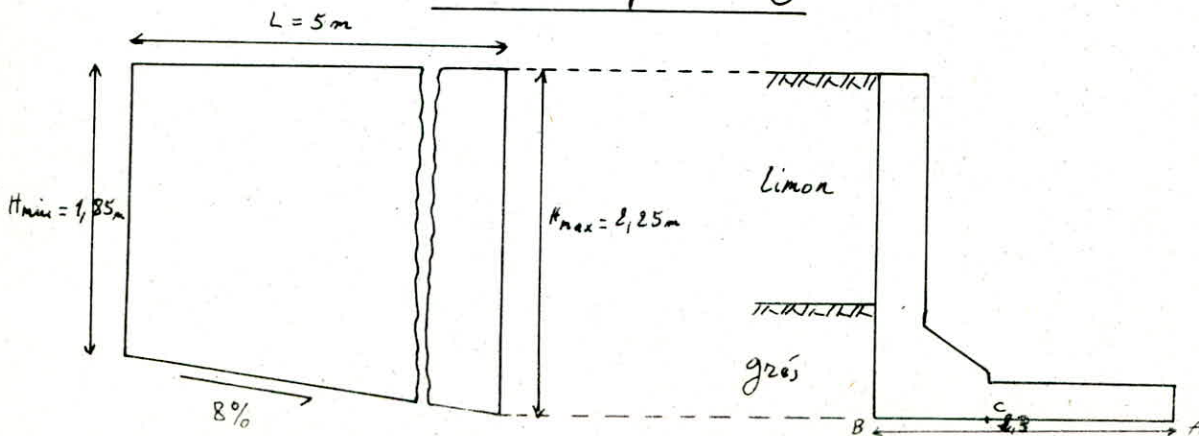
	P_R (t.m)	P_S (t.m)	f_s	P_V (t)	x_{P_V} (m)	P_f (t.m)	σ_A^* (K_a/cm^2)	σ_B^* (K_a/cm^2)
1 ^e cas	2,816	5,015	1,780	3,400	1,475	1,201	0,350	-0,01
2 ^e cas	2,816	6,029	2,140	4,960	1,215	1,698	0,470	-0,03

Ferraillage (rideau et semelle.)

On adopte le ferrailage minimal déjà utilisé, et pour le rideau, et pour la semelle
 $6\text{T12 } 1/\text{m} \quad A = 6,78 \text{ cm}^2$

$5\text{T10 } 1/\text{m}$ pour les aciers de répartition ($A_t = 3,92 \text{ cm}^2$.)

Calcul du panneau (5)



Bilan des efforts pour $H_{max} = 2,25$ ($l = 2,3 \text{ m}$)

Poids du mur	Poids de la semelle	Poussée Horizontale sous B_2 (majorée)	Surcharge q aval (majorée)
Force (t)	2,185	1,750	2,970
x_A (m)	2,150	1,150	1,240
M_{IA} (t·m)	4,568	2,013	3,708
			1,536

Tableau des vérifications

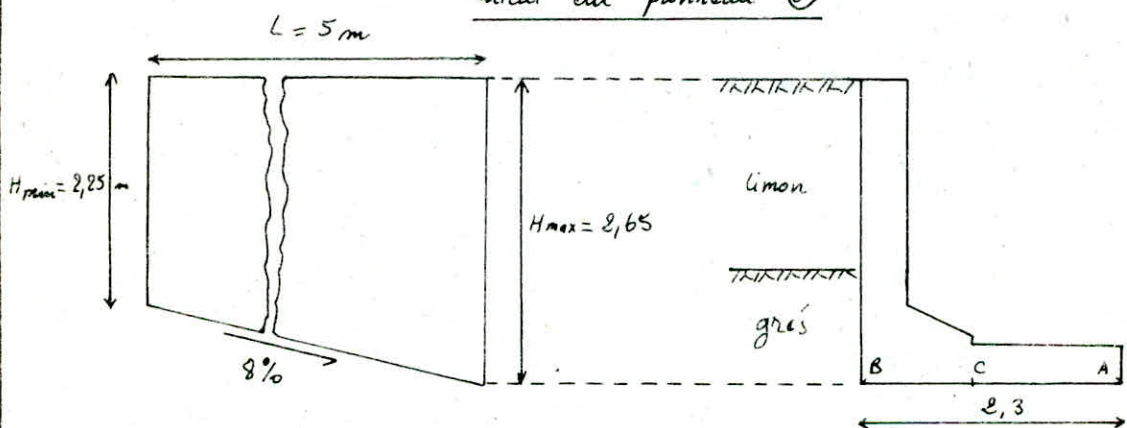
	P_2 (t·m)	P_S (t·m)	f_s	P_V (t)	x_{P_V} (m)	P_6 (t·m)	σ_A (kg/cm²)	σ_B (kg/cm²)
1 ^e cas	3,708	6,581	1,770	3,875	1,698	1,585	0,348	-0,011
2 ^e cas	3,708	8,118	2,189	5,795	1,400	2,259	0,465	-0,040

Ferrailage : Rideau et semelle

FT12/m pour les aciers principaux

ST10/m pour les aciers de répartition.

Calcul du panneau ⑥



Bilan des effort pour H_{max}

Poids du mur	Poids de la semelle	Poussée Horizontale (B_2) (majorée)	Surcharge q aval (majorée)
Force (t)	2,325	1,750	2,890
x_A (m)	2,150	1,150	1,437
M_{IA} (t·m)	4,998	2,013	4,154
			1,536

Vérifications:

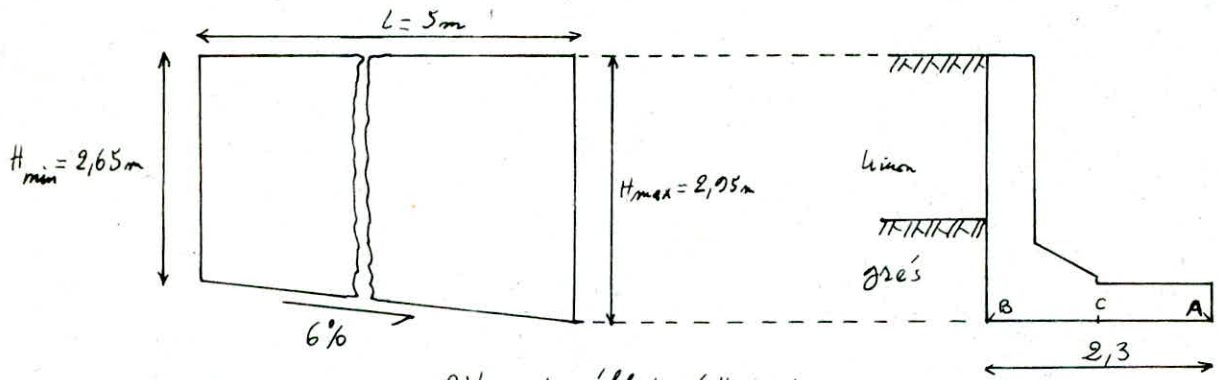
	P_2 (t·m)	P_S (t·m)	f_s	P_V (t)	x_{P_V} (m)	P_6 (t·m)	σ_A (kg/cm²)	σ_B (kg/cm²)
1 ^e cas	4,154	7,011	1,700	4,075	1,720	1,831	0,385	-0,030
2 ^e cas	4,154	8,547	2,037	5,995	1,426	2,499	0,511	-0,053

Ferrailage : identique au panneau précédent

rideau : 7T12 et ST10 (de répartition.)

semelle : 6T12 et ST10 (" ")

Calcul du panneau ⑦



Bilan des efforts (H_max.)

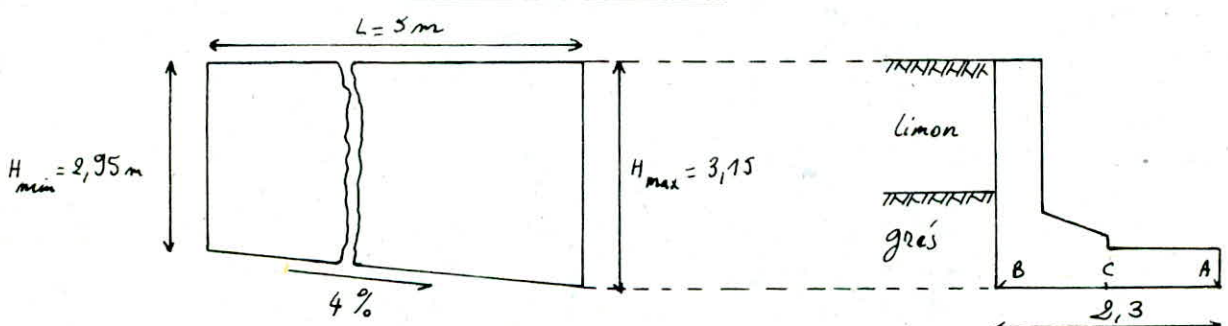
Poids du mur	Poids de la semelle	Pousée Horizontal (B_2) (majoree)	Surcharge q aval (majoree)
Force (t)	2,540	2,570	1,920
x_A (m)	2,150	1,150	0,800
Π_{1A} (t·m)	5,461	2,013	1,536

Vérifications

	Π_2 (t·m)	Π_s (t·m)	f_s	P_V (t)	x_{P_V} (m)	Π_G (t·m)	σ_A (kg/cm²)	σ_B (kg/cm²)
1 ^e cas	4,234	7,474	1,760	4,290	1,740	1,703	0,379	-0,006
2 ^e cas	4,234	9,010	2,128	6,210	1,450	2,371	0,515	-0,020

Le ferrailage est le même que pour le panneau précédent

Calcul du panneau ⑧



Bilan des efforts (H_max.)

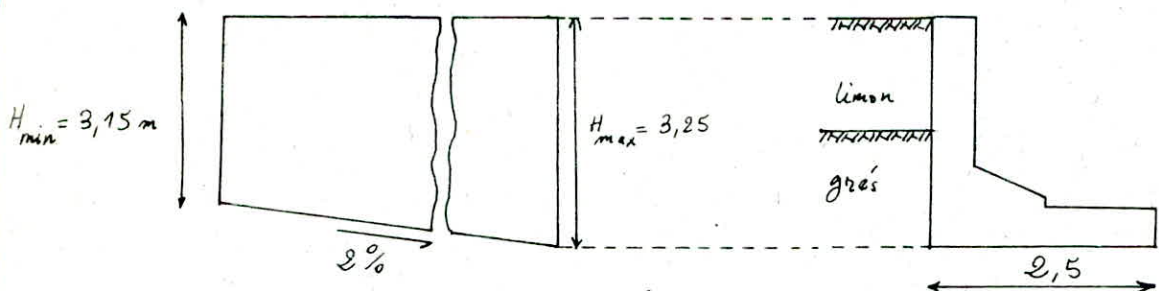
Poids du mur	Poids de la semelle	Pousée Horizontal (B_2) (majoree)	Surcharge q aval (majoree)
Force (t)	2,763	2,321	1,920
x_A (m)	2,150	1,150	0,800
Π_{1A} (t·m)	5,941	2,013	1,536

Vérifications

	Π_2 (t·m)	Π_s (t·m)	f_s	P_v (t)	x_{P_v} (m)	Π_6 (t·m)	σ_A (kg/cm²)	σ_B (kg/cm²)
1 ^e cas	4,154	7,954	1,900	4,513	1,760	1,401	0,355	0,037
2 ^e cas	4,154	9,490	2,895	6,433	1,475	2,063	0,487	0,26

Ferraillage du rideau : $7T12s$ (A) et $5T10$ (A_E) et pour la semelle $6T12$ (A) et $5T10$ (A_E)

Calcul du panneau (9)



Bilan des effets (H max.)

	Poids du mur	Poids de la semelle	Pousée Horizontale majorée	Surchage aval q majorée
Force (t)	2,950	1,875	2,340	2,160
α_A	2,200	1,250	1,750	0,900
Π_{1A}	6,490	8,344	4,110	1,944

Vérifications:

	Π_2 (t·m)	Π_s (t·m)	f_s	P_v (t)	x_{P_v} (m)	Π_6 (t·m)	σ_A (kg/cm²)	σ_B (kg/cm²)
1 ^e cas	4,110	8,834	2,150	4,825	1,830	1,312	0,318	0,067
2 ^e cas	4,110	10,778	2,622	6,985	1,543	2,063	0,460	0,074

Pour le ferraillage on prends

Rideau $7T12$; $A = 7,96 \text{ cm}^2$ et $5T10$; $A = 3,92 \text{ cm}^2$ Semelle $6T12$ (A) et $5T10$ (A_E)

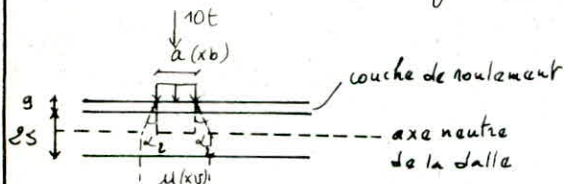
Panneau (9)

C'est le panneau avec lequel on réalise la mise à ciel ouvert du souterrain sur 5m. Ce mur est rectangulaire, donc pour hauteur $H = H_{\max}$ du panneau (9). De ce fait il se calcule comme le panneau (9), on a les mêmes résultats.

Vérifications diverses

Vérification au poinçonnement de la dalle

Cette vérification sera faite pour la dalle de 25 cm d'épaisseur, en mode traditionnel, chargée par une roue B_2 de 10 t.



Surface d'impact de la roue B_2 .

$$a = 0,3 \text{ m} \quad \text{et} \quad b = 0,6 \text{ m}$$

la couche de roulement étant en béton bitumineux

La surface de charge est donc : $\mu = a + 1,5 r_2 + e$

$$= 0,3 + 1,5 \cdot 0,09 + 0,25 = 0,685 \text{ m}$$

$$\text{et } \nu = b + 1,5 r_2 + e = 0,6 + 1,5 \cdot 0,09 + 0,25 = 0,985 \text{ m}$$

avec α_n : angle de transmission des charges dans la couche de roulement : $\operatorname{tg} \alpha_n = 1,5$.

α : angle de transmission des charges dans le béton : $\operatorname{tg} \alpha = 2$.

D'après le C.C.B.A 68 on vérifie que $\frac{1,5 \cdot P}{P_c \cdot h_t} \leq 1,2 \cdot \bar{\tau}_b$

avec : $\bar{\tau}_b = 7,6 \text{ Kg/cm}^2$; et $h_t = 0,85$

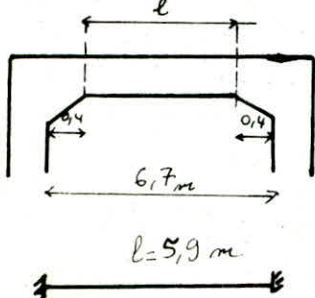
$$P_c = 2(\mu + \nu + \frac{3}{4} \cdot Q_2) = 3,475 \text{ m} ; \text{ et } P = 10 \text{ t}.$$

$$\text{et donc} : \frac{1,5 \cdot P}{P_c \cdot h_t} = 2,079 < 1,2 \cdot \bar{\tau}_b = 8,52 \text{ Kg/cm}^2.$$

Calcul de flèche de la traverse

Pour le portique coulé en place

On suppose que la traverse est encastrée sur les piedroits, et on calcule sa déformation maximale y . On considère une bande de 1 m de largeur de hauteur



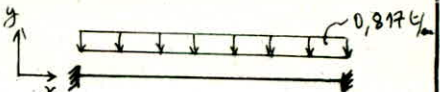
$$h_t = 25 \text{ cm}$$

les caractéristiques de la section étant

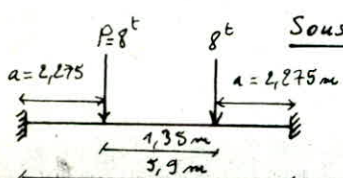
$$I = \frac{b \cdot h_t^3}{12} = \frac{100 \cdot 25^3}{12} = 1,3 \cdot 10^5 \text{ cm}^4$$

$$E = 7000 \cdot \sqrt{\sigma_{28}'} = 7000 \cdot \sqrt{300} = 1,24 \cdot 10^5 \text{ Kg/cm}^2 \text{ (béton seul)}$$

Sous charges permanentes $q = 0,817 \text{ t/m}$.



$$\text{pour } x = \frac{l}{2}, y_{\max} = - \frac{q l^4}{384 E I} = - 1,6 \cdot 10^{-1} \text{ cm} = 0,16 \text{ mm}.$$



Sous les surcharges B_t (les plus défavorables.)

On dispose 2 roues B_t de manière symétrique sur la travée, et la déformation max est obtenue pour $x = \frac{l}{2}$.

$$y = - \frac{P \cdot a^2}{6 E I l} (2l - 3a) = - 3,6 \cdot 10^{-3} \text{ cm}.$$

La flèche totale est : $y = y_a + y_{B_t} = - 1,636 \cdot 10^{-1} \text{ cm}$.

$y = 1,64 \text{ mm}$. Déformation négligeable.

Pour le portique préfabriqué.

$$h_t = 30 \text{ cm} \quad \text{et} \quad b = 100 \text{ cm} \quad \Rightarrow I = 2,25 \cdot 10^5 \text{ cm}^4.$$

$$\text{et } E = 1,237 \cdot 10^5 \text{ N/mm}^2.$$

On utilise les mêmes cas de charges que précédemment

Sous charges permanentes : $q = 0,942 \text{ t/m}$

$$x_c = \frac{l}{2} \quad y_{\max} = - 1,07 \cdot 10^{-1} \text{ cm}$$

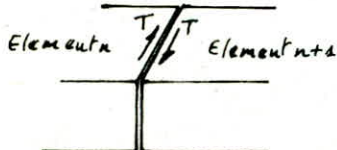
Sous les 2 roues B_t : $y(\frac{l}{2}) = - 2,09 \cdot 10^{-3} \text{ cm}$

$$\text{et donc } y = y_a + y_{B_t} = - 1,09 \cdot 10^{-1} \text{ cm}$$

les flèches peuvent donc être négligées.

Vérification des joints entre éléments de portique préfabriqués.

Les éléments de portique jointés présentent un risque de rupture par cisaillement au niveau de la traverse, et dans le sens de circulation supérieur. Pour éviter ce risque les joints seront remplis d'un béton de 2^{ème} phase, à base de résine, qui présente une résistance à la compression de 450 Kg/cm².



Element T / Element T L'effort tranchant max étant $T_{\max} = 4,73 \text{ t}$

On détermine l'effort que peut reprendre le joint.

L'effort tranchant ultime du joint est donné par :

$$T_{ul} = \gamma \cdot E$$

avec $\gamma = 0,047 \sqrt{\sigma'}$

σ' : résistance à la compression du béton de 2^e phase

$$\sigma' = 450 \text{ Kg/cm}^2$$

et $E = A \cdot \sigma_e$

1000

A étant la section d'aciéris (1/ml) transversal (A_e), en attentes au niveau du joint, en forme de boucles.

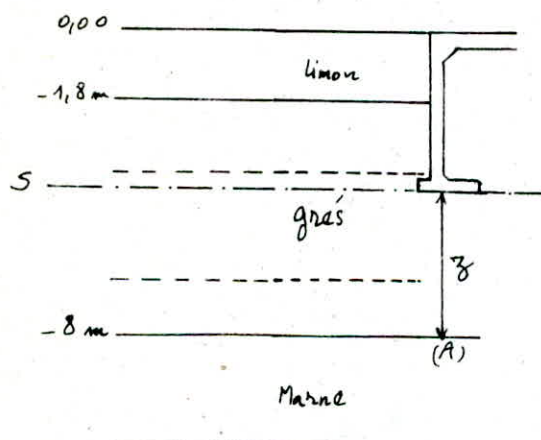
$$A = 18,09 \text{ cm}^2/\text{ml} (\text{GT16})$$

σ_e : résistance nominale de l'acier utilisé $\sigma_e = 4200 \text{ Kg/cm}^2$

On trouve $T_{ul} = 75,75 \text{ t/m} > T_{max} = 4,73 \text{ t/m}$

Le risque des joints n'est donc pas à craindre.

Vérification au tassement



Le grès étant un excellent sol, la couche susceptible de céder sous l'ouvrage est la marne

Avant de faire cette vérification au tassement, on calcule d'abord, la contrainte transmise à la couche de marne par l'ouvrage. Et pour cela on utilise la méthode de Boussinesq ; on suppose

que l'ouvrage n'est pas enterré et qu'il agit sur la surface S.

$$\sigma_{(A)} = \frac{3P \cdot y}{2\pi z^2}$$

avec $z = 4,7 \text{ m}$; $y = \frac{1}{\left(1 + \frac{z^2}{y^2}\right)^{1/2}}$; $y = 0 \Rightarrow z = 1$

et $P = 31,464 \text{ t}$ (Partique traditionnel)

$\Rightarrow \sigma_{(A)} = 0,066 \text{ bars}$ sous ouvrage coulé en place

Sous l'ouvrage coulé en place $P = 21,42 \text{ t} \Rightarrow \sigma_A = 0,0502 \text{ bars}$.

Ces contraintes de compression étant négligeables il n'y a donc pas de risques de tassement sous ouvrage, et cela d'autant plus que l'ouvrage est en réalité enterré et introduit donc des contraintes plus faibles.

Vérification à la stabilité de la fouille.

Vu l'installation de chantier réduite, les formilles seront à parois verticales et de ce fait on vérifie si elles nécessitent un blindage ou non.

1^e couche : limon sur 1,8 m de caractéristiques $\delta = 1,8 \text{ t/m}^3$
 $c = 0,55 \text{ bars}$
 $\varphi = 25^\circ$

La hauteur critique de la fouille, au delà de laquelle un blindage est nécessaire, est donnée par : $H_m = \frac{4c \tan(\pi/4 - \varphi/2)}{\delta} = 1,918 \text{ m}$.

$H_m > 1,8 \text{ m}$ donc pas de blindage pour la 1^e couche.

2^e couche : la profondeur maximale de la fouille étant de 4 m, la hauteur de la couche de grès sera de 2,2 m.

La 1^e couche est considérée comme surcharge sur la 2^e couche : avec $S = 1,8 \cdot 1,8 = 3,24 \text{ t/m}$.

La hauteur critique est : $H_m = 2,67 \frac{c - \Psi_2 \cdot S}{\delta} \Psi_1$

avec les caractéristiques du grès : $\delta = 2,47 \text{ t/m}^3$
 $c = 3,5 \text{ bars}$
 $\varphi = 35^\circ$

Ψ_2, Ψ_1 étant des coefficient qui sont fonction de l'angle d'inclinaison de la fouille ($\beta = 0$ dans notre cas.), et de l'angle de frottement φ .

$\Psi_2 = 0,1$ et $\Psi_1 = 3$.

$H_m = 10,3 \text{ m} > 2,2 \text{ m}$ ne nécessite pas de blindage.

La fouille verticale peut donc être réalisée sans blindage.

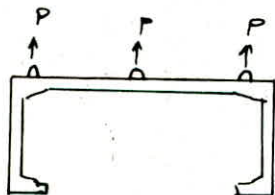
Vérification à la manutention des éléments préfabriqués

Portique :

les panneaux, ou roussoirs, seront découpés par bandes de 2,5 m de large ; le poids étant de 27,82 t.

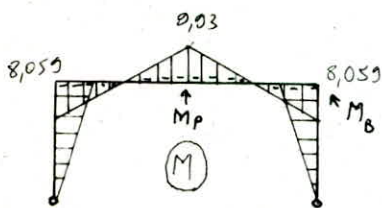
On dispose d'une grue de 30 t.

On installe 6 crochets, ancrés dans la traverse, 2 dans le sens transversal et 3 dans le sens longitudinal.



$$\text{avec } P = 9,27 \text{ t.}$$

$$M_p = \frac{4k+3}{2k+3} \frac{Pa \cdot b}{2l} = 9,93 \text{ t.m}$$



Le diagramme des moments nous impose un fermetage supplémentaire à mi-travée.

$$A = 18,06 \text{ cm}^2 \quad \text{soit} \quad 6716 / \text{m.}$$

Crochet de levage :

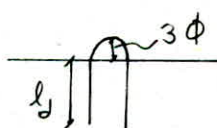
La section du crochet doit vérifier $\frac{N}{A} \leq \sigma_{en}$ $N = P$.

on prends 1725 ; $A = 4,91 \text{ cm}^2$.

longueur d'ancrage du crochet : $l_d = \frac{\phi \bar{\tau}_d}{4 \bar{\tau}_d} = 11,11 \text{ cm}$ on prend 120 cm

retour de crochet :

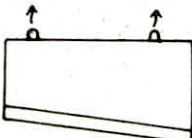
$$b = 11,425 \phi = 28,56 \text{ cm.}$$



D'où la longueur totale du crochet : $l = 8 \times 120 + 28,56 = 869 \text{ cm.}$

$$l = 270 \text{ cm.}$$

Murs de soutènements :



On utilise 2 crochets, de même caractéristiques que pour le portique.

Organisation des travaux

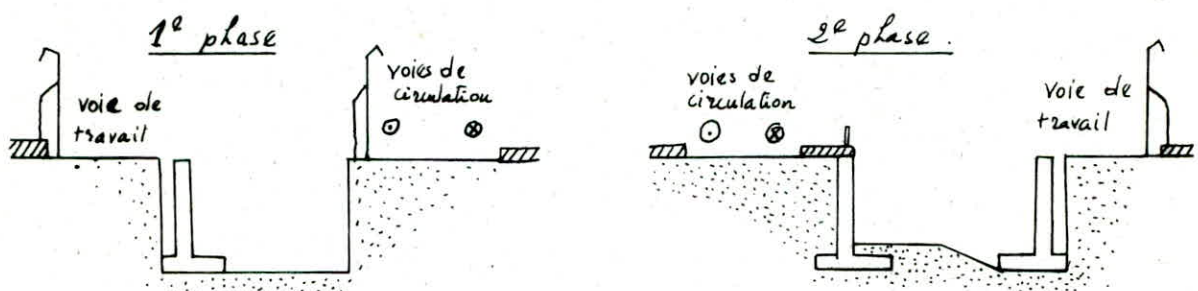
Il est évident que la circulation urbaine conditionne le mode de réalisation de l'ouvrage, ainsi ce problème doit-être abordé dans ses grandes lignes dès le début des études.

Phasage des travaux pour l'ouvrage coulé en place.

Il ya lieu d'appréhender quelles seront les restrictions de circulation tolérables compte tenu des trafics concernés et des possibilités de déviations.

Circulation réduite maintenue au niveau du carrefour et latéralement à l'ouvrage : Dans ce cas les travaux seront faits en 2 parties.

1^e partie : Exécution d'une partie du souterrain et d'une traverse d'accès en 2 phases ; par construction successive des murs, y compris les piedroits qui seront fait en premier et jouent le rôle de soutienement en 1^e phase. La traverse sera coulée, une fois les 2 piedroits terminés.



2^e Partie : Comprends les mêmes phases que la 1^e partie, avec en plus les murs en vis à vis formant la mise à ciel ouvert sur 5m.

La traverse de la première partie assurera une circulation transversale réduite au niveau du carrefour.

Installation de chantier.

- Nombre d'ouvriers : 30
- Une baraque de chantier comprenant 2 pièces séparées, coffres à outils.
- W.C
- 2 camions bétonnière
- 5 camions à bennes, de capacité 15 m³ chaque.

- Une petite grue.
- Un tracteur de capacité 1300 l.
- Coffrage utilisé : panneaux métalliques modulaires.

Méthode d'organisation des travaux

On procède par sectorisation, et cela pour diminuer le délai global de réalisation sans pour autant diminuer les ressources.

Définition des secteurs :

secteur -1- : réalisation de pieds de mur, semelle comprise.

secteur -2- : réalisation du mur de soutènement ③

secteur -3- : _____ // _____ ②

secteur -4- : _____ // _____ ①

secteur -5- : réalisation de la traverse

secteur -6- : réalisation du mur de soutènement ③

Exécution de la 1^e partie.

1^e phase des travaux

Désignation des tâches	Durée par secteur en jours				observation
	-1-	-2-	-3-	-4-	
A- Terrassement	2	3/2	1/2	1/2	calculée
B- Coffrage, ferrailage et bétonnage	4	3	2	2	estimée
C- Finitions : dispositifs de drainage, trottoirs, garde-corps, etc...	1/2	1/2	1/2	1/2	estimée

2^e phase des travaux. mêmes tâches que précédemment

Désignation des tâches	Durée par secteur en jours					Observation
	-1-	-2-	-3-	-4-	-5-	
Tâche A	1	3/2	1/4	1/4	1	Calculée
Tâche B	4	3	2	2	9	Estimée
Tâche C	1/2	1/2	1/2	1/2	2	Estimée

Exécution de la 2^e partie.

1^{re} phase

Désignation des tâches	Durée par secteur en jours						Observation
	-1-	-2-	-3-	-4-	-5-	-6-	
Tâche A	2	3/2	1/2	3/2	1	3/2	Calculée
Tâche B	4	3	2	2	1	1	Estimée
Tâche C	1/2	1/2	1/2	1/2	1	1/4	Estimée

2^e phase

Désignation des tâches	Durée par secteur en jours						Observation
	-1-	-2-	-3-	-4-	-5-	-6-	
Tâche A	1	3/2	1/4	1/4	1	3/4	Calculée
Tâche B	4	3	2	2	9	1	Estimée
Tâche C	1/2	1/2	1/2	1/2	2	1/4	Estimée

Remarque : Les terrassements ont été calculés d'après le matériel disponible, et le volume des terres à déblayer.

Avec les coefficients de frissement : limon $f = 1,25$

grès $f = 1,4$

1^{re} partie : 1^{re} phase : Volume total de déblai : $V_t = 1841 \text{ m}^3$

2^e phase : —II— $V_t = 662,64 \text{ m}^3$

2^{re} partie : 1^{re} phase : —II— $V_t = 1993,79 \text{ m}^3$

2^e phase : —II— $V_t = 815,43 \text{ m}^3$

L'attente entre phases, déplacement du chantier, dure 2 jours.

La réalisation de la chaussée intérieure dure 2 jours.

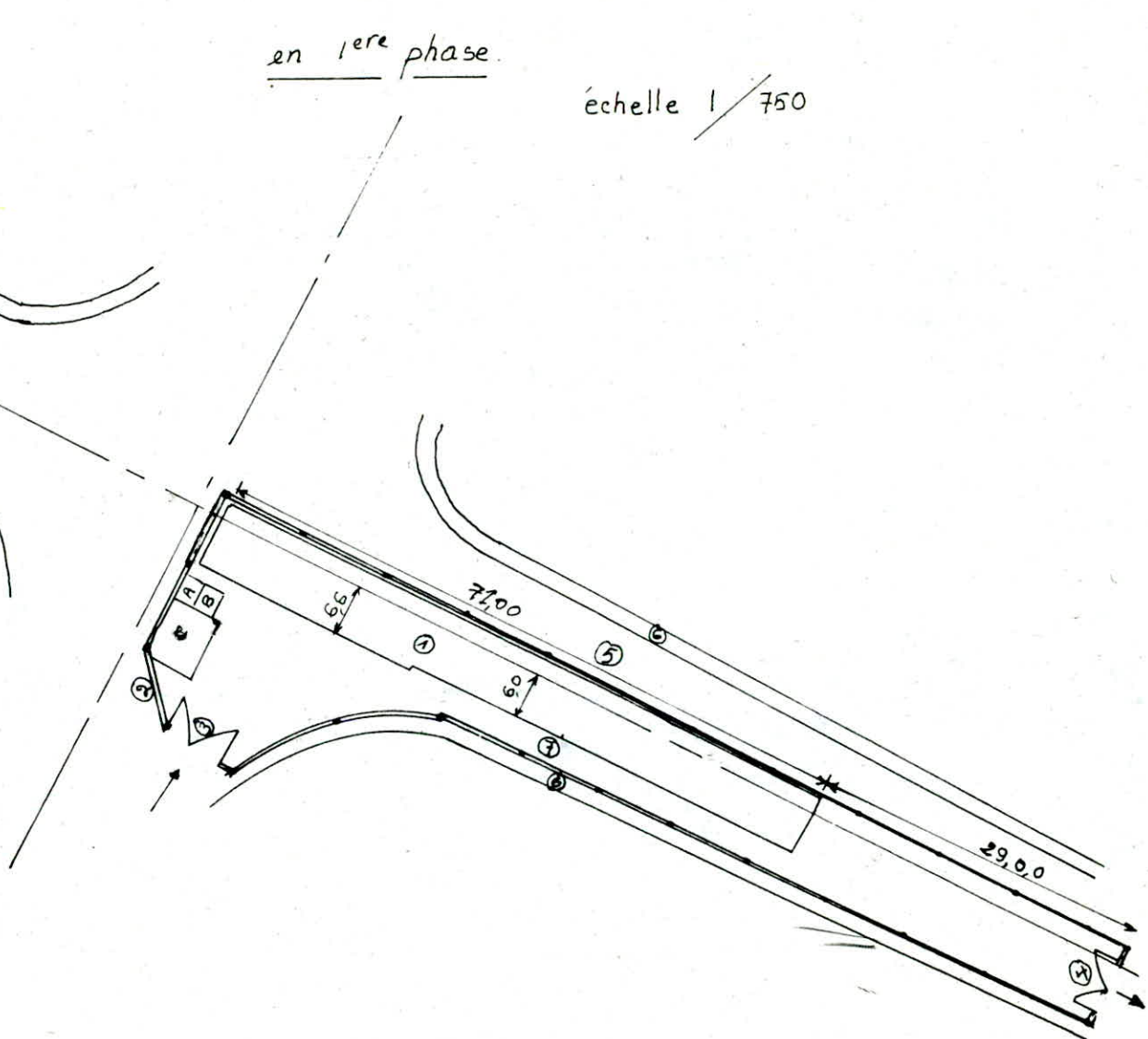
Plan schématique d'installation de chantier.

en 1^{ere} phase.

échelle 1 / 750

- ① : limite de la fouille.
- ② : grillage de chantier.
- ③ : entrée de chantier
- ④ : sortie du chantier
- ⑤ : 2 voies libres à la circulation de 2x3 m.
- ⑥ : bande de trottoir.
- ⑦ : 1 voie de travail de 3,65 m.
- A : 1x1c.
- B : vestiaire
- C : magasin

L'aire de chantier 1270 m².



Phasage des travaux pour l'ouvrage préfabriqué

Dans le cas où l'on maintiendrait le même niveau de circulation précédemment désigné pour l'ouvrage coulé en place, les travaux se feront aussi en 2 parties

1^{re} partie : Terrassement et pose des éléments d'une trémie et d'une partie du souterrain, y compris les finitions et la réalisation des joints de la traverse, qui sera remise en service pour une circulation réduite lors de l'exécution de la 2^e partie

2^e partie : Même façon de procéder pour le reste de l'ouvrage, qui comprend la mise à ciel ouvert du passage sur 5m.

Installation de chantier.

- Nombres d'ouvriers : 15 ,(qualifiés)
- Une baraque de chantier installée dans le jardin public avoisinant.
- Une grue mobile de force de levage 30^t.
- 2 Tractocaveurs .
- 5 camions benne de 15 m³
- 2 semi-remorques pour le transport des éléments préfabriqués
- 1 camion bétonnière
- Coffrage , pour le bétonnage des joints .

Exécution de la 1^e partie:

Désignation des tâches	Durée en jours	Observations
A - Terrassement	9/2	calculée
B - Pose des éléments	12	Estimée
C - Travaux de finitions	6	Estimée

Exécution de la 2^e partie des travaux.

Désignation des tâches	Durée en jours	Observations
A - Terrassement	5	Calculée
B - Pose des éléments	13	Estimée
C - Travaux de finitions	8	Estimée

Calcul des terrassements :

Avec les même coefficient de foisonnement.

$$1^{\text{re}} \text{ partie} : V_t = 1690,55 \text{ m}^3$$

$$2^{\text{e}} \text{ partie} : V_t = 2028,66 \text{ m}^3.$$

De même que précédemment, il ya ici une attente entre la réalisation des 2 partie ; qui dure 2 jours.

La réalisation de la chaussée intérieur à l'ouvrage dure 15 jours.

Plan schématique d'installation de chantier en 1^{re} phase.

ech: 1/750

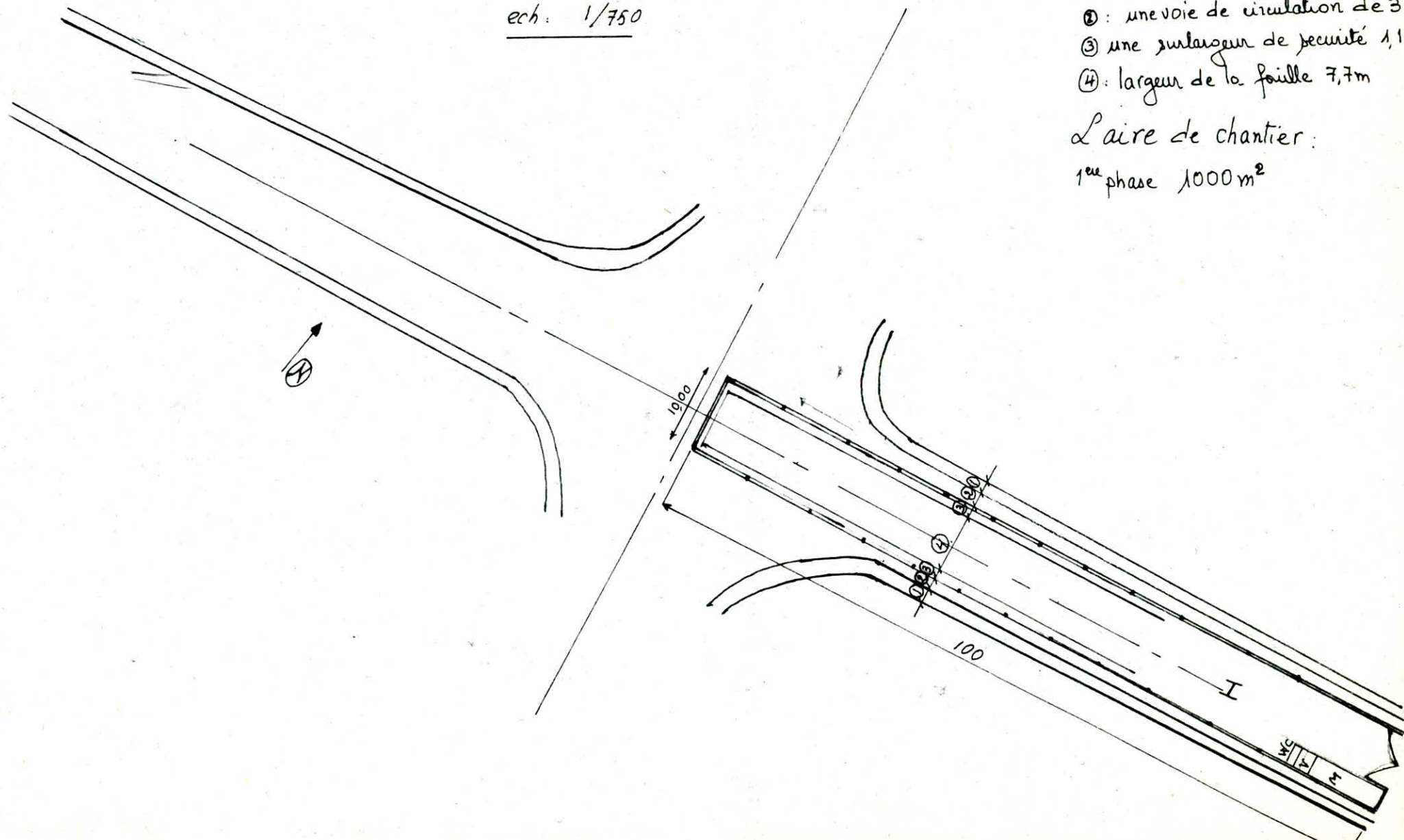


Diagramme : GANTT. Pour le mode préfabriqué.

exécution de la 1^{ère} phase

exécution du 2^{ème} phase

Durée en j.

exécution de la chaussée
à l'intérieur de l'ouvrage

finition

pose des éléments

terrassement

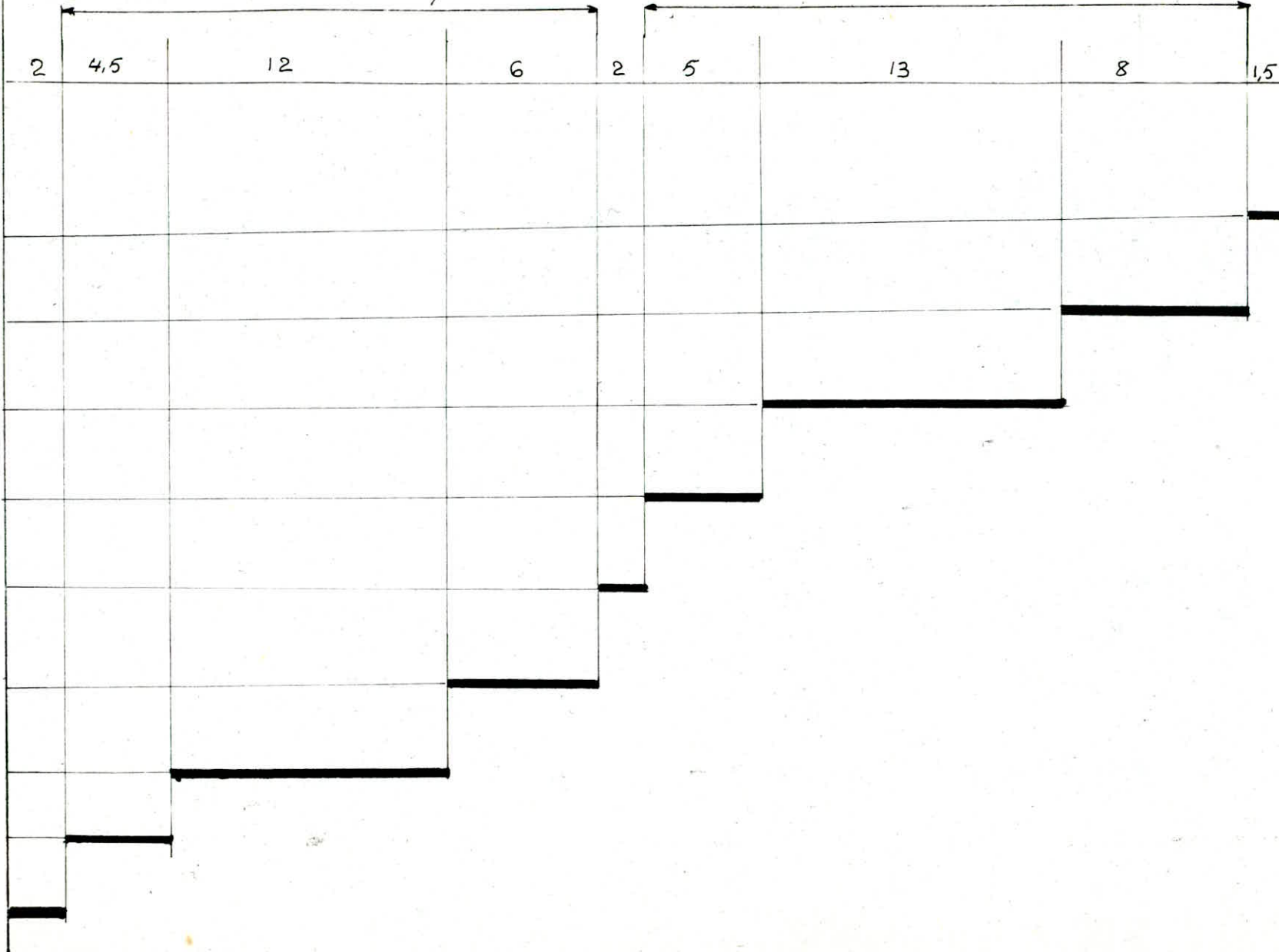
déplacement de chantier

finition.

pose des éléments

terrassement

Installation de chantier



Conclusion

Les 2 modes d'exécutions étudiés présentent des avantages et des inconvénients, ainsi le choix du procédé d'exécution revient en définitive au maître d'ouvrage.

Certaines comparaisons à titre indicatif

Du point de vue coût :

Il est évident que le mode préfabriqué est plus coûteux

Du point de vue délai :

C'est l'intérêt essentiel du mode préfabriqué : le faible délai de réalisation 54 j, tandis que pour le traditionnel on a un délai de 83 j.

Du point de vue installation de chantier.

Elle est plus réduite pour le mode préfabriqué, et permet donc de maintenir un niveau de circulation plus élevé.

Bibliographie.

- COQUAND - routes-circulation-tracé tome I ed Eyrolles 1962
- Règles de conception et de calcul des ouvrages en B.A. C.C.B.A. 68 ed Eyrolles 1970
- C.P.S. cahier de prescriptions spécial ministère de T.P.
- KLEINLOGEL. formules pour le calcul des cadres. ed Beranger 1962.
- COSTET et SANGERAT: Cours de MDS. tome I et II ed Dunod 1981
- TENG . fondations et murs de soutienement éd: Eyrolles 1966 (trad)
- GRAUX fondations et excavations profondes : " " 1967
- GUERRIN murs de soutienement éd Dunod 1965
- " ouvrages enterrés " " "
- PIERRE CHARRON: calcul et vérifications des ouvrages en B.A. ed Eyrolles 80
- RPA 81 ed 83.

